

الأكاديمية العربية الدولية



الأكاديمية العربية الدولية
Arab International Academy

الأكاديمية العربية الدولية المقررات الجامعية

التسخين الاوامي Ohmic Heating

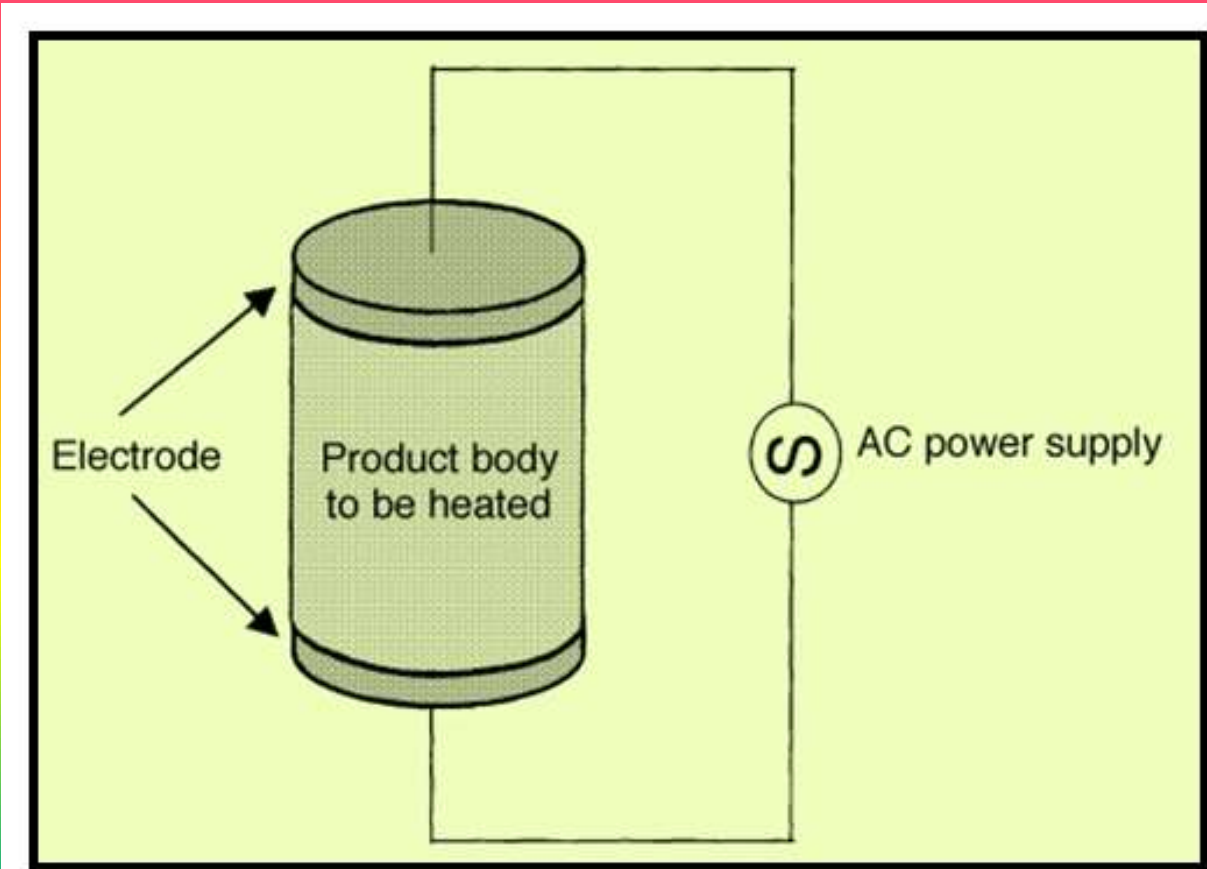
يعد التسخين الاوامي والذى يعرف أيضا ب Joule Heating وكذلك Resistive heating من التقنيات الحديثة في هندسة تصنيع الاغذية ، وهو عملية حرارية متقدمة يتحول فيها الغذاء إلى مقاومه كهربائية حيث تمر الكهربائية خلال المادة الغذائية بفرق جهد وتيار معينين وتتوزع الحرارة داخل كتلة المادة بشكل متجانس على العكس من استعمال الأسطح الساخنة عند استعمال الطرق التقليدية

مميزات التسخين الاومني:

- * السرعة في العمل والتنسيق الحراري الموحد وانخفاض تحطم الفيتامينات في الغذاء.
- * سهولة السيطرة على التسخين الاومني وكفاءة الطاقة العالية وانخفاض التكلفة بالمقارنة مع الطرق الأخرى كالمايكروويف والذبذبات الراديوية .
- * من أكثر التقنيات ملائمة ونظافة للبيئة بالإضافة لكافأة الطاقة التي تعطيها هذه التقنية بالمقارنة مع الطرق التقليدية .
- * تقليل مشاكل تجمع الاوساخ FOULING على سطوح الانابيب.
- * لا توجد بقايا لانتقال الحرارة بعد قطع التيار عن الغذاء.
- * تكاليف الصيانة قليلة وكفاءة تحويل الطاقة عالية.

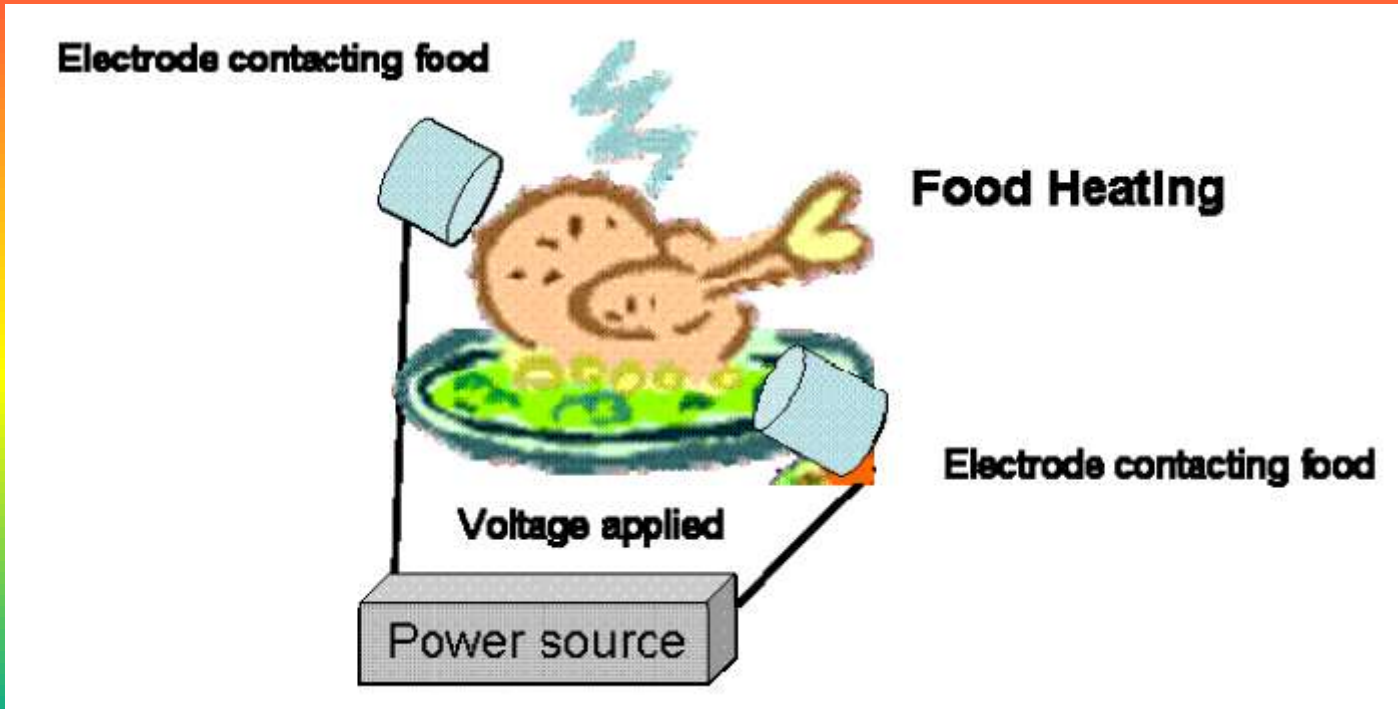
العيوب:

- * تكاليف الاستثمارية والتشغيلية في البداية عالية.
- * تفتقر الى تعميم المعلومات حولها.



شكل يوضح مبدأ تكثيف التسخين الأومي .

مبدأ عمل التسخين الاومي

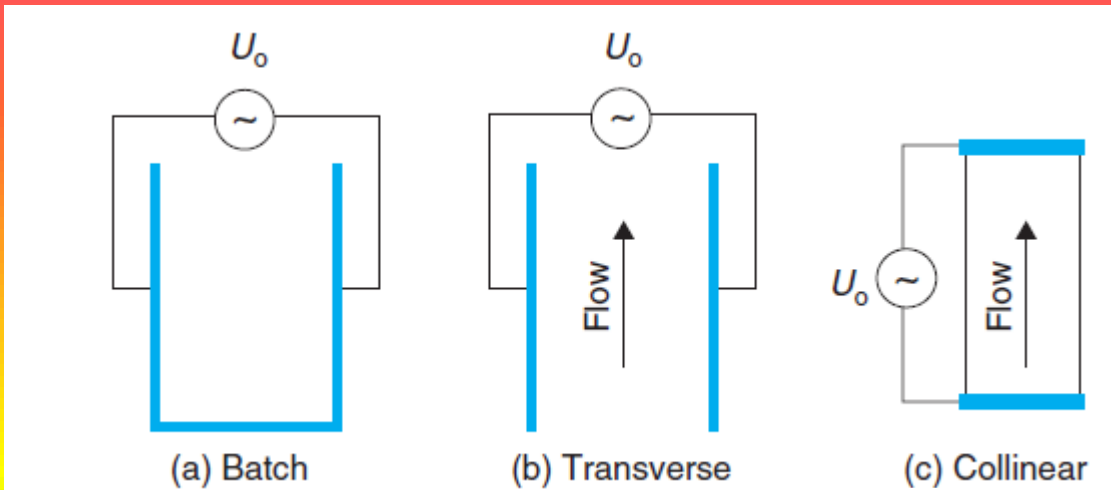


الاقطاب الكهربائية:

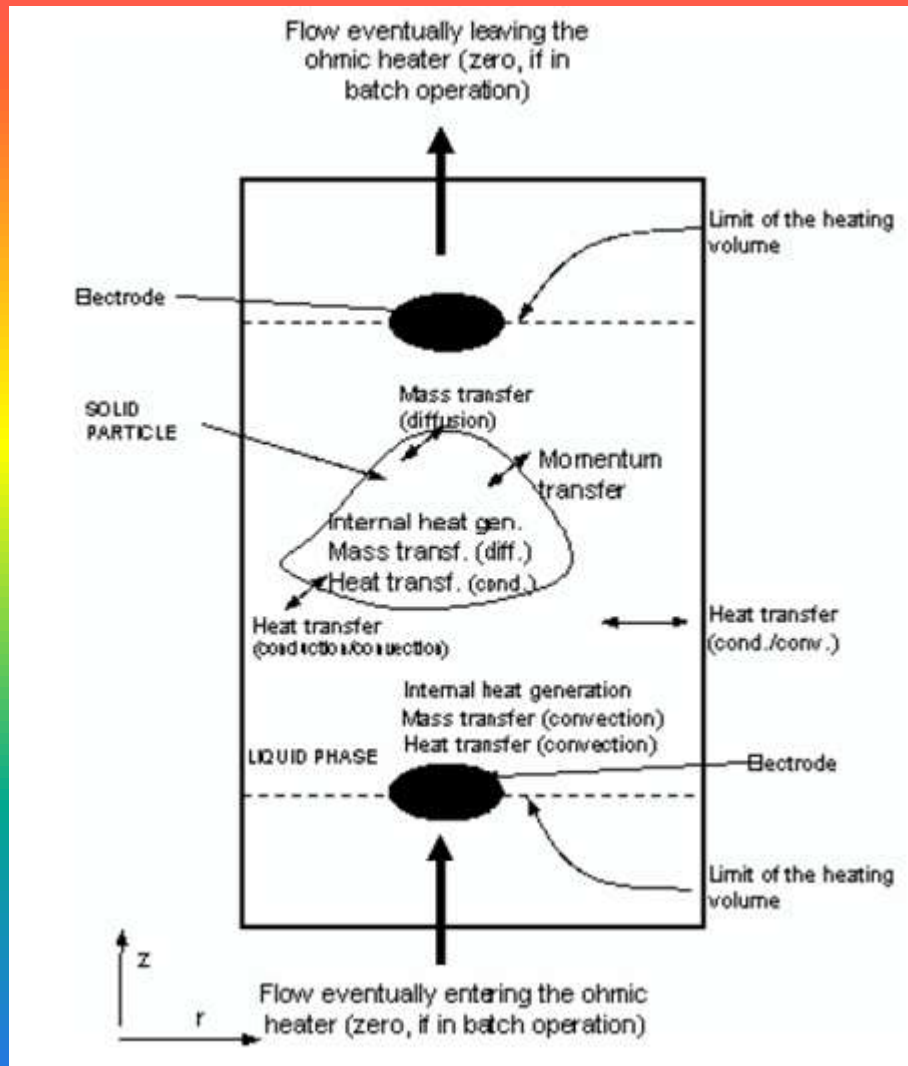
استخدام أقطاب من الحديد المقاوم للصدأ تعتبر من المواد النشطة جدا كهروكيميائيا خلال التسخين الأولي في مقاومة جميع قيم pH .

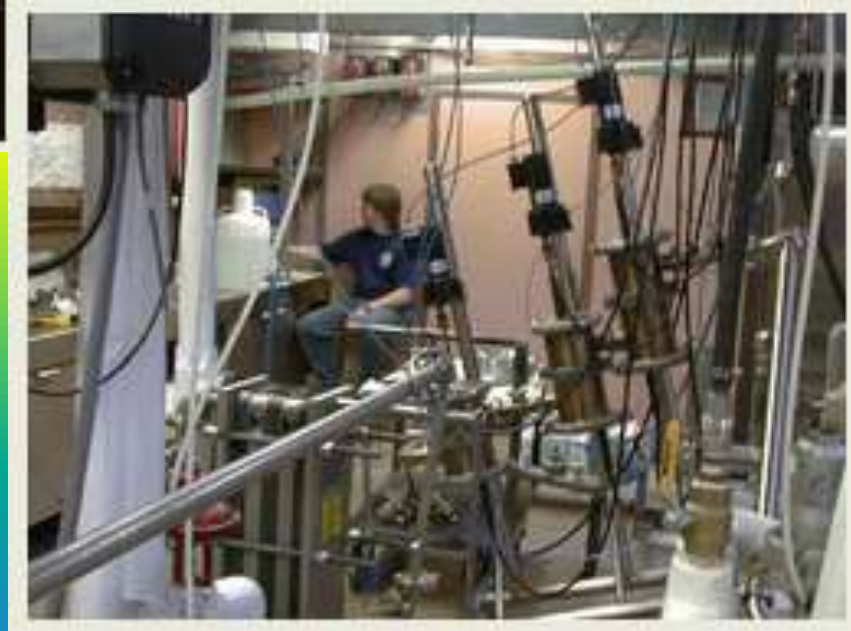
تستخدم أقطاب من التيتانيوم المطلية بالبلاستيوم او الريثيوم لمنع التحليل الكهربائي الذي يحدث أثناء التيار المتناوب ذو التردد الواطئ (50 Hz او 60).

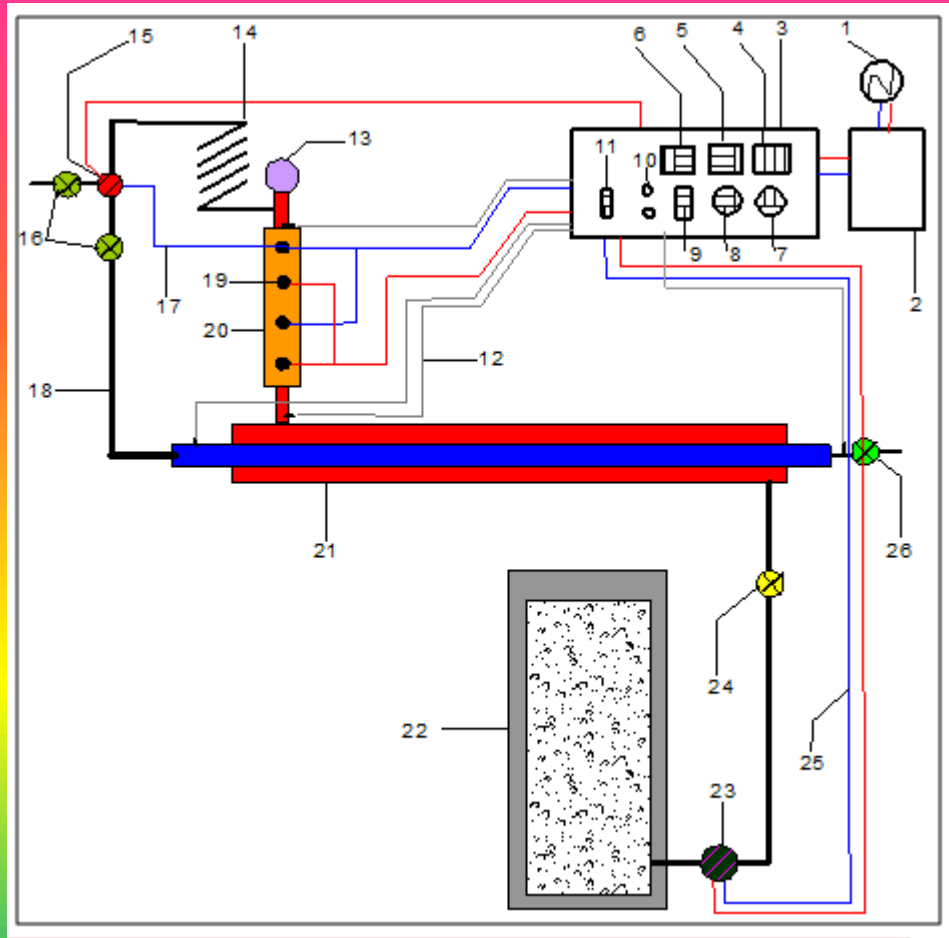
انواع التسخين الاوومي



آلية التسخين الاولمي

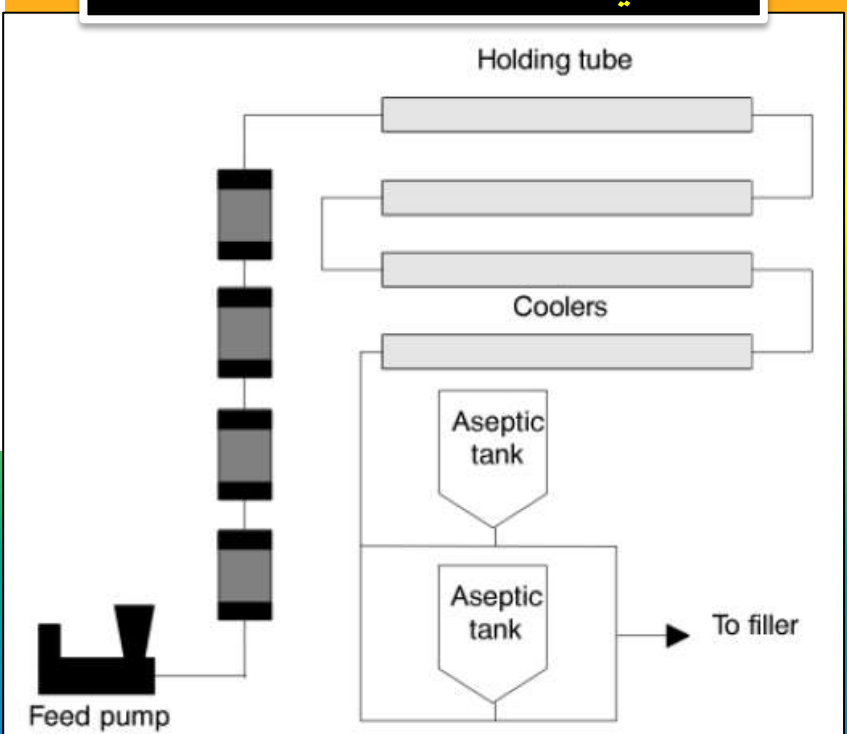






**جهاز بسترة الحليب بالتسخين
الاومي المستمر**

**جهاز بسترة الحليب بالتسخين
الاومي ذو الغرف المتعددة**





جهاز بسترة الحليب بالتسخين
الاومي المستمر

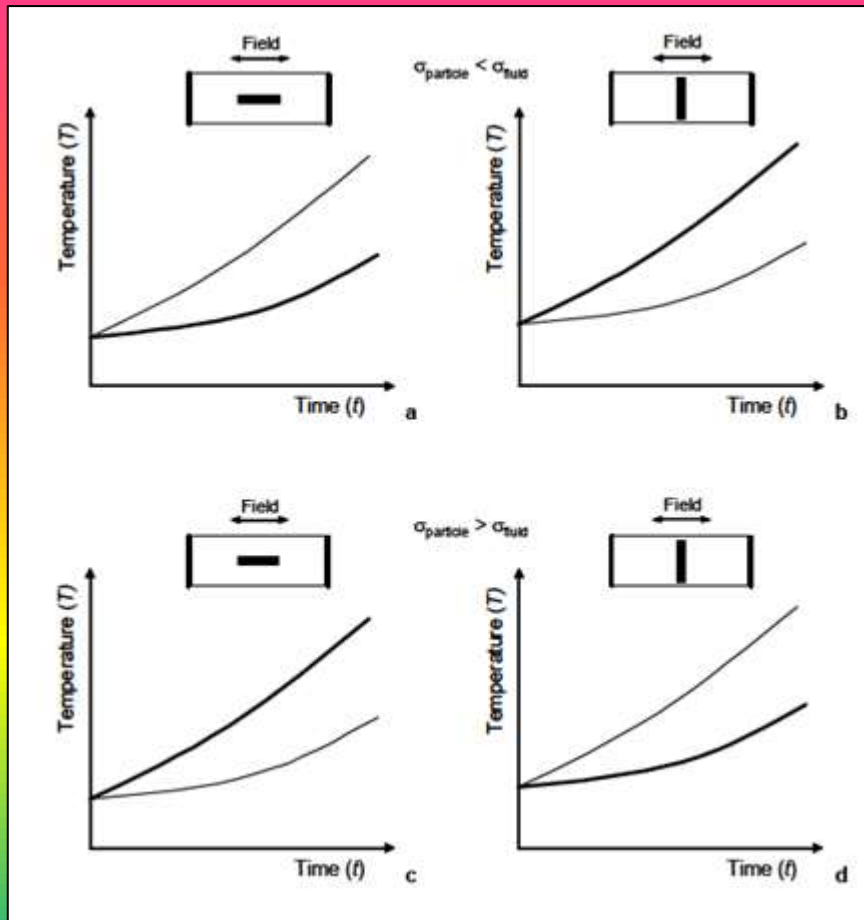
التوصيل الكهربائي : Electric conductivity

التوصيل الكهربائي هو حركة مرور الشحنات في وسط ناقل أو بمعنى آخر حركة مرور التيار الكهربائي في موصل كهربائي لأن الشحنات المتحركة تشكل التيار الكهربائي الذي يتسبب عند مروره في موصل بهبوط الجهد، ولم مرور التيار في الدائرة يجب ألا تكون الدائرة مفتوحة لأن التيار لا يسير إلا في مسارات مغلقة.

يعتبر التوصيل الكهربائي من الأمور المهمة لإنجاح تقنيه التسخين الأولي ، حيث يعتمد على ما يحويه الغذاء من المكونات الأساسية بحيث يزداد التوصيل الكهربائي في حاله وجود الأملاح المعدنية والحوامض والرطوبة ويقل التوصيل عند وجود الدهن والكحول فيها . ويسحب التوصيل الكهربائي من المعادلة التالية

$$\sigma = \frac{I L}{V A} \text{ (S/m)}$$

I التيار المار خلال العينة (A) ، L المسافة بين الأقطاب (m) ، V فرق الجهد (V) ، A مساحة المقطع العرضي للعينة (m^2) .

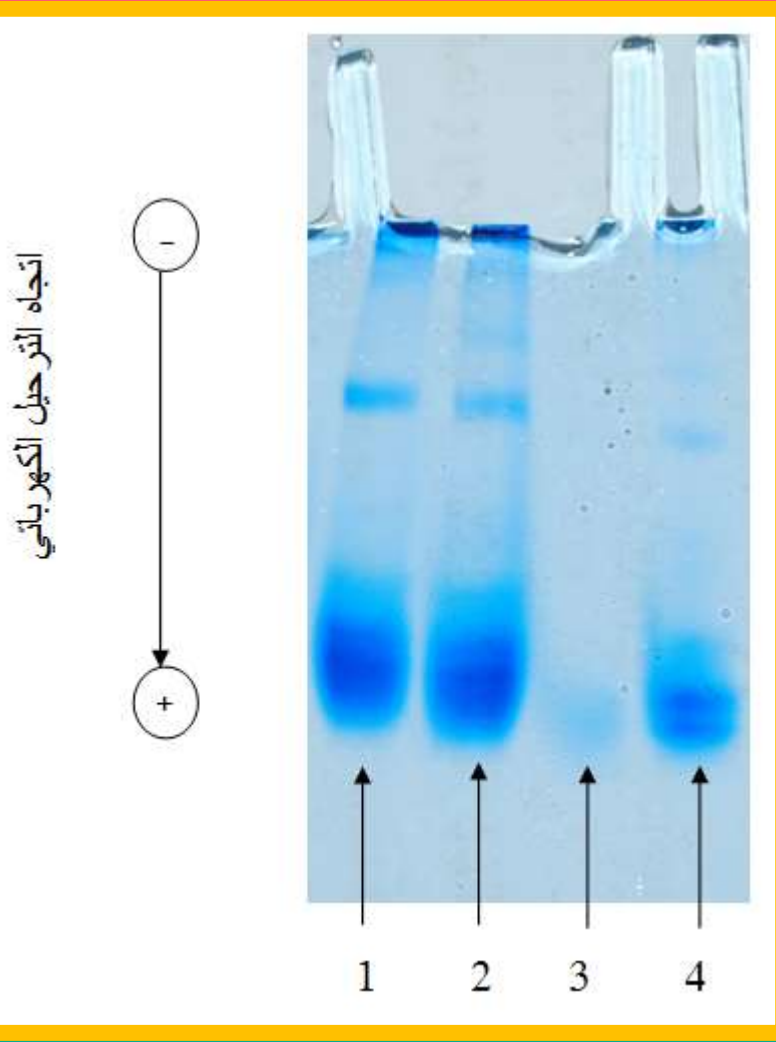


(- particle; - fluid)

تأثير التسخين الأولي على بروتينات الحليب:

تعتمد كمية التربات المكونة على نوع الحليب الخام ونوع المعامله الحرارية وشدة هذه المعامله ، حيث وجد إن كمية الراسب تزداد بزيادة شدة المعامله الحرارية عند استخدام أي نوع من أنواع المعاملات الحرارية . ويعتقد بان جوامد الحليب المتربة هي الجزء المتبقى من الجوامد التي لم تترسب على أسطح المبادلات الحرارية أثناء المعاملة الحرارية مسببًا عيب Fouling .

الأسس النظرية في تكوين رواسب الحليب تعود إلى وجود تفاعلين منفصلين على الأقل في الحليب المعامل حراريا يشتراك كل منهما في تكوين الرواسب . التفاعل الأول عبارة عن دنترة بروتينات الشرش وهو المسؤول عن تكوين الرواسب البروتينيه من النوع الناعم (حبيبات صغيرة) . التفاعل الثاني عبارة عن انخفاض ذوبان فوسفات الكالسيوم الثلاثيه بزيادة درجه الحرارة مما يؤدي إلى تكوين حبيبات كبيرة الحجم .



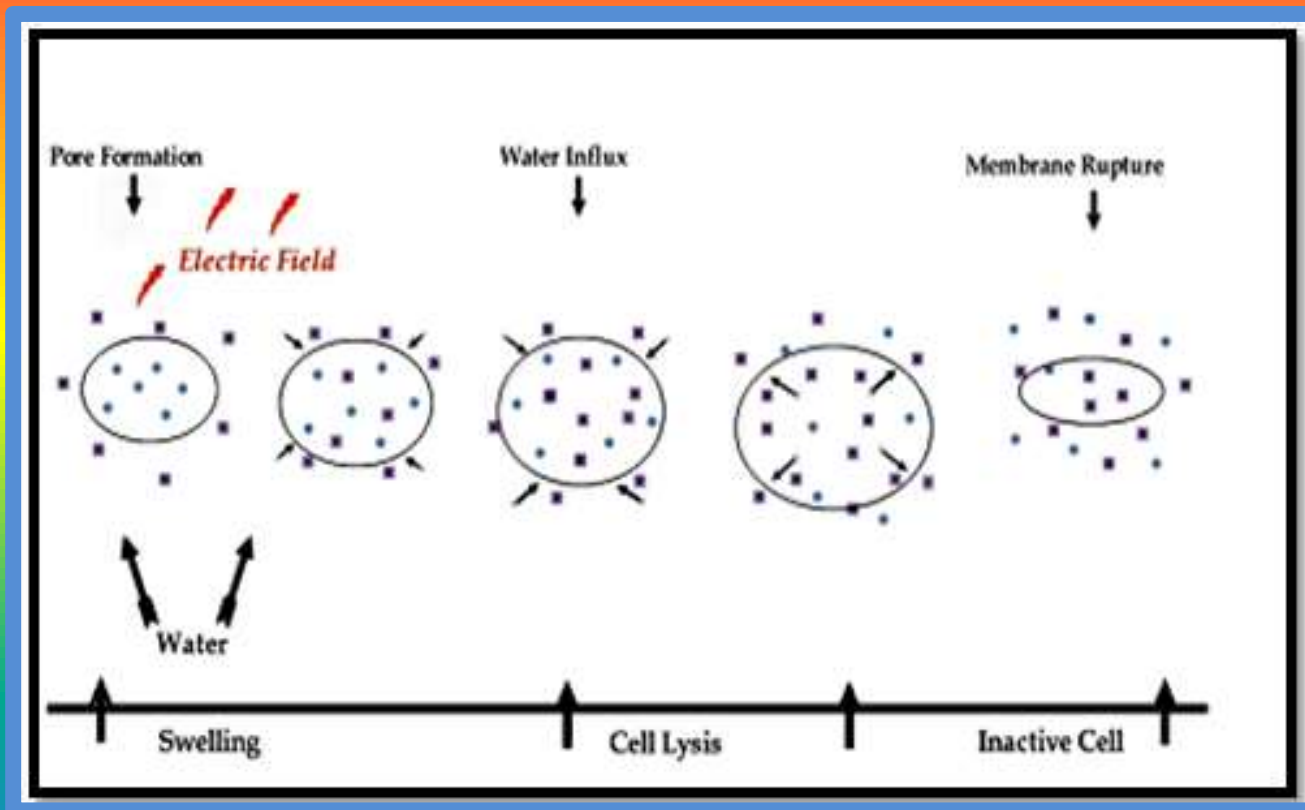
شكل (4-19) التر Higgins الكهربائي على هلام متعدد الاكريل امید لبروتينات الشرش على فروق جهد مختلفة والعينة القياسية : (1) 80 V (2) العينة القياسية

110 V(4) 220 V (3)

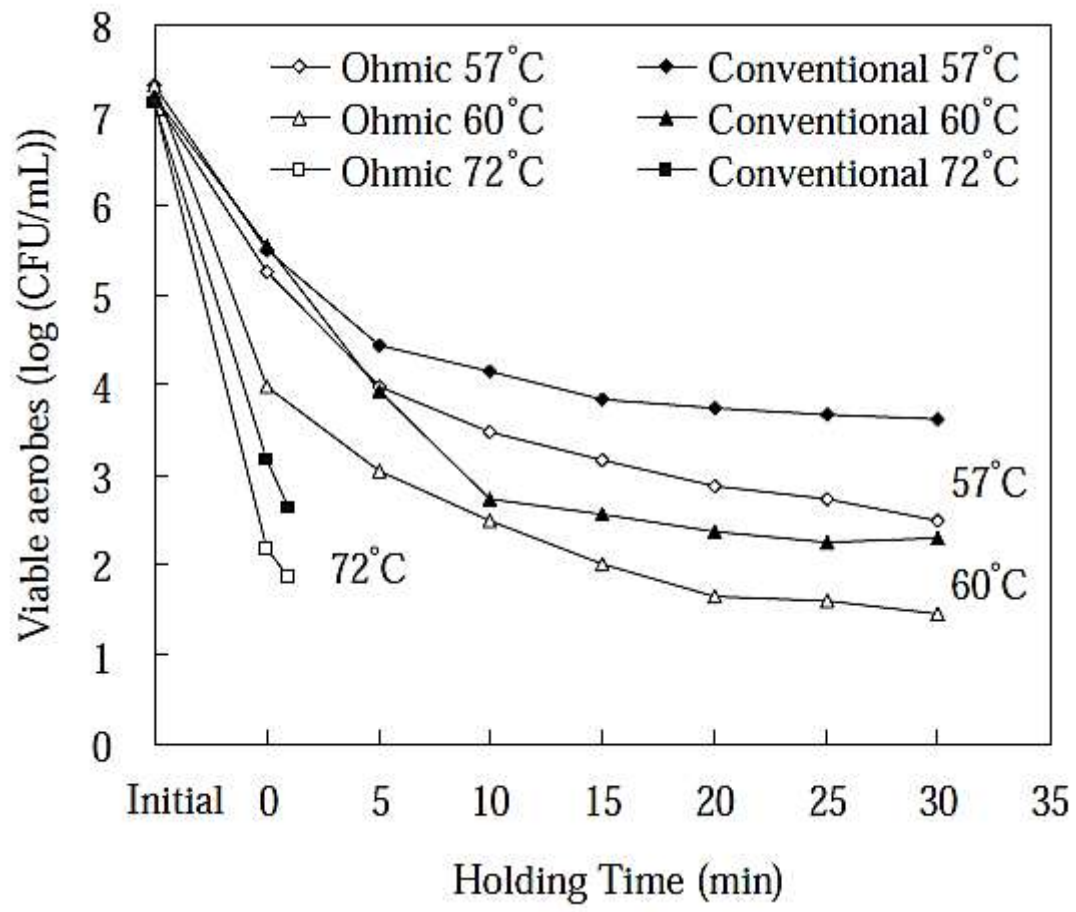
تأثير التسخين الأومي في القضاء على الأحياء المجهرية :

لتقنية التسخين الأومي الدور المهم في القضاء على الأحياء المجهرية الحية الدقيقة الموجودة في الحليب ، إذ إن هناك الكثير من التقارير والبحوث أشارت إلى قابلية التقنية الأومية في القضاء على الأحياء المجهرية بواسطة التأثير القاتل الحراري غير الحراري (التيار المتناوب) وخاصة تأثيرها على Viable *Thermophilus* 2646 *gaerobes* . S ، إذ إن هناك الكثير من الدراسات السابقة بيّنت الدور الهام لتأثير التيار المتناوب على الخطورة المايكروبية في الحليب (Shimada & Shimahara , 1970 Parelleu & Sicard , 1981,1982,1983,1985a,1985b) ، كما بين الباحثين المذكورين أن التأثير التثبيطي للتيار الكهربائي يعتمد على الطاقة و التيار المار خلال الوسط وعلى الوقت الذي من خلاله الخلايا تترك الركود في الوسط بعد المعاملة الكهربائية. إن تثبيط الميكروبات الذي يحدث بواسطة التسخين الأومي له صله وثيقة بفرق الجهد الكهربائي أو التردد ، وأشار أيضا إلى إن تثبيط الميكروبات المتسبب بواسطة التسخين الأومي كان بسبب Electroporation على أغشية الخلايا بواسطة التيار الكهربائي .

آلية القتل المايكروبي بالتسخين الالومي



التبليط المايكروبي بفعل التسخين الاولوي



زمن التخفيض العشري اثناء التسخين الاولمي

Table 4. D values for *S. thermophilus* at 70, 75 and 80°C.

Treatment	Description	D ₇₀ (min)	D ₇₅ (min)	D ₈₀ (min)
Conventional	Mean	7.54 ^a	3.30	0.20 ^a
	S.D.	0.37	0.42	0.03
Ohmic	Mean	6.59 ^a	3.09	0.16 ^a
	S.D.	0.35	0.55	0.03

^asignificance level of 5%

تقنيه المجال الكهربائي Electric Field Tech.

١. المجال الكهربائي النبضي المستمر Pulsed electric field

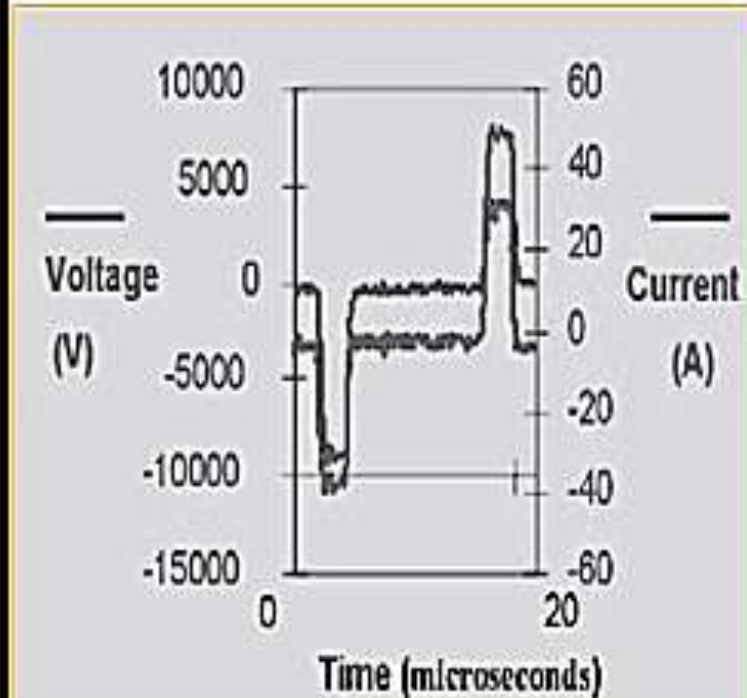
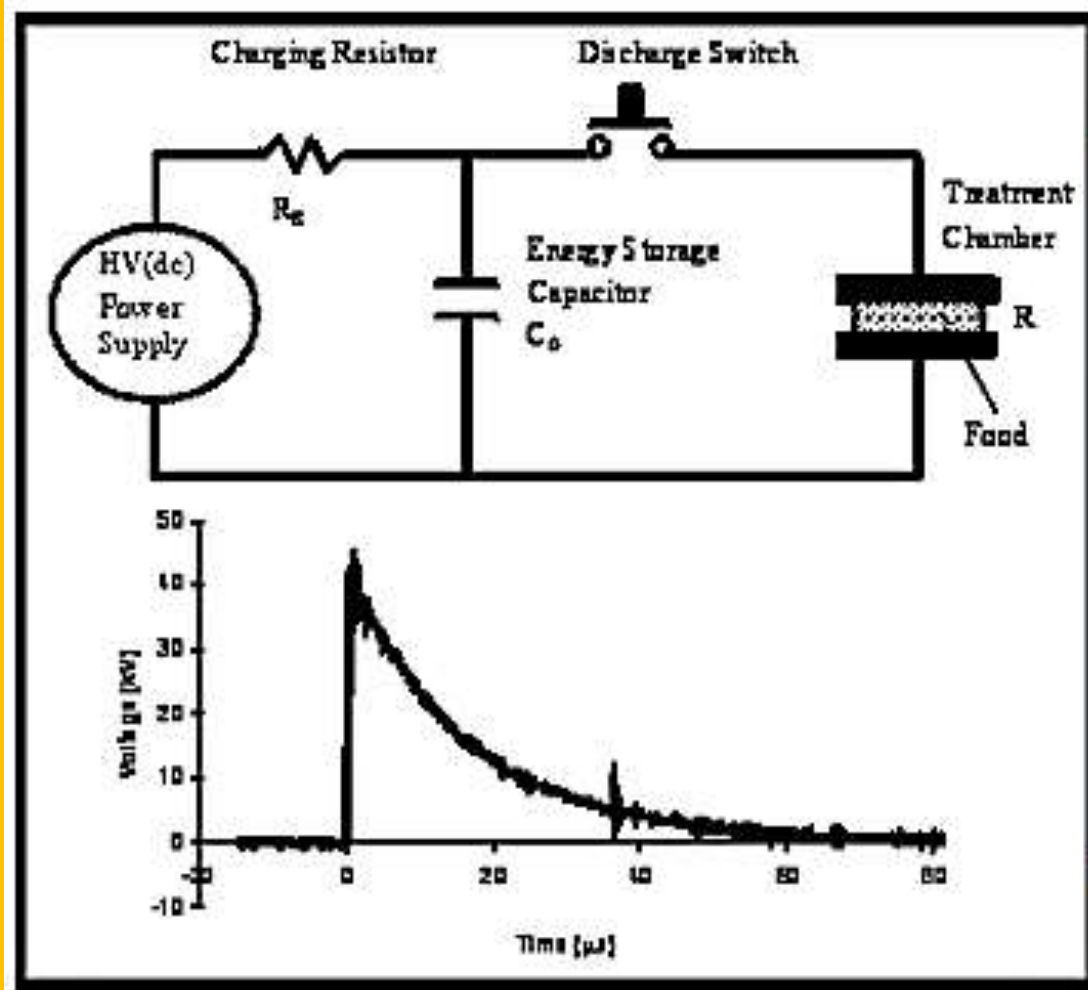
مميزاته:

الغذاء يكون ذو نوعية عالية ويحافظ على قيمته الغذائية ونكهته وعمره الخزني طويل وتنتم عمليه التصنيع بدون حرارة. ويكون طعم الغذاء ولو نه افضل من الطرائق الاخرى.

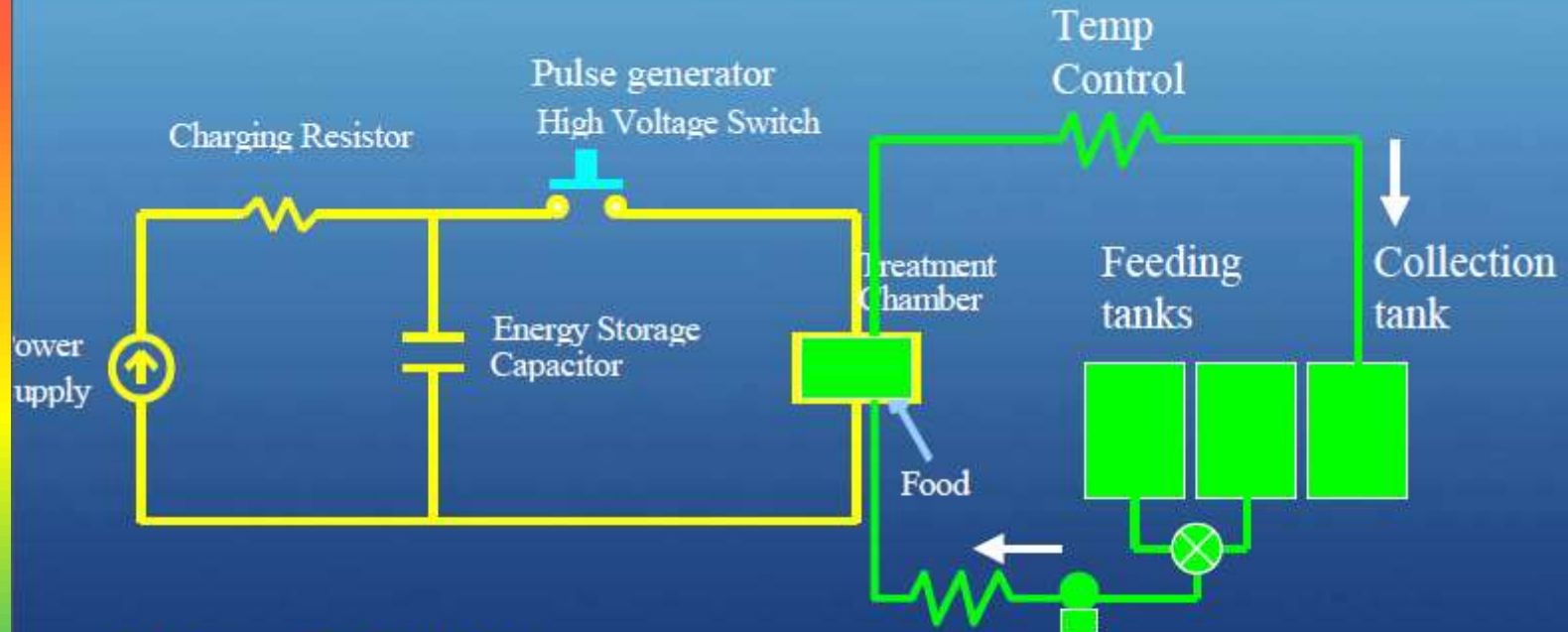
الا انه باهض التكاليف وتصنيعه معقد نوعا ما. ويسبب تلف الغذا اذا بقي فيه فترة طويلة

يتعرض الغذا الى مجال مقداره $20-80 \text{ Kv/cm}$

مخطط لمكونات جهاز البسترة بال المجال الكهربائي النبضي

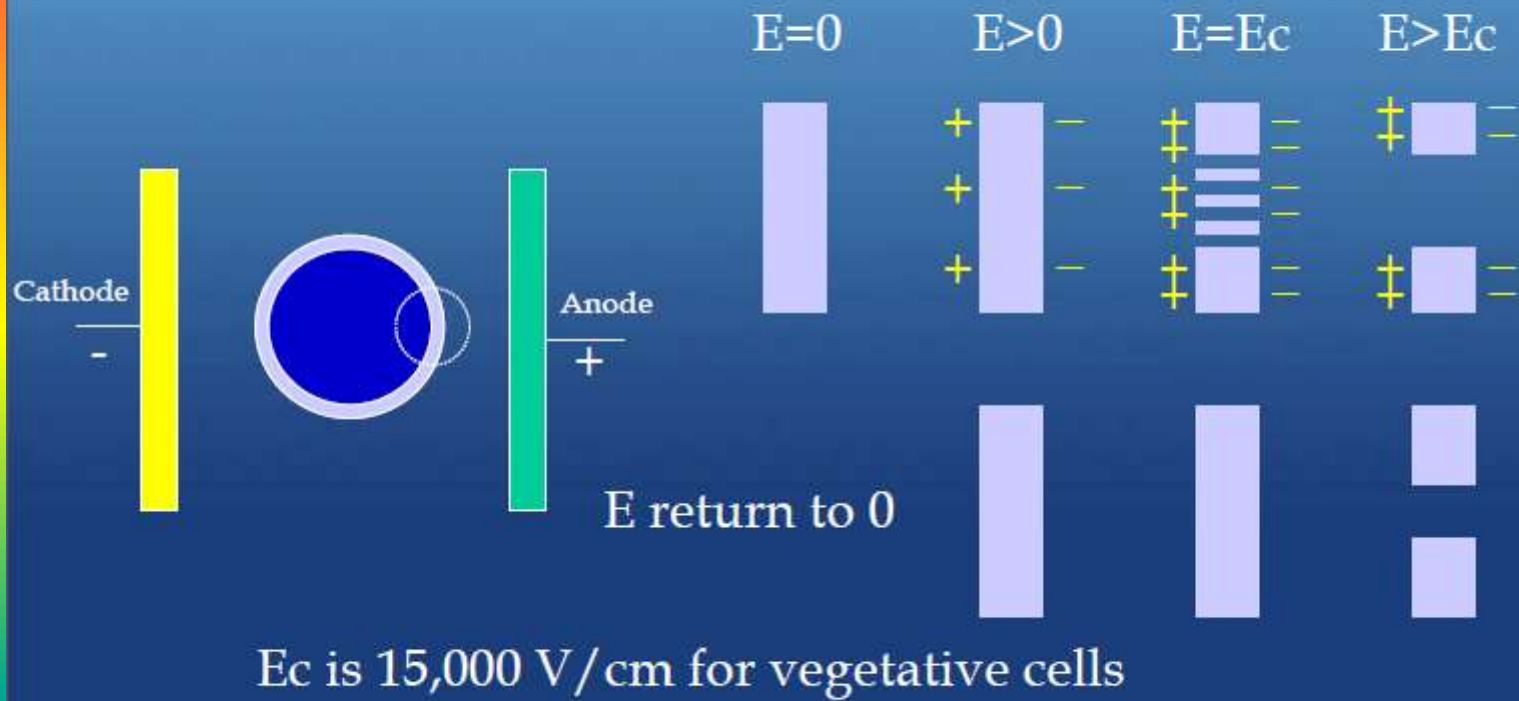


PEF processing system



- Voltage 20-50 kV/cm
- Pulse duration 2-10 μ sec
- Pulse delay 10-20 μ sec
- Pulse frequency 200-400 pulses/sec

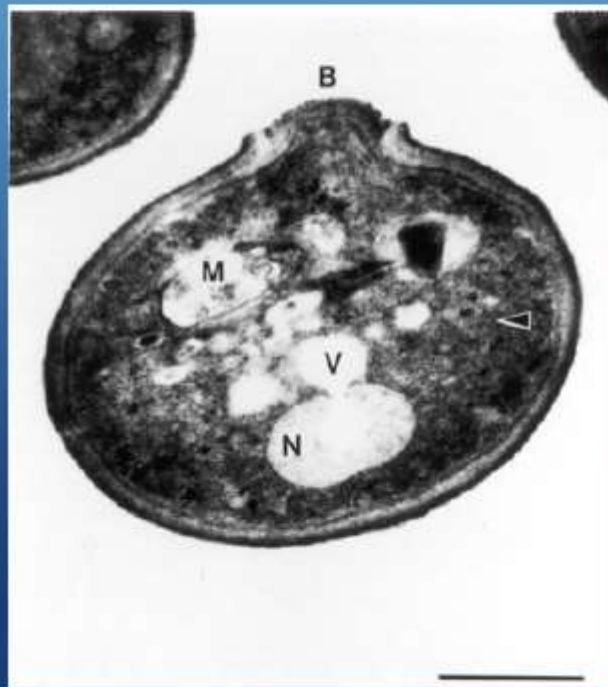
PEF Dielectric Rupture Theory



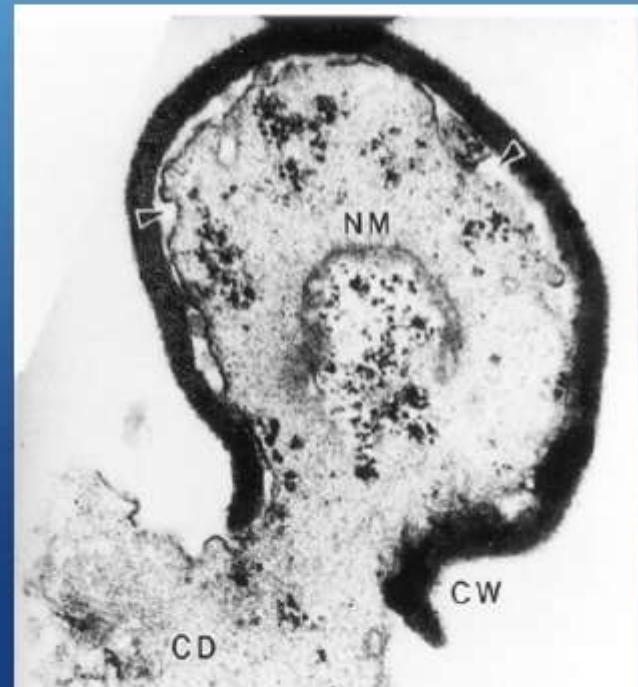
Zhang, OSU, USA

Cell Damage after PEF treatment

Saccharomyces cerevisiae in apple juice



Control Cell

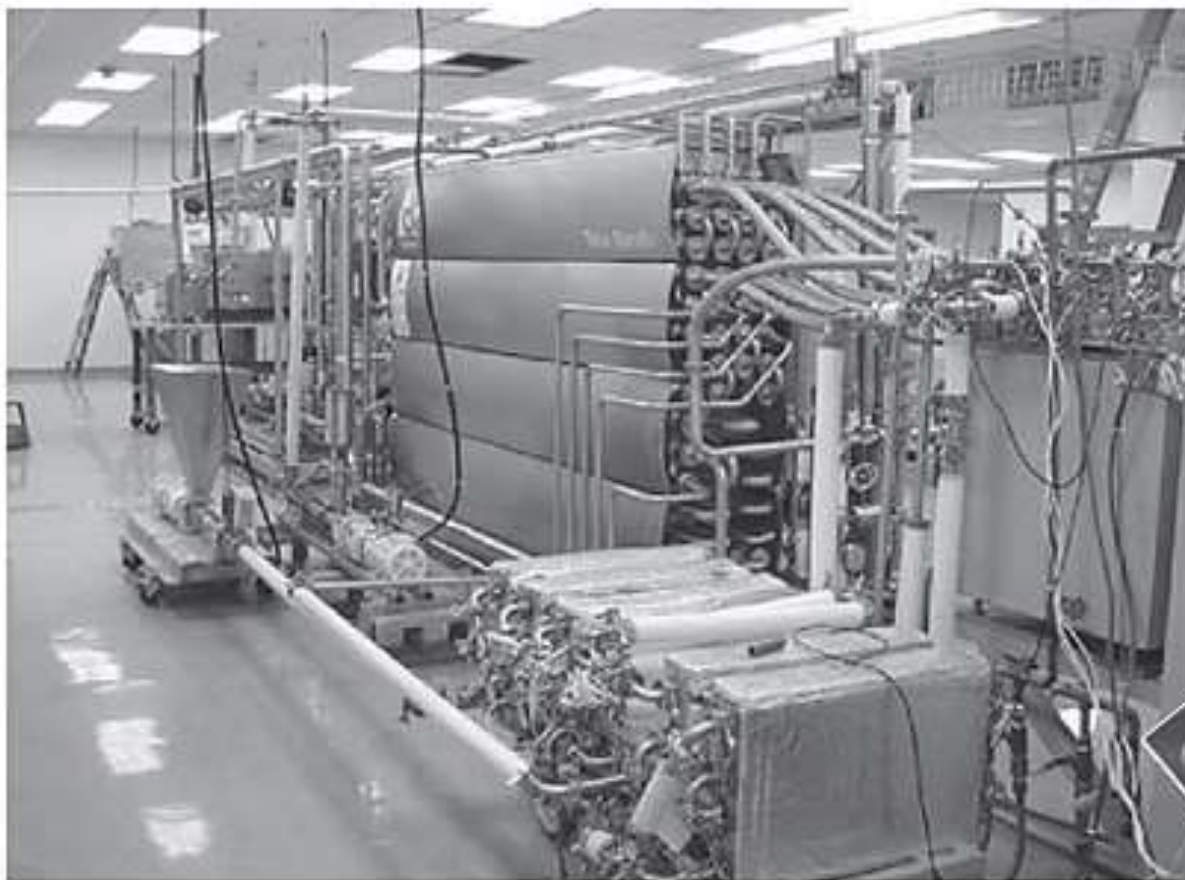


PEF Treated Cell

Continuous-flow PEF system at Food Science Australia



وحدة بسترة بالمجال الكهربائي النبضي



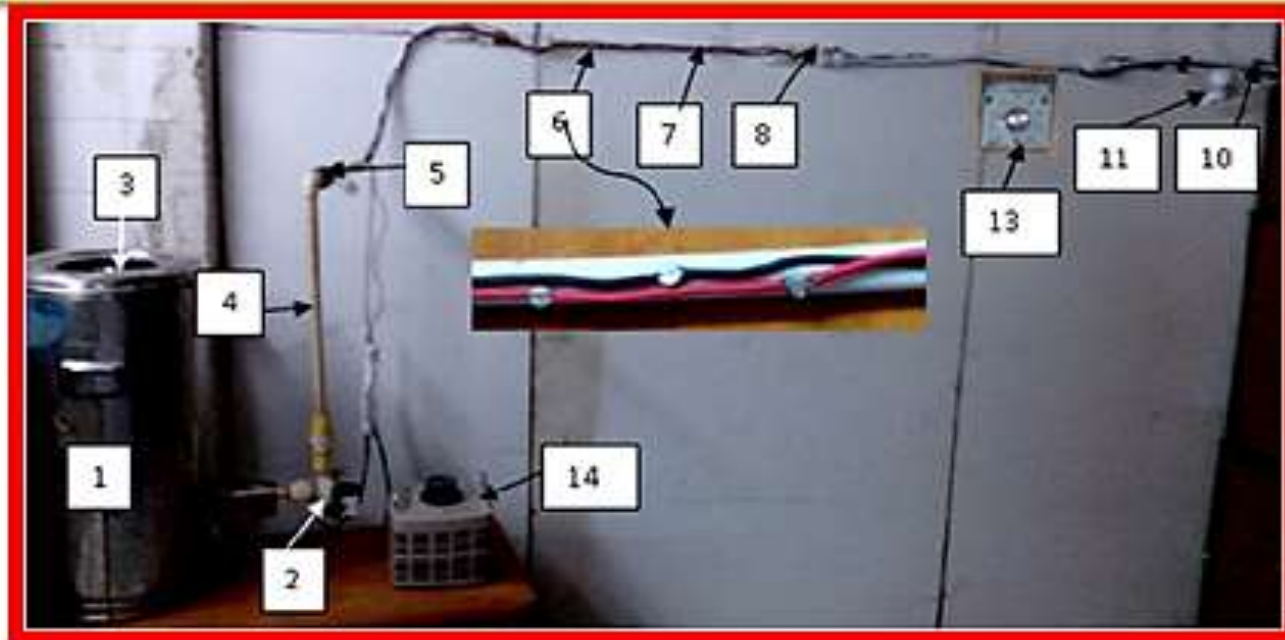
Pulse electric field processing.



المجال الكهربائي المتناوب AC Electric field

يتم فيه تعریض الغذاء الى التيار الكهربائي المتناوب بحيث يصبح الغذاء مقاومة كهربائية من مميزاته يحتاج الى طاقة كهربائية قليلة تصنیعه غير معقد ويعتبر من المعاملات اللاحرارية وهو على نوعین :

أ. ذو اقطاب عمودية:



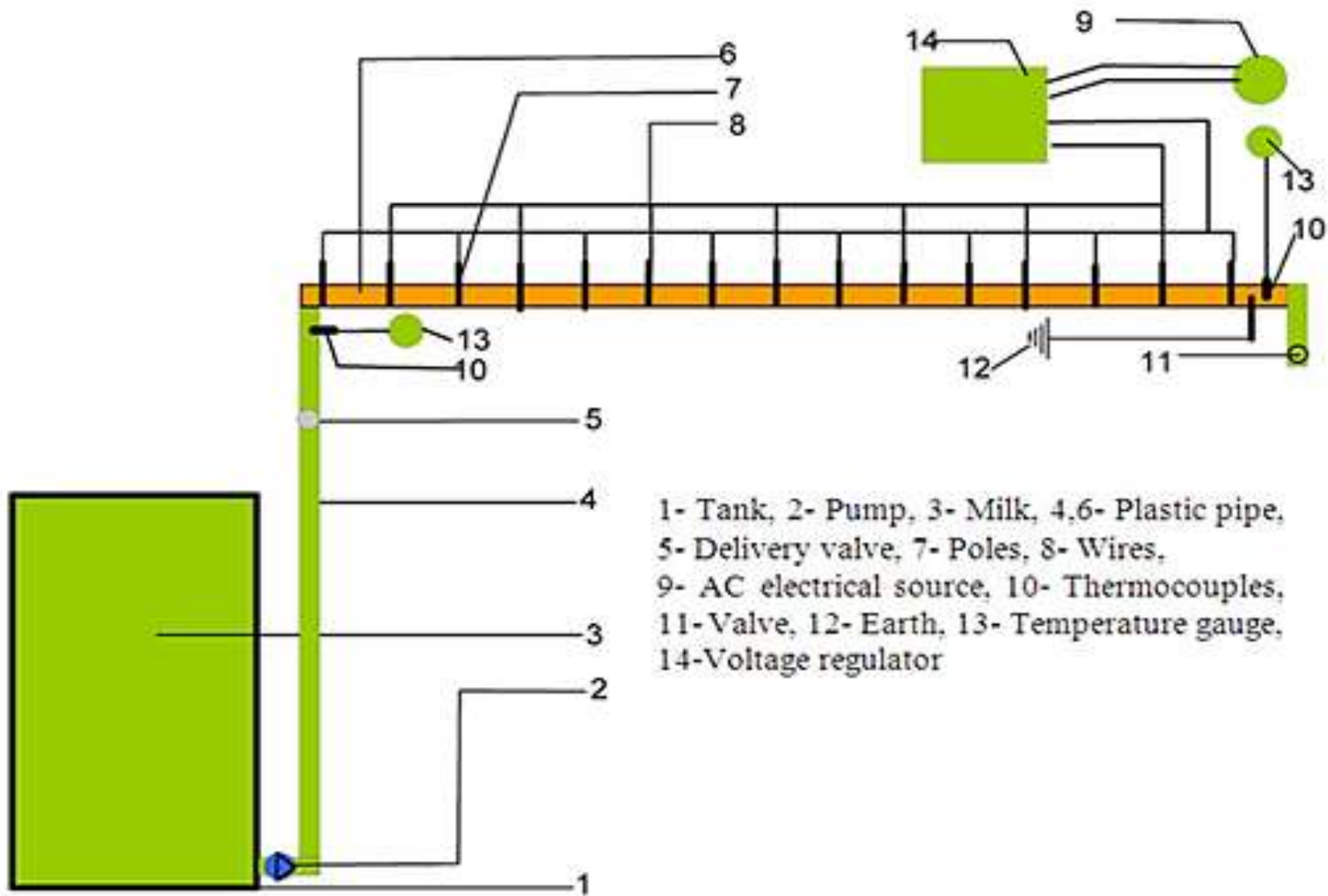
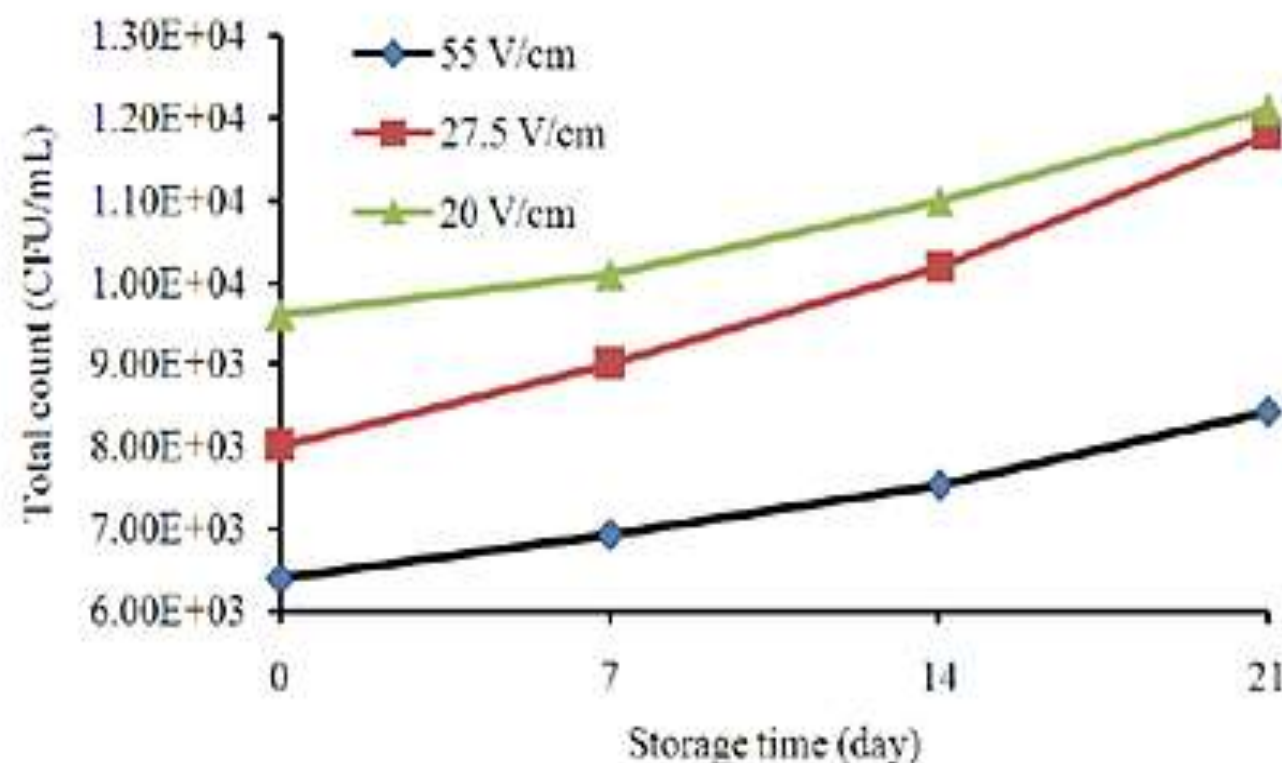
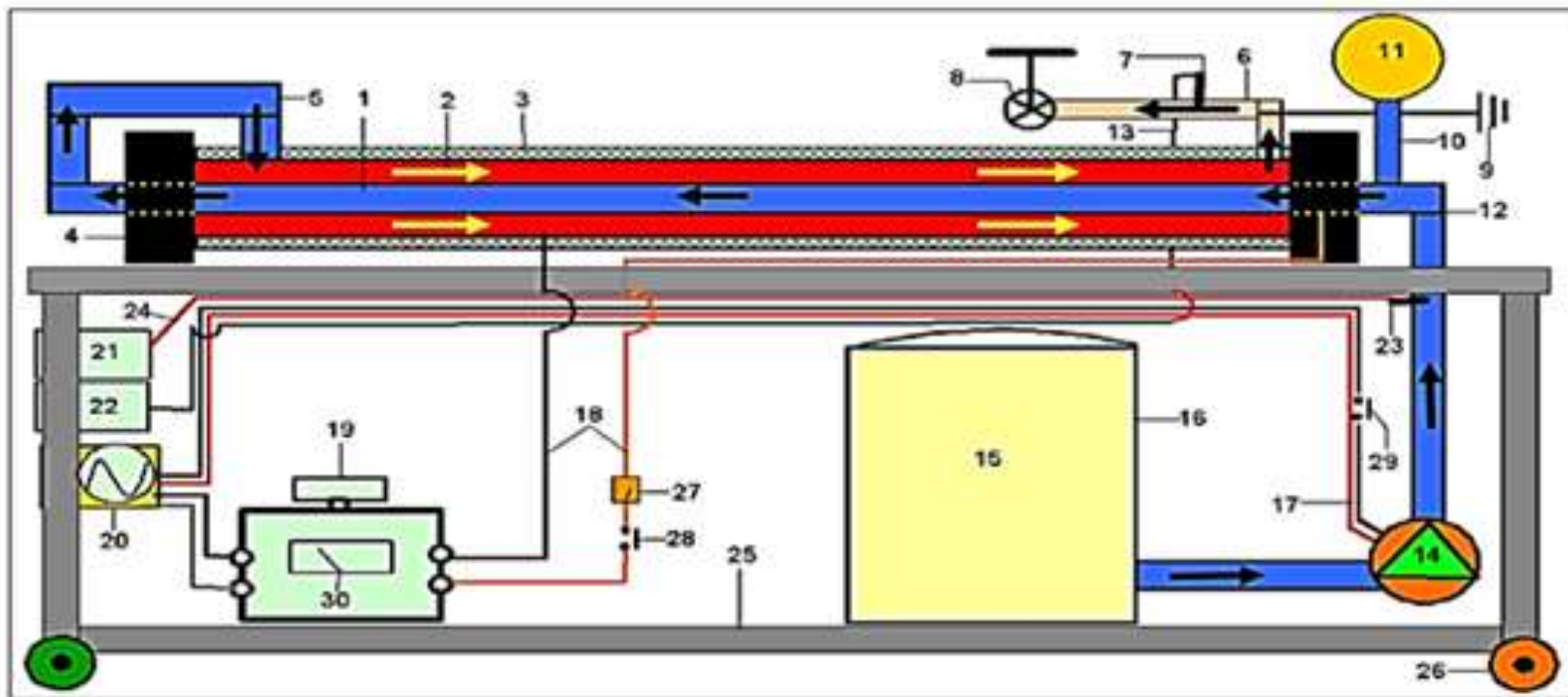


Table 3. Microbiological data for raw and pasteurized milk by electrical field

Electrical field (V/cm)	Total count (CFU/ml)	<i>Enterobacter</i>	<i>E.coli</i>	staphylococcus	Yeasts and molds count	Alkaline phosphatase enzyme
Raw milk	154×10^3	6×10^2	86×10^3	61×10^3	-	+
55	64×10^2	0	0	0	-	-
27.5	80×10^2	2×10^3	0	1×10^2	-	+
20	96×10^2	9×10^3	0	3×10^2	-	+



بـ. ذو الاقطاب الاسطوانية:



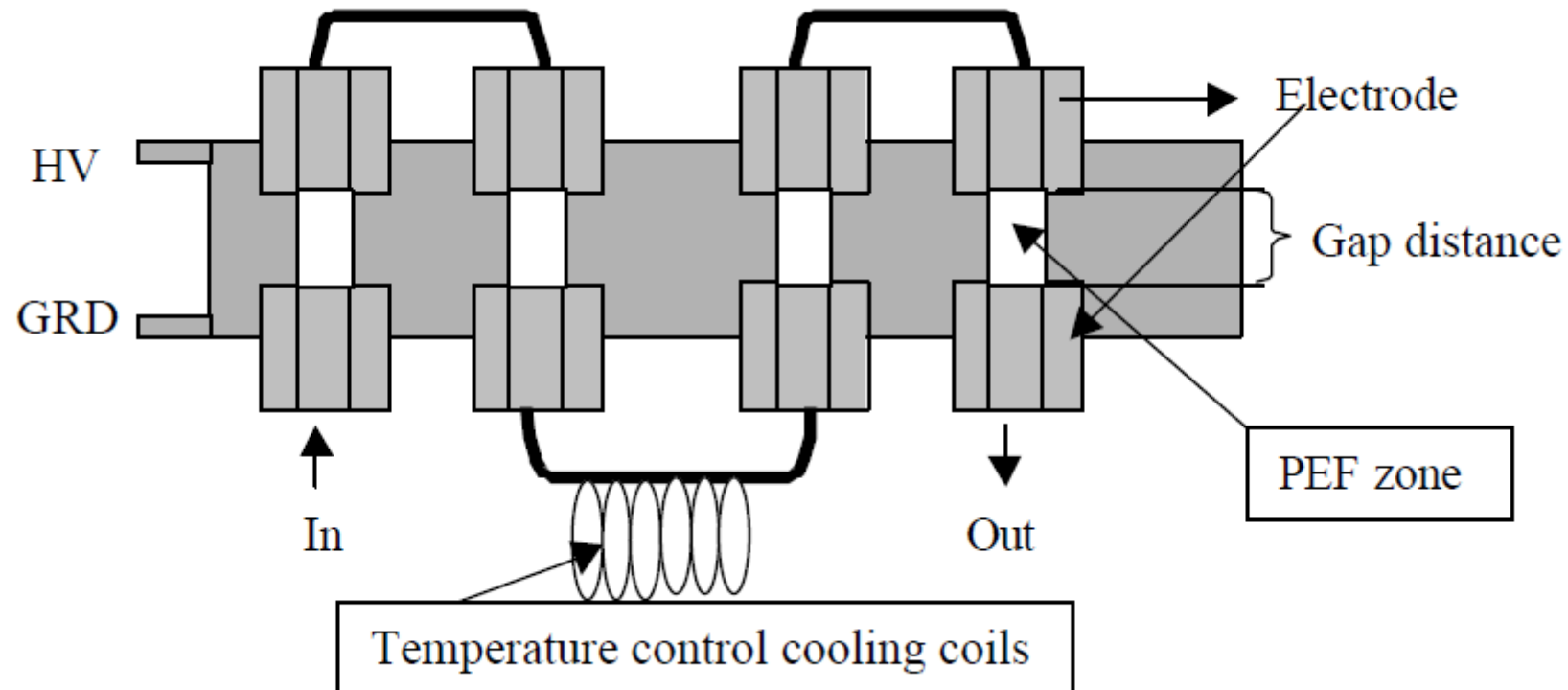
1. انبوب داخلي من الحديد المقاوم للصدأ 2. انبوب خارجي من الحديد المقاوم للصدأ 3. حازل 4. تحويلة من التفلون 5. انبوب بلاستيكى 6. انبوب خروج الحليب المبستر 7. 23 . مزدوج حراري 8. صمام 9. ارضي 10. انبوب 11 . مقياس الضغط 12 ، 17 ، 18. اسلاك
21 ، 22 ، 24 ، 25 ، 26 ، 27 ، 28 ، 29 ، 30 (AC) كهربائية 13 ، 14 . مضخة 15. حليب 16. خزان 19. مغير فولتية 20. مصدر الكهرباء
22. مقياس درجة الحرارة 25. هيكل الجهاز 26. اطراف 27. مقياس للتيار 28، 29. مفاتيح تشغيل 30. مقياس للفولتية

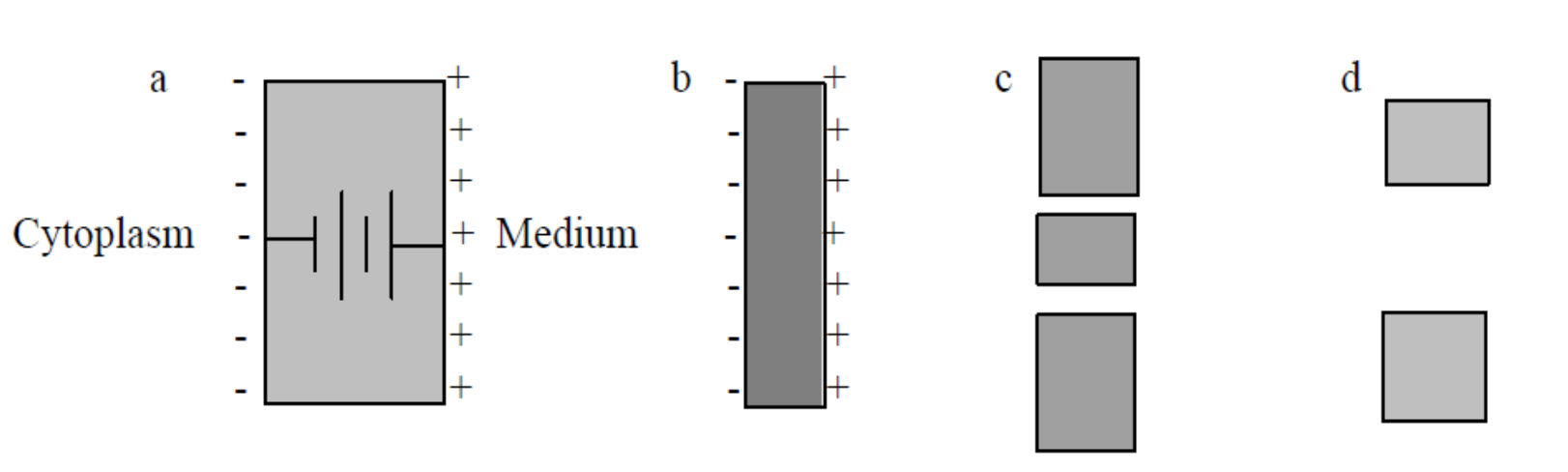


الأعداد المايكروبية وأنزيم الفوسفاتيز القاعدي في الحليب قبل وبعد البسترة بال المجال الكهربائي عند معدلات جريان مختلفة والبسترة التقليدية.

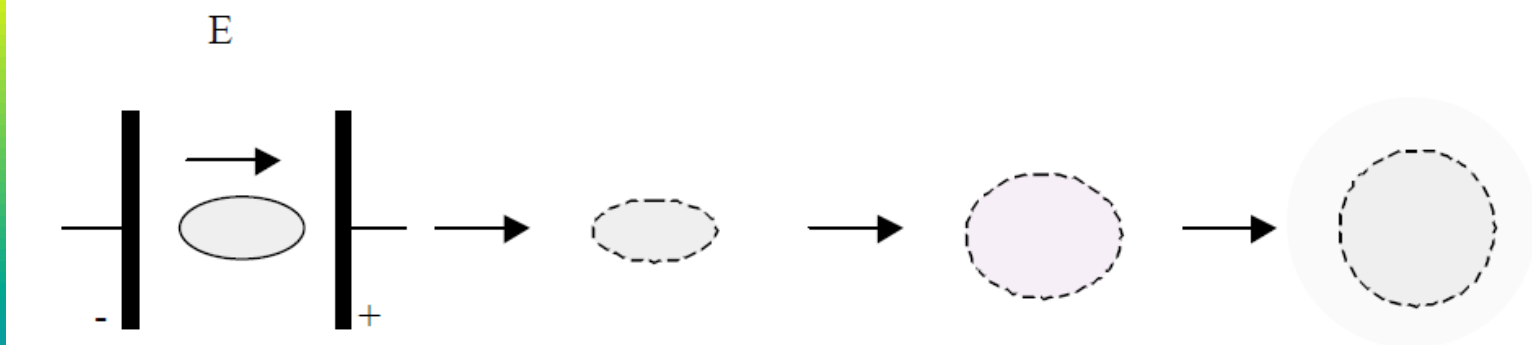
أنزيم الفوسفاتيز القاعدي	العد الكلي ($\text{CFU/ml} \times 10^2$)					جريان الكتلي (kg/sec.)	شدة المجال الكهربائي (v/cm)
	عد الخمائير والاعفان	عد الكلي للبكتيريا المحبة لبرودة	عد بكتيريا المكورات العنقدية	عد بكتيريا القالون	العد الكلي للبكتيريا		
-	Zero	Zero	Zero	Zero	291	0.0185	8.33
-	Zero	Zero	Zero	Zero	312	0.0425	
-	Zero	Zero	Zero	Zero	323	0.0774	
-	Zero	Zero	Zero	Zero	181	0.0185	14.58
-	Zero	Zero	Zero	Zero	221	0.0425	
-	Zero	Zero	Zero	Zero	245	0.0774	
-	Zero	Zero	Zero	Zero	73	0.0185	20.8
-	Zero	Zero	Zero	Zero	112	0.0425	
-	Zero	Zero	Zero	Zero	143	0.0774	
-	Zero	Zero	Zero	Zero	162	البسترة التقليدية	العينة الضابطة
+	0.4	64	216	231	895		

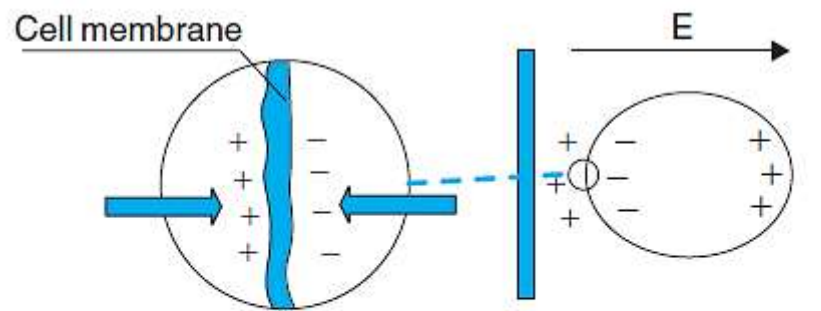
Microorganism	Type of milk	Treatment Conditions	Log reduction	Reference
<i>Pseudomonas fluorescens</i>	skim milk	28 kV/cm, 1 pulse, 2 µs, repetition rate of 200 pulses per second, 40 °C	2	Craven et al (2008)
<i>Pseudomonas</i> species	whole milk	31 kV/cm, 1 pulse, 2 µs, repetition rate of 200 pulses per second, 55 °C	>3	Craven et al (2008)
<i>Staphylococcus aureus</i>	whole milk	35 kV/cm, 150 bipolar pulses, 8 µs, 25 °C	4.5	Sobrino-López et al (2006b)
<i>Listeria monocytogenes</i>	whole milk	30 kV/cm, 400 pulses, 25 °C	2.5	Reina et al.(1998)
<i>Listeria monocytogenes</i>	whole milk	30 kV/cm, 400 pulses, 25 °C	4	Reina et al.(1998)
<i>Salmonella dublin</i>	skim milk	25 kV/cm, 100 pulses, 30 °C	1	Sensoy et al. (1997)





Electroporation Osmotic imbalance Swelling Membrane rupture



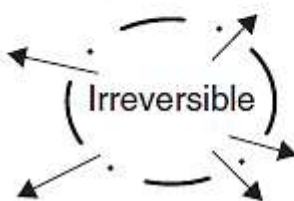
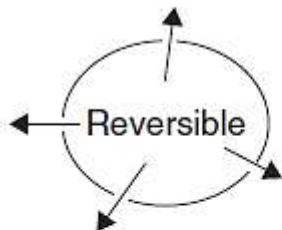


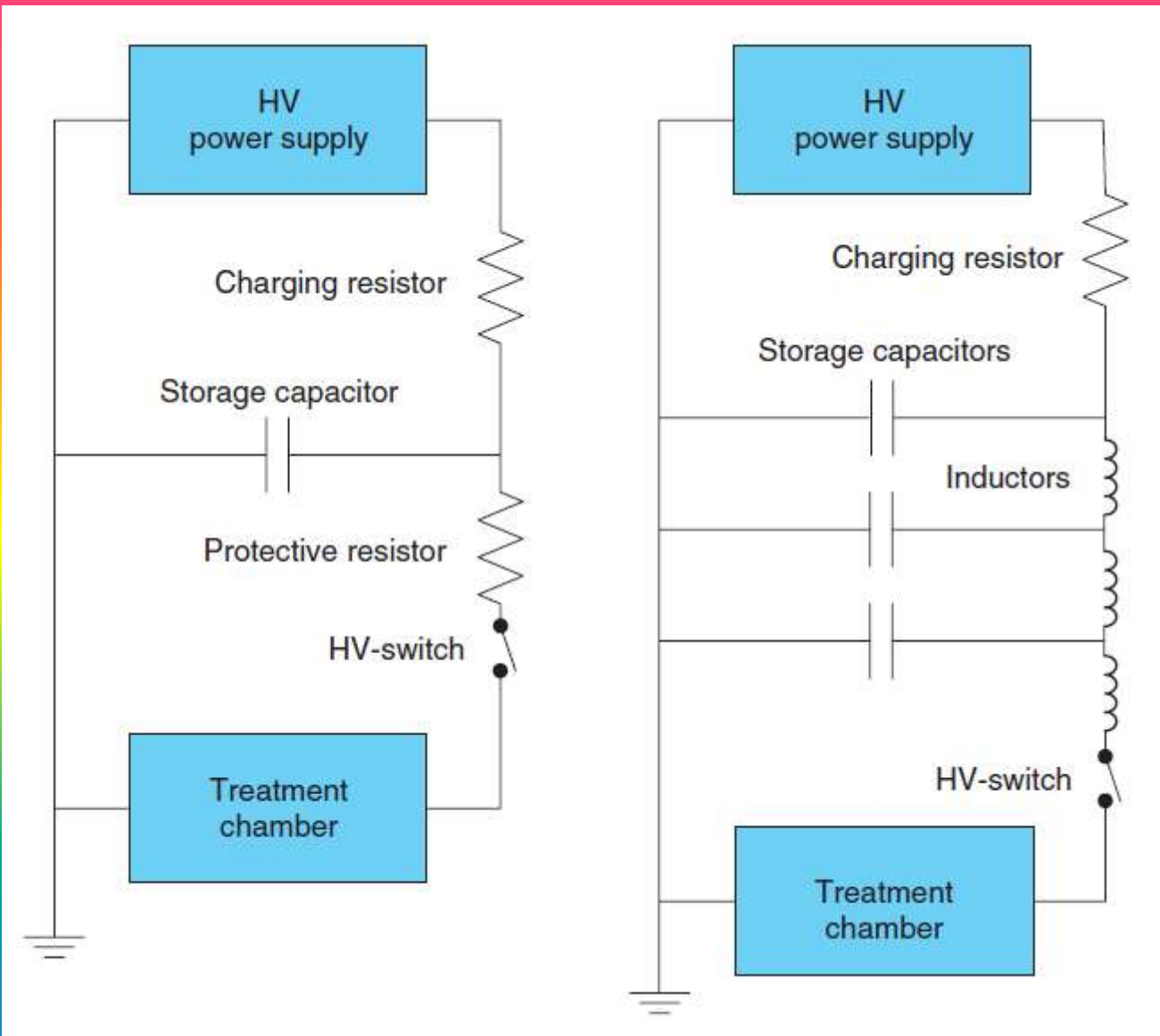
$$E < E_{\text{crit}}$$

$$E > E_{\text{crit}}$$

$$E \gg E_{\text{crit}}$$

Intact
cell





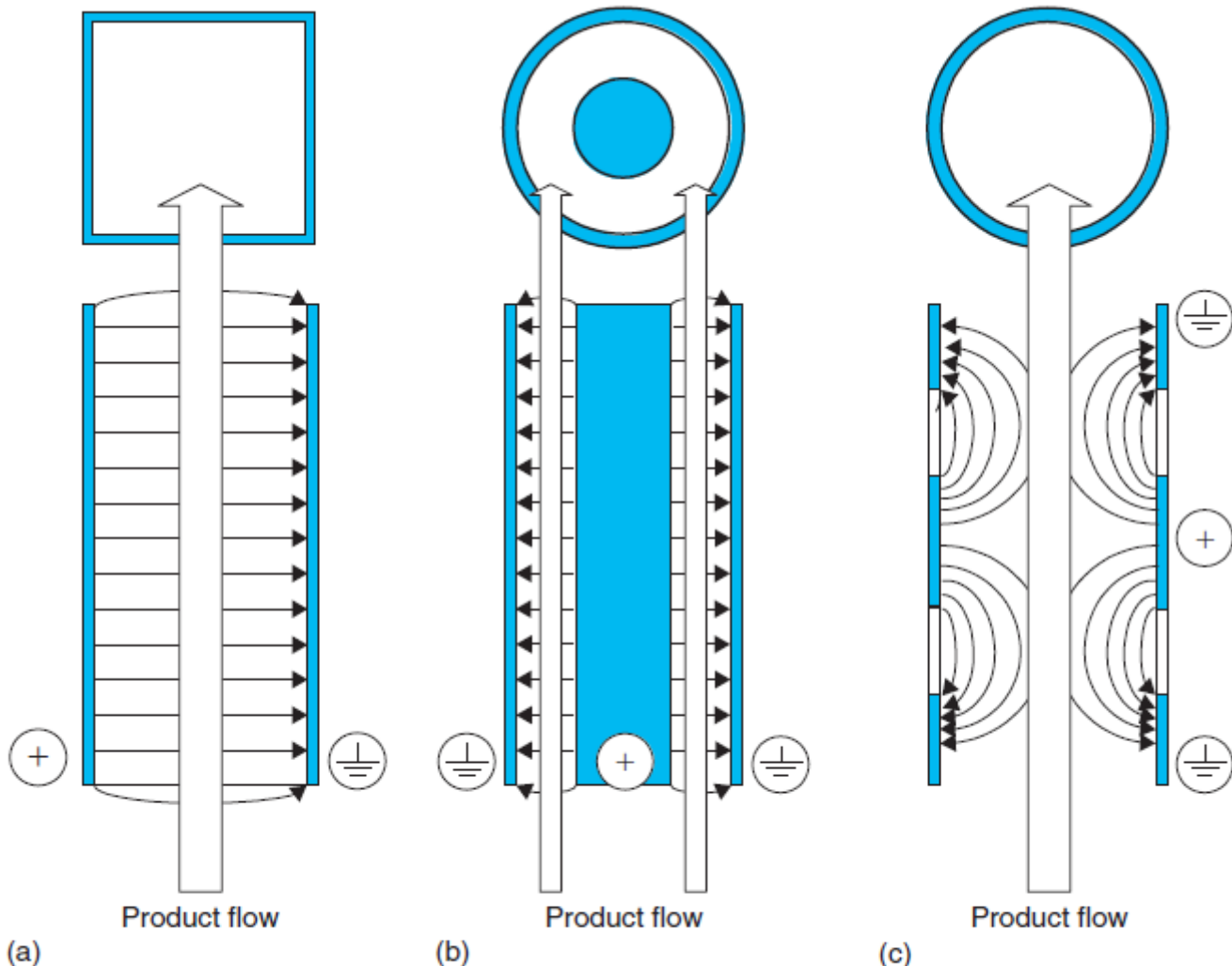
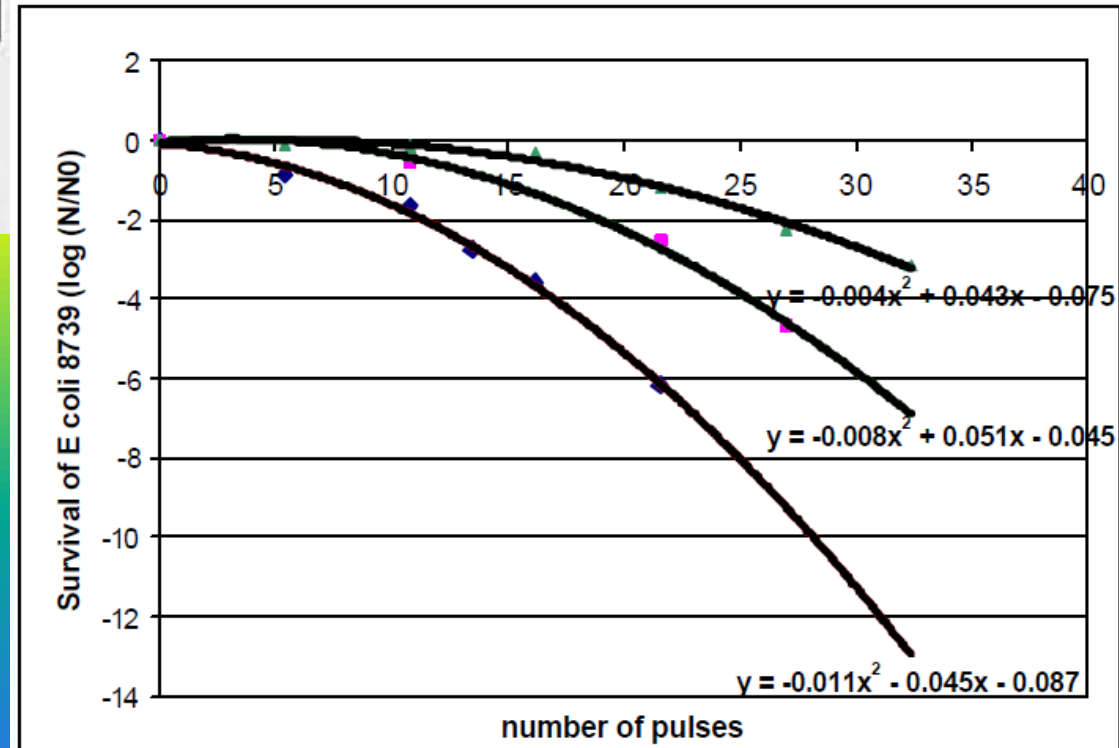
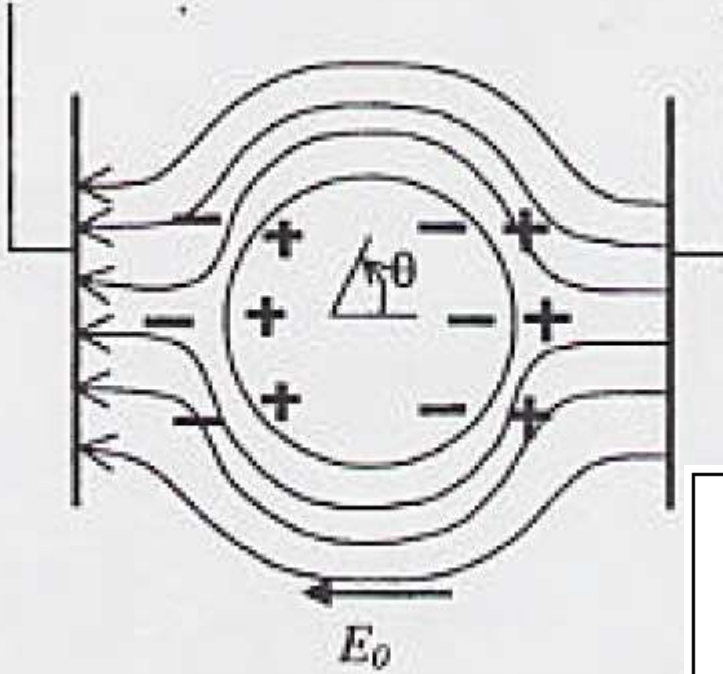
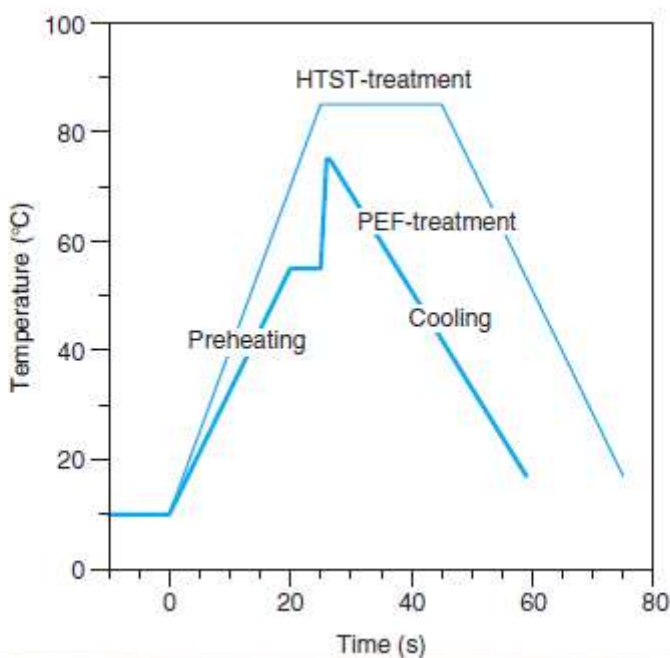
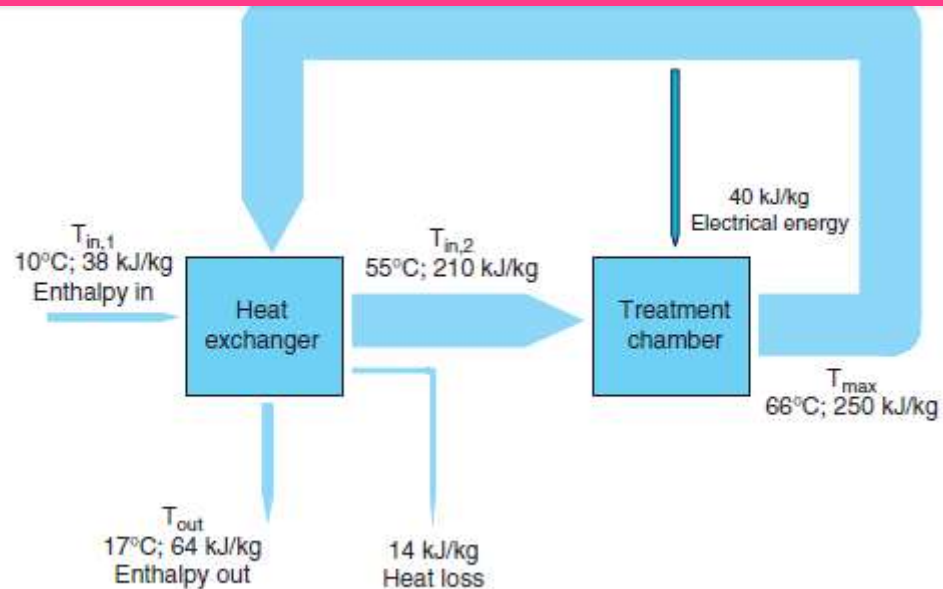


Figure 4.3 Configurations of treatment chambers for continuous PEF treatment: (a) parallel plate, (b) coaxial and (c) co-linear configuration.



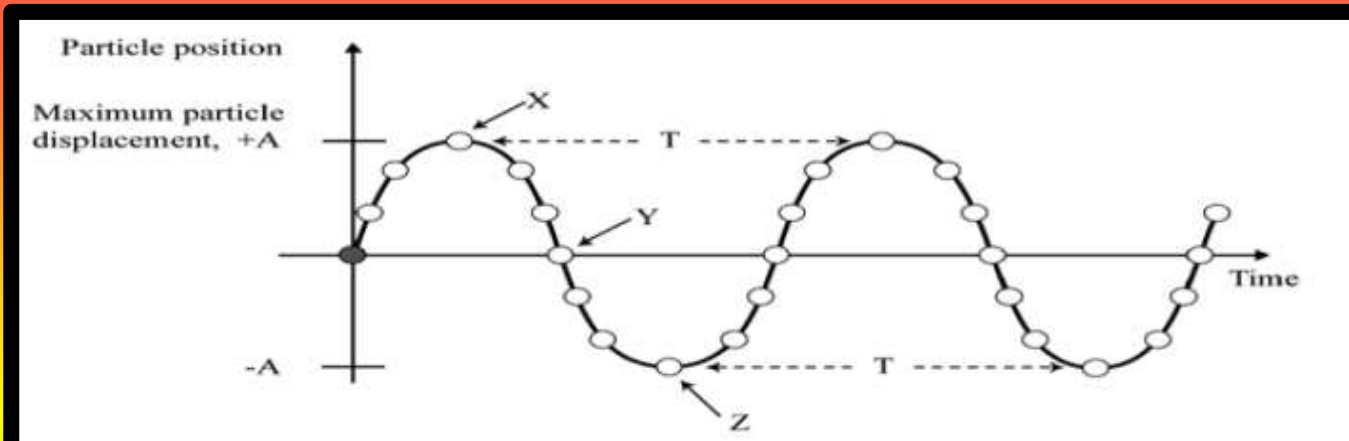


الموجات فوق الصوتية Ultrasound

تستخدم الموجات فوق الصوتية في العديد من التطبيقات في تصنیع الاغذیة تتضمن القضاء على البکتریا او تثبیطها وتعتمد على شدة المعاملة ومدتها والتردد.



سلوك الموجة فوق صوتية

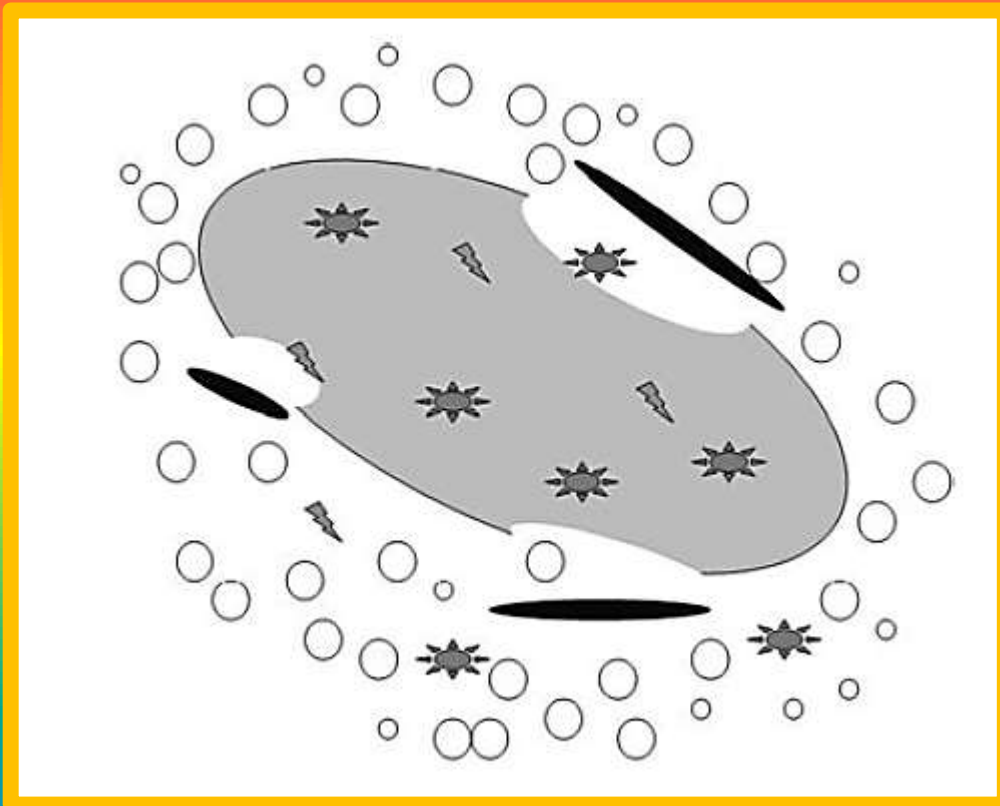


أن الموجات فوق الصوتية المستخدمة في المجال الغذائي تكون على نوعين :

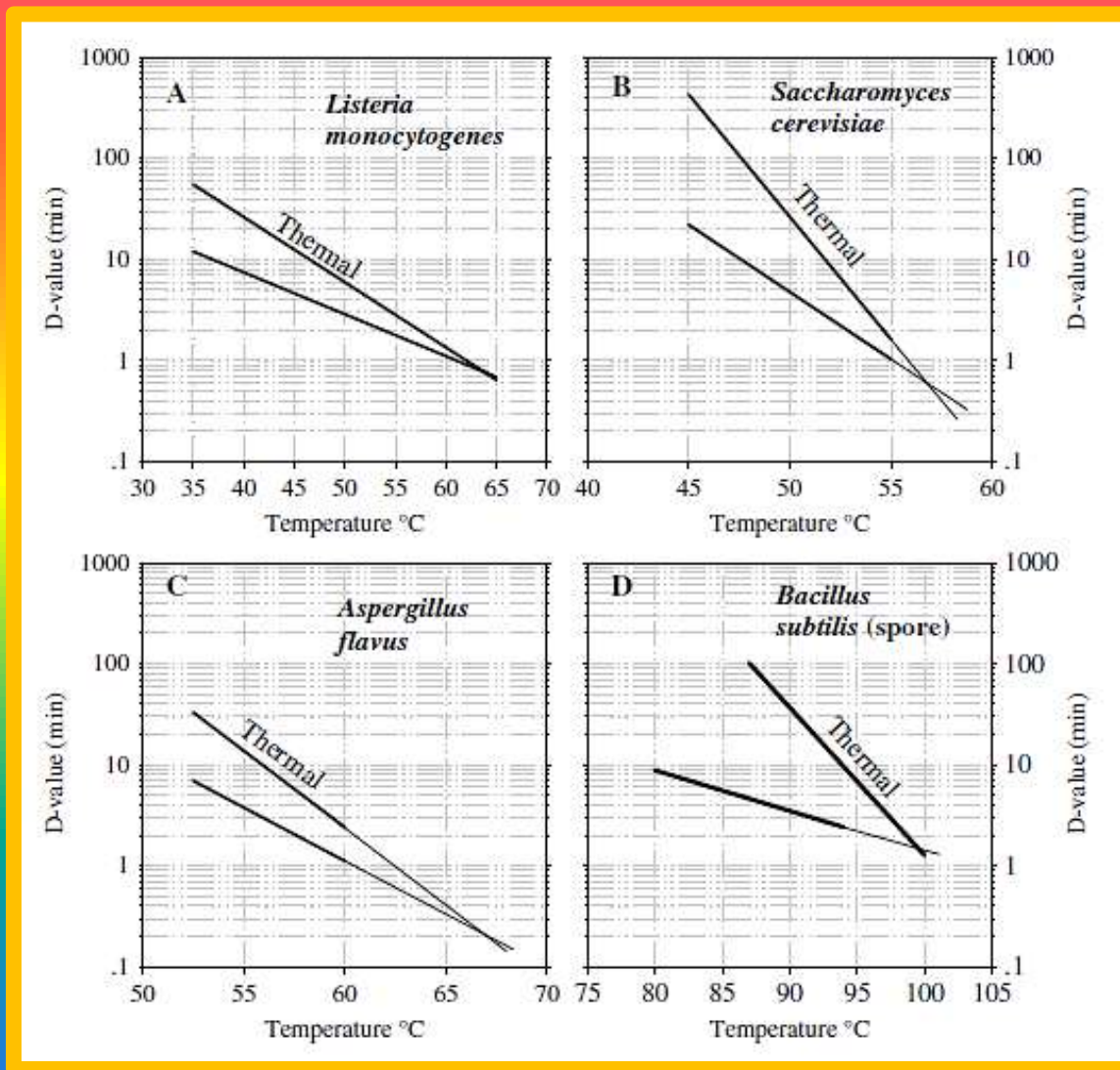
١. الموجات العالية الكثافة والتي تمتاز بمستويات طاقة عالية نسبياً Wcm^{-2} (10–1000) وترددات منخفضة (≤ 0.1 MHz) والتي تتسبب في أحداث تغيرات فизيائية وكيميائية في المنتجات المعاملة وقد استخدمت هذه الموجات لإزالة الغازات من الأغذية السائلة والحد من تفاعلات الأكسدة فضلاً عن استخراج الإنزيمات والبروتينات.
٢. الموجات المنخفضة الكثافة وهي ذات مستويات طاقة منخفضة ($\leq 1 Wcm^{-2}$) وترددات عالية (0.1–20 MHz) تعمل على ترك النظام من دون أي تغيير مما يجعلها أداة ممتازة في قياس خصائص الأغذية.

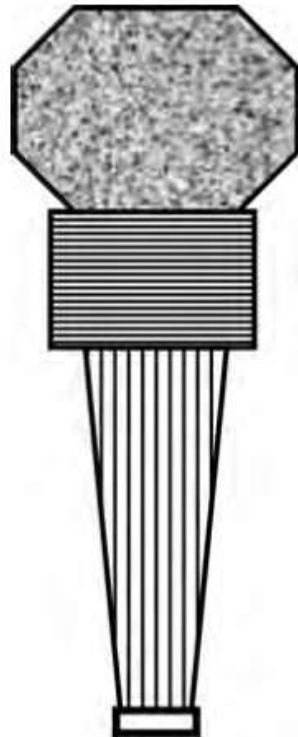
تكمن ميكانيكية التثبيط الميكروبي للموجات فوق الصوتية من خلال تكوين الجذور الحرة hydroperoxide في الاحماض الدهنية الغير المشبعة والتي تتسبب في تغير نفاذية غشاء الخلية (Earnshaw *et al.*, 1995) ، في حين تشير أبحاث أخرى إلى إن عملية التثبيط تأتي من خلال تكوين وتشكيل فقاعات صغيرة بتأثير الموجات فوق الصوتية المنتشرة في السائل والتي تعانى تحطم وانهيار سريع في كل ثانية وتدعى هذه الظاهرة بالتجويف cavitation حيث تصل درجة الحرارة داخل الفقاعة إلى أكثر من 5500°C وضغط (50 MPa) والتي تتسبب في إحداث اضطراب في الأغشية وتلف في DNA ومن ثم انهيار في جدران الخلايا

الخلية البكتيرية خلال التجويف وحصل الهاك لها من خلال عمل ثقوب فيها وهلاكها من خلال عمل ثقوب فيها وتمزيق الغشاء.



Thermo-sonication treatment



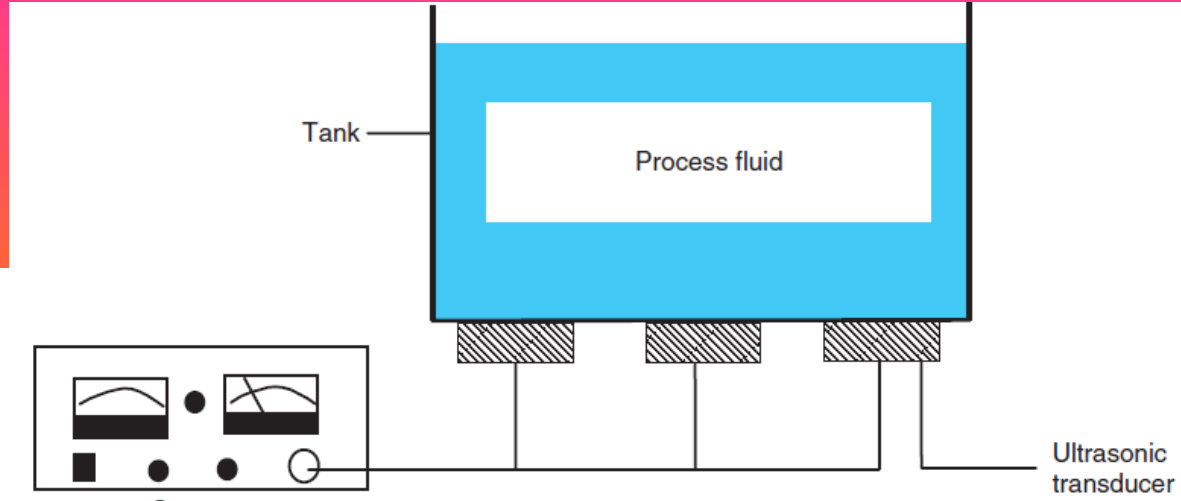


Transducer housing

Transducer

Horn

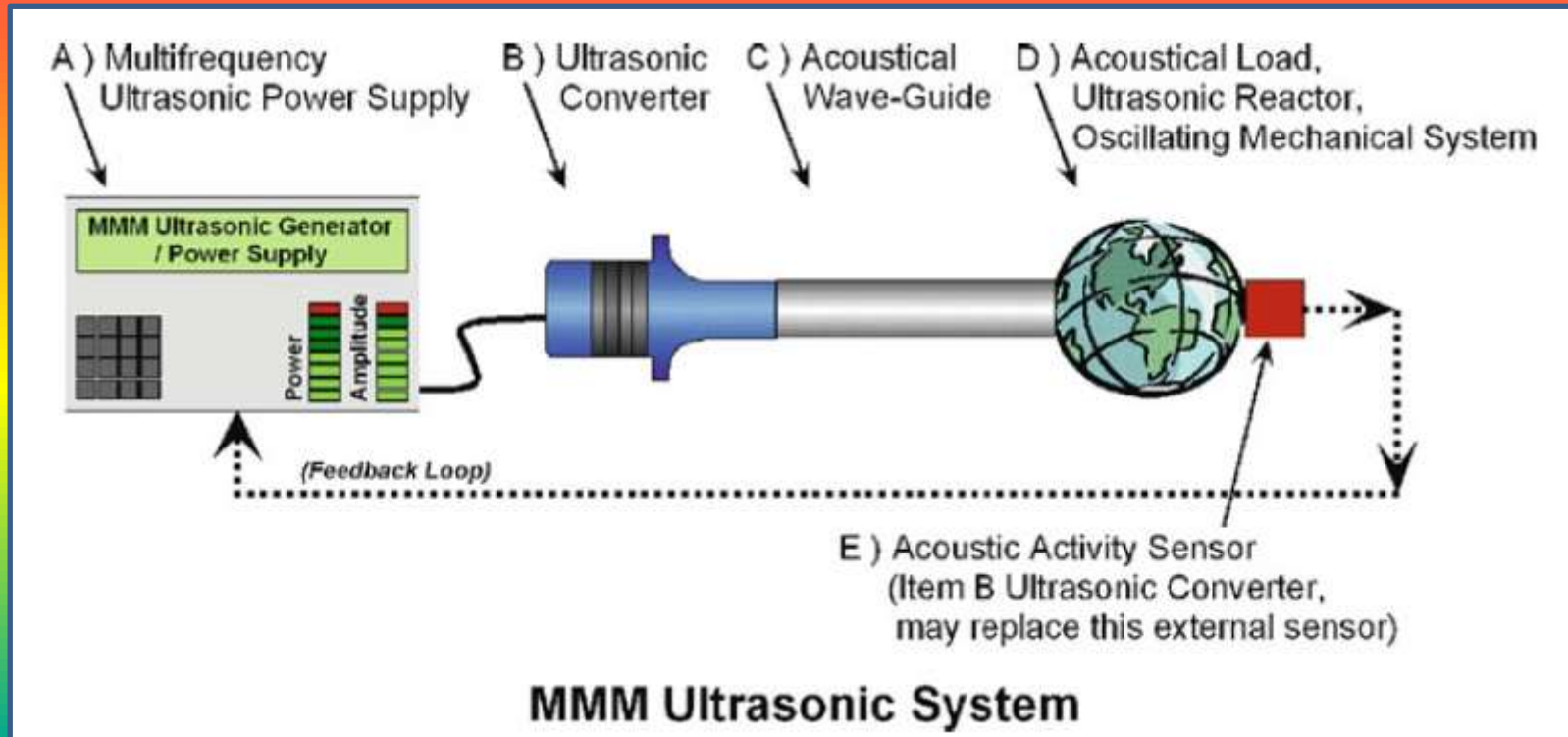
Replaceable cap



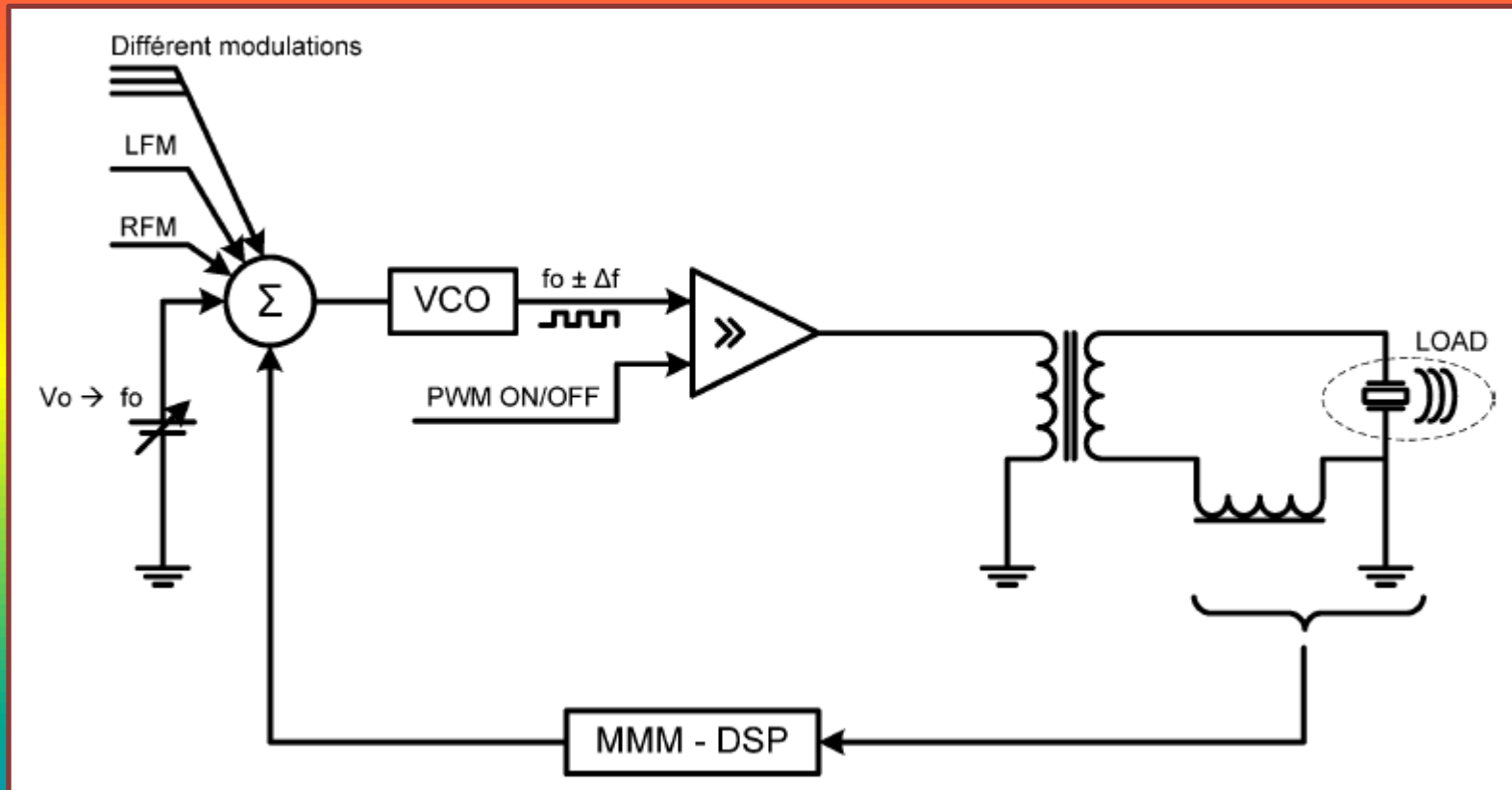
Ultrasonic transducer



Ultrasonic probe (adapted from Mason, 1998).



دائرة عمل الموجات فوق الصوتية



ثبيط الاحياء المجهرية بواسطة الموجات فوق صوتية

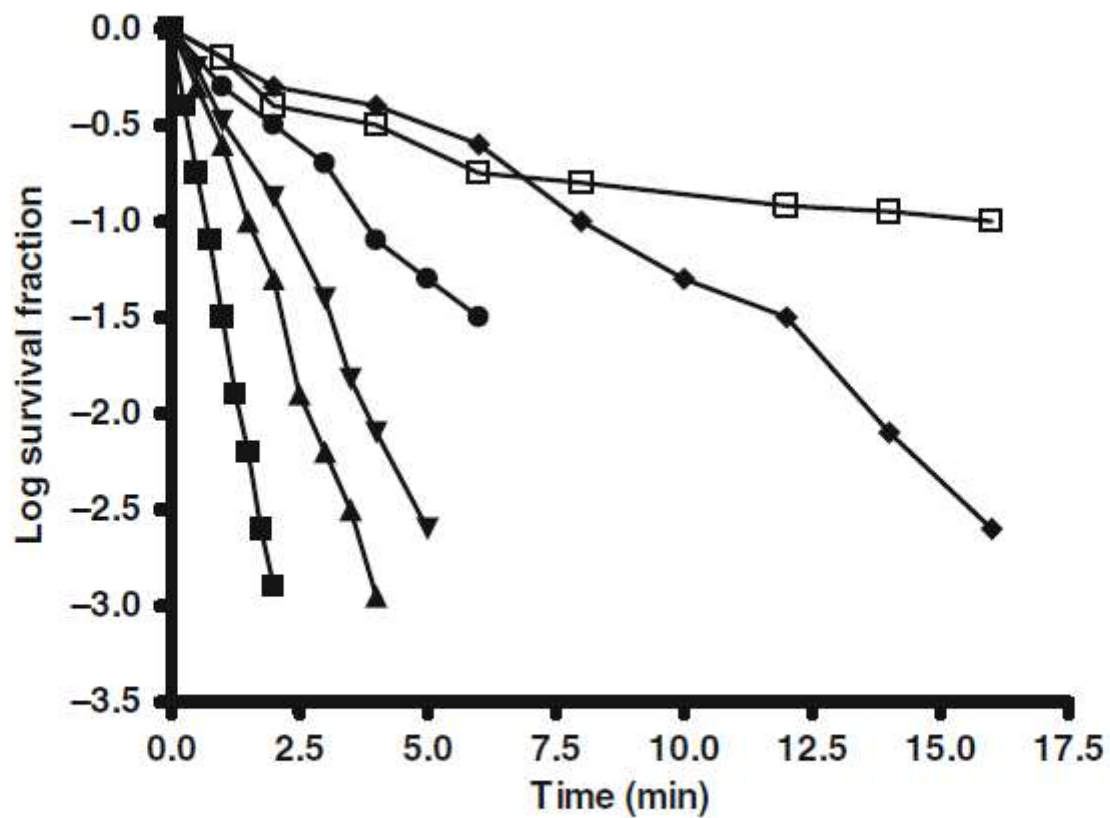


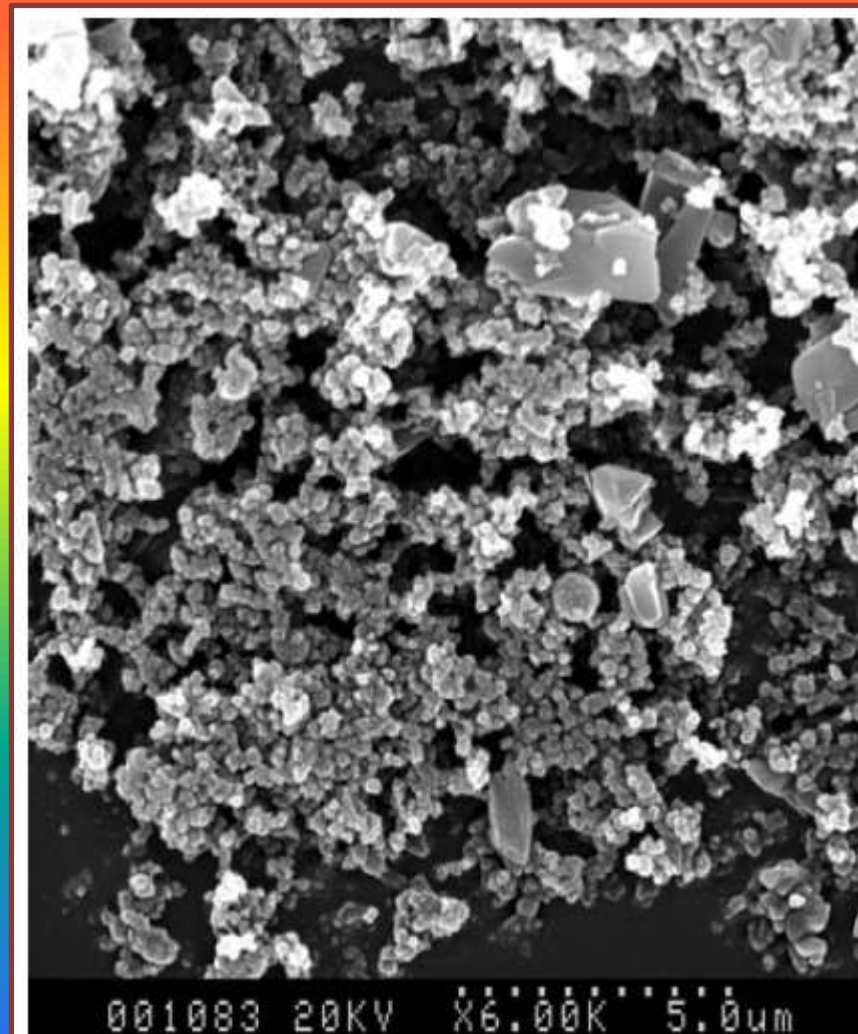
Fig. 11.1 Survival curves for ultrasonic under pressure treatments (40°C , 200 kPa, 117 μm) of *B. subtilis* (□), *B. circulans* (◆), *E. faecium* (●), *S. aureus* (▼), *L. monocytogenes* (▲) and *A. hydrophila* (■)

زمن التخفيض العشري اثناء تعرض الحليب للموجات فوق الصوتية

Table 1. D-values for different powers and times in the ultrasonic treatments

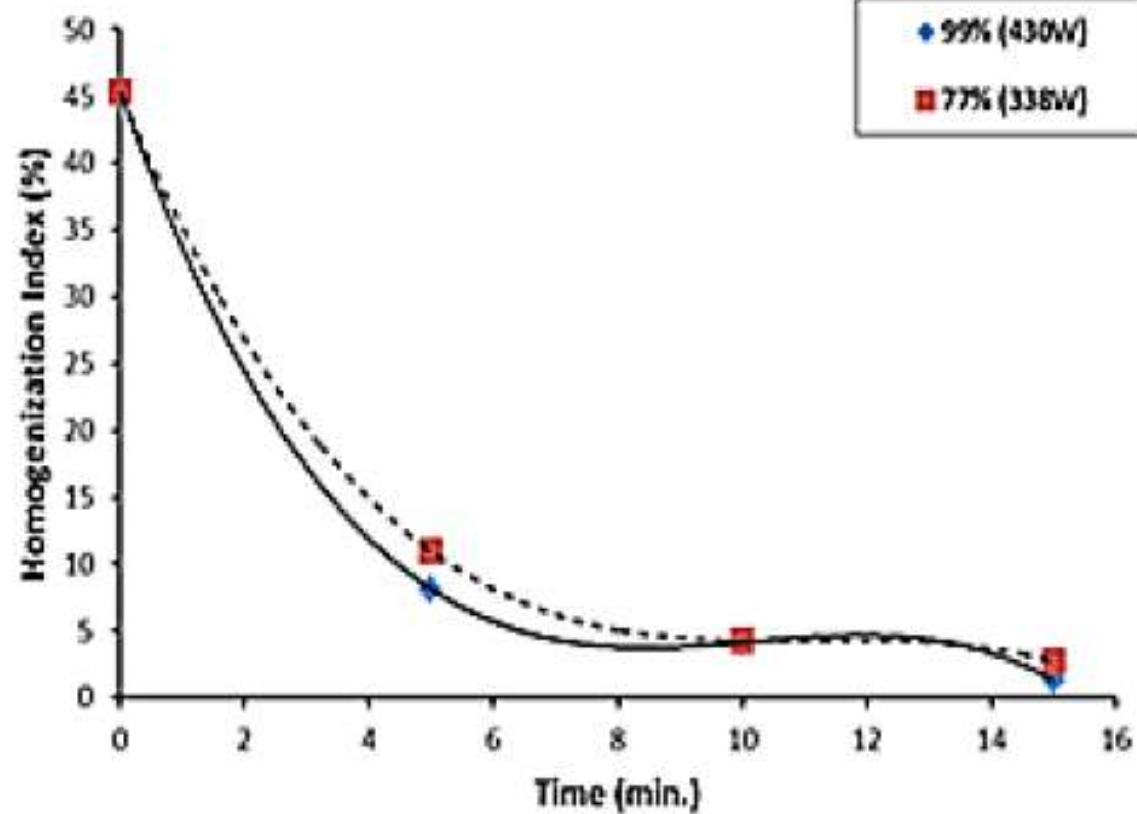
time (min.)	D (min.)	
	77%(338W)	99%(430W)
5	7.63	7.95
10	6.49	4.79
15	5.29	3.75
mean	6.47	5.49

صورة للبن الرائب المعالج بالموجلات فوق الصوتية الحرارية توضح تداخل مكونات اليوكرت مثل تركيب البروتين والحبوب الدهنية بحيث يعطي تجانس أفضل.



إمكانية الموجات فوق الصوتية على تجذيس حليب
الجاموس مع زيادة الوقت والطاقة ، فضلاً عن ذلك
انخفاض لوغاريتم أعداد البكتيريا مع زيادة الوقت
والطاقة مقارنة مع عينة الحليب الخام.

تجزیس الحليب بالموجات فوق الصوتية



المایکروویف Microwave

التخزين بالمايكروويف من التقنيات غير التقليدية وهو عبارة عن موجات كهرومغناطيسية تردداتها بين 300 MHZ-300 GHz والمدى المستخدم في التصنيع هو 2,101 MHz

الضرر الناتج في الاغذية المصنعة بواسطته يكون اقل من الطرق التقليدية و معدل التخزين فيه سريع

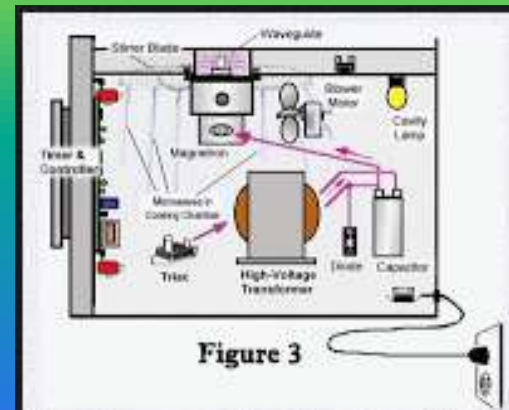
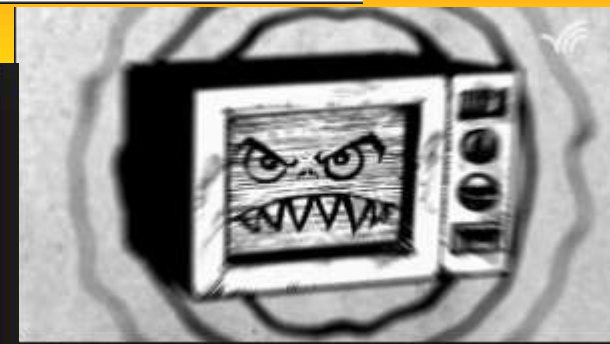
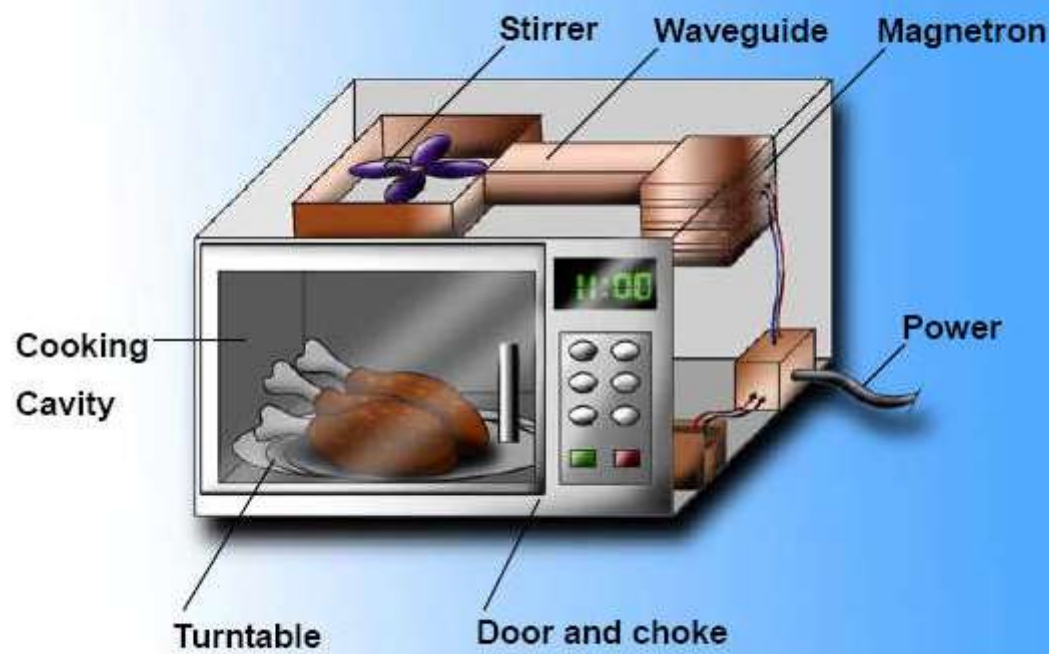
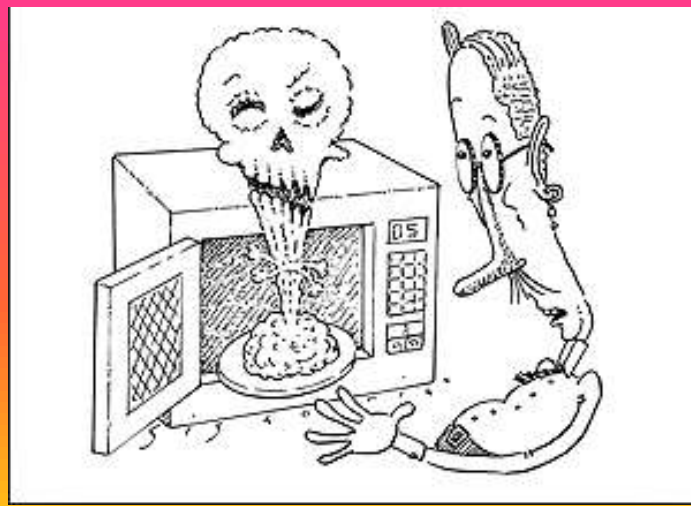
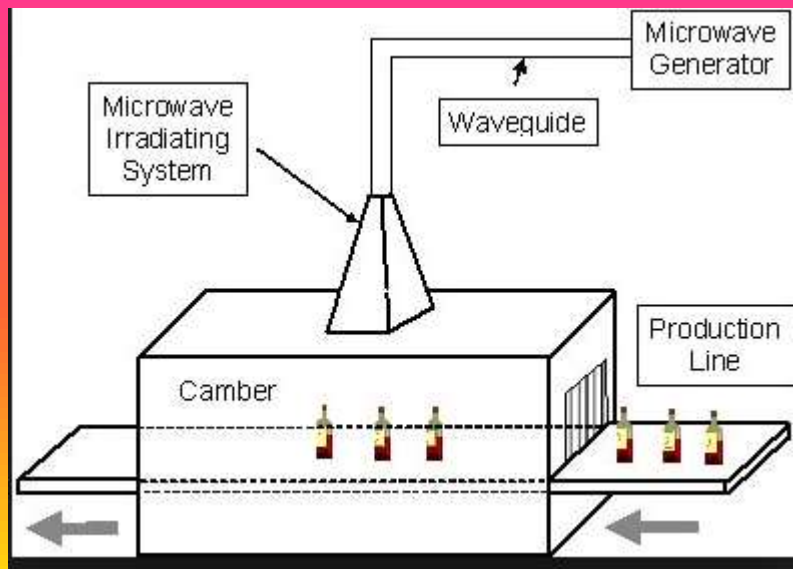
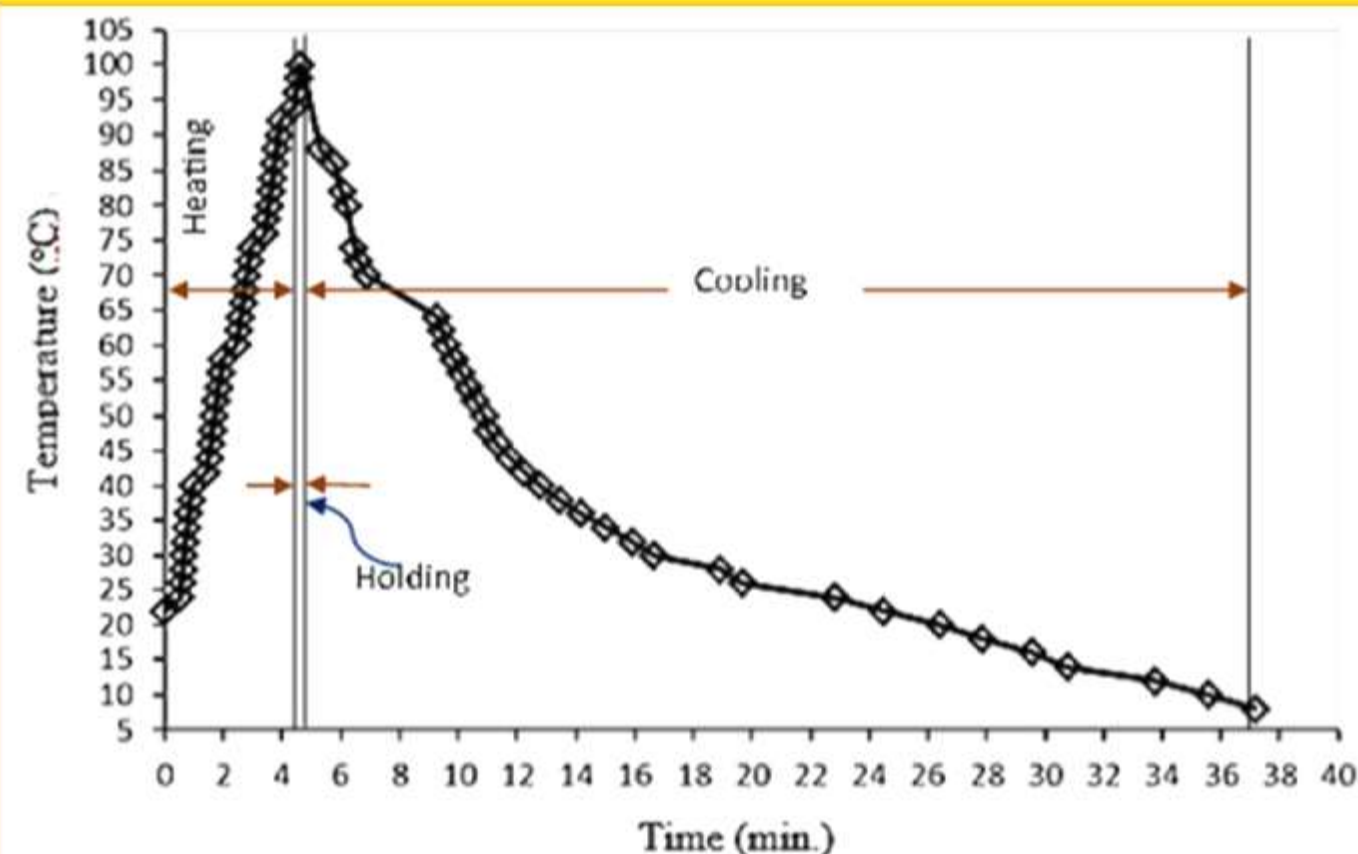


Figure 3

منحنى تسخين الحليب بالمايكرويف و تبريد



. Milk heating curve by microwave and cooling

التبليط المايكروبي بواسطة المايكروويف

| Microorganisms and Alkaline phosphates in the milk before and after microwave flash pasteurization

Microorganisms	Before flash pasteurization	After flash pasteurization
Total count of bacteria	47×10^5 ^a	23×10^1 ^b
<i>E. coli</i>	9 ^a	0 ^b
Alkaline phosphates	+	-

الا ان مشاكله هي عدم التجانس
الحراري ومتطلبات الطاقة فيه عالية
ولا يسبب هلاك بعض انواع الخلايا
البكتيرية مثل الخمائر
ولا يستخدم على نطاق واسع في معامل
الالبان

الضغط الهيدروستاتيكي العالي

High Hydrostatic pressure

وهو تقنية بديلة لانتاج غذاء امن ويمكن حفظه لفتره طويلاً وبنوعية جيدة وبدون مضادات غذائية ومن خلاله يمكن البسترة بدرجة حرارة الغرفة او اقل ولا تحصل تغيرات في القيمة الغذائية والرائحة والطعم والنكهة ويقوم بالقضاء على الاحياء المجهرية وتثبيط السبورات البكتيرية.

يتراوح الضغط ما بين MPa 300-700 (7000 bar) يقوم بتنبيط الخمائير والاعفان والخلايا البكتيرية واغلب الفايروات. انتشرت هذه الطريقة حالياً على نطاق تجاري في العالم. قد تكون البروتينات مدنترة بصورة اختيارية.

لا يسبب ضرر للغذاء المعرض للضغط كون الاخير يتوزع بصورة متجانسة على جميع اجزاء العلبة او المادة الغذائية. تعتبر هذه الطريقة صديقة للبيئة.

الضغط يتوزع بصورة لحضية على جميع اجزاء العلبة وهي ملائمة للاغذية السائلة والصلبة.

تزيد العمر الخزني لليوغرت.

الحصول على منتجات البان (يوغرت) طازجة.

تنتج اجبان امنة مايكروبيا وذات نكهة جيدة وتحسن النسجة وتزيد الحاصل.

تزييل التلوث المايكروبي في علب الحليب وغيرها.

المحددات:

لا يمكن تثبيط السبورات البكتيرية بواسطة الضغط بمفرده.

ملائم لاغلب الاغذية الحامضية.

المنتجات المصنعة بالضغط العالي تحتاج الى تبريد لزيادة العمر الخزني.

العملية تكون على شكل دفعات او شبه دفعات.

تكلفة تصنيع اللتر الواحد من الحليب اعلى منه لو صنع بالمعاملة الحرارية.

تعمل الضغوط الهيدروستاتيكية العالية على إحداث تغيرات مورفولوجية و جينية في الكائنات الحية الدقيقة التي تؤثر بشكل خاص على أغشية وجدران الخلايا مما يسبب زيادة في نفاذية الخلايا وبالتالي يمنع ردود الفعل وإنتاج الطاقة التي تعد ضرورية لنمو وتكاثر الميكروبيات من خلال تغير في طبيعة الإنزيمات (Sangronis *et al.*, 1997; Calderón-
Miranda *et al.*, 1998)

وأشار Rosenthal (1998) و Calderón-Miranda *et al.*, (1998) إلى إمكانية تقنية الضغط العالي على *and Silva*, (1997) تدمير ما يصل إلى $\log_{10} 8$ ومن دون التغير في الصفات الحسية والنوعية للمادة الغذائية

إن عملية التثبيط بواسطة الضغوط الهيدروليكيّة
العاليّة تتوقف على مستوى الضغط والوقت ودرجة
الحرارة ونوع الكائنات الحية الدقيقة ومرحلة نموها
فضلاً عن تركيب الأغذية التي تعتمد بشكل رئيس
على درجة الحموضة والنشاط المائي

تأثير الضغط الهايدروليكي على تثبيط البكتيريا

Table 3.1 High-pressure inactivation (log cfu/ml or g) of *Escherichia coli* O157:H7 inoculated into foods

Food	Treatment	Inactivation	Reference
UHT milk	600 MPa/30 min/20°C	1.5	Patterson et al. (1995)
Poultry		2.5	
UHT milk	400 MPa/15 min/50°C	5.0	Patterson and Kilpatrick (1998)
Poultry		6.0	
Orange juice	550 MPa/5 min/30°C	≥6.0	Linton et al. (1999)
UHT skimmed milk	200 MPa/30 min/10°C	0.3	Linton et al. (2000)

Table 3.2 High-pressure inactivation (log cfu/ml or g) of *Listeria monocytogenes* inoculated into foods

Food	Treatment	Inactivation	Reference
UHT milk	375 MPa/30 min/20°C	1.5	Patterson et al. (1995)
Poultry		5.5	
Pork loin	414 MPa/10 min/25°C	6.0	Ananth et al. (1998)
Beef frankfurter	300 MPa/8 min/15°C	6.0	Lucore et al. (2000)
	500 MPa/3 min/15°C	6.0	
UHT milk	500 MPa/35 min/20°C	8.0	Chen and Hoover (2003)
	500 MPa/1 min/50°C	6.5	
	500 MPa/5 min/50°C	8.0	
Liquid whole egg	400 MPa/5 min/20°C	4.5	Yuste et al. (2003)
Minced chicken		5.0	

Table 3.2. Effect of heat treatment at 85°C, pressure treatment at 200 MPa and 65°C, and CO₂ treatment at 35°C and 30 MPa on the resistance of different *Bacillus* spp. spores

Organism	Treatment	D-value (min)
<i>Geobacillus stearothermophilus</i>	Heat	
	Pressure	75.2
	CO ₂	385.0
<i>Bacillus subtilis</i>	Heat	19.0
	Pressure	9.3
	CO ₂	1667.0
<i>Bacillus coagulans</i>	Heat	9.5
	Pressure	6.9
	CO ₂	164.0
<i>Bacillus cereus</i>	Heat	8.5
	Pressure	6.9
	CO ₂	133.0
<i>Bacillus licheniformis</i>	Heat	7.9
	Pressure	8.5
	CO ₂	182.0

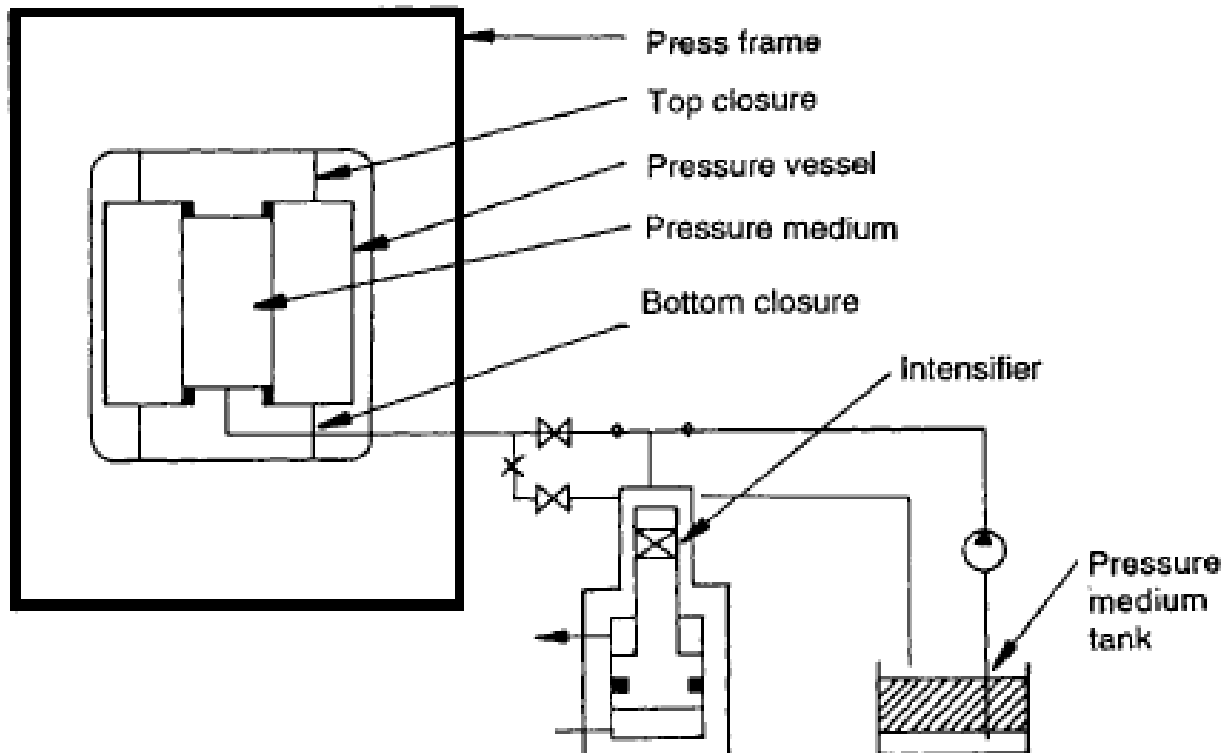
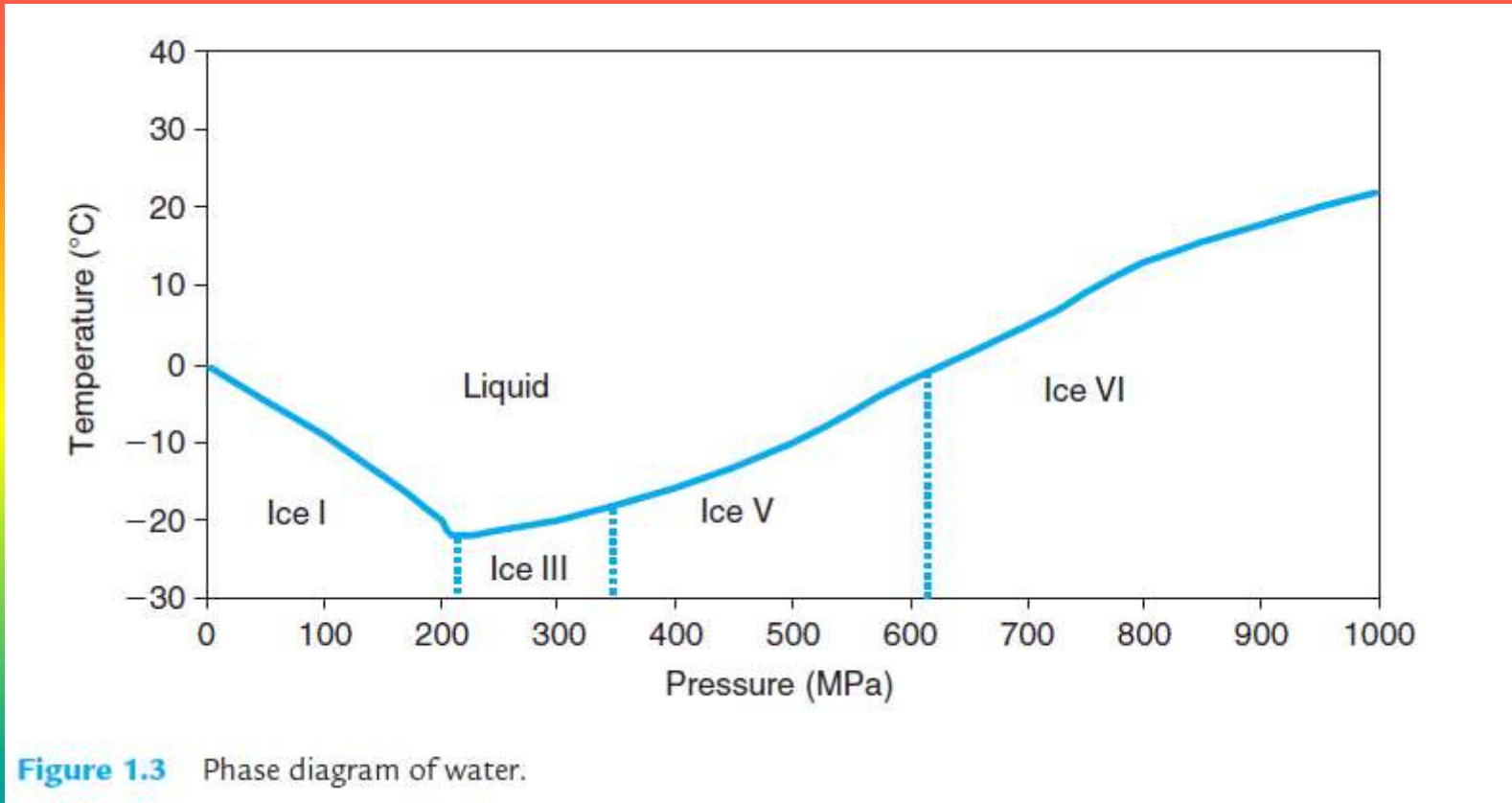


Fig. 9.2 Indirect compression equipment for high pressure processing.
(After Mertens (1995).)

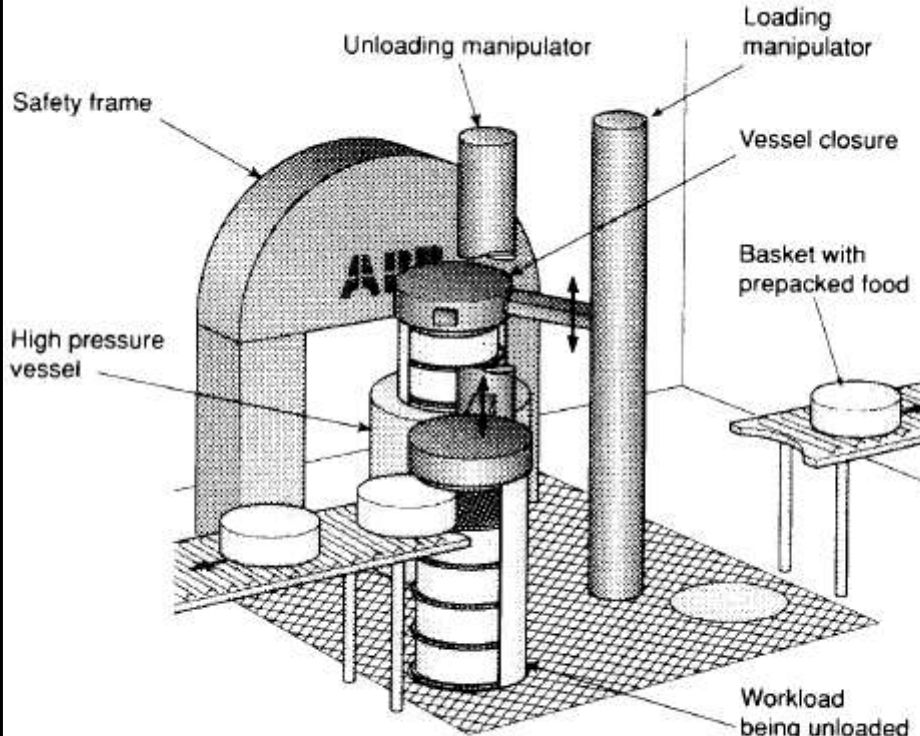








جهاز للتعقيم بالضغط الهيدروستاتيكي

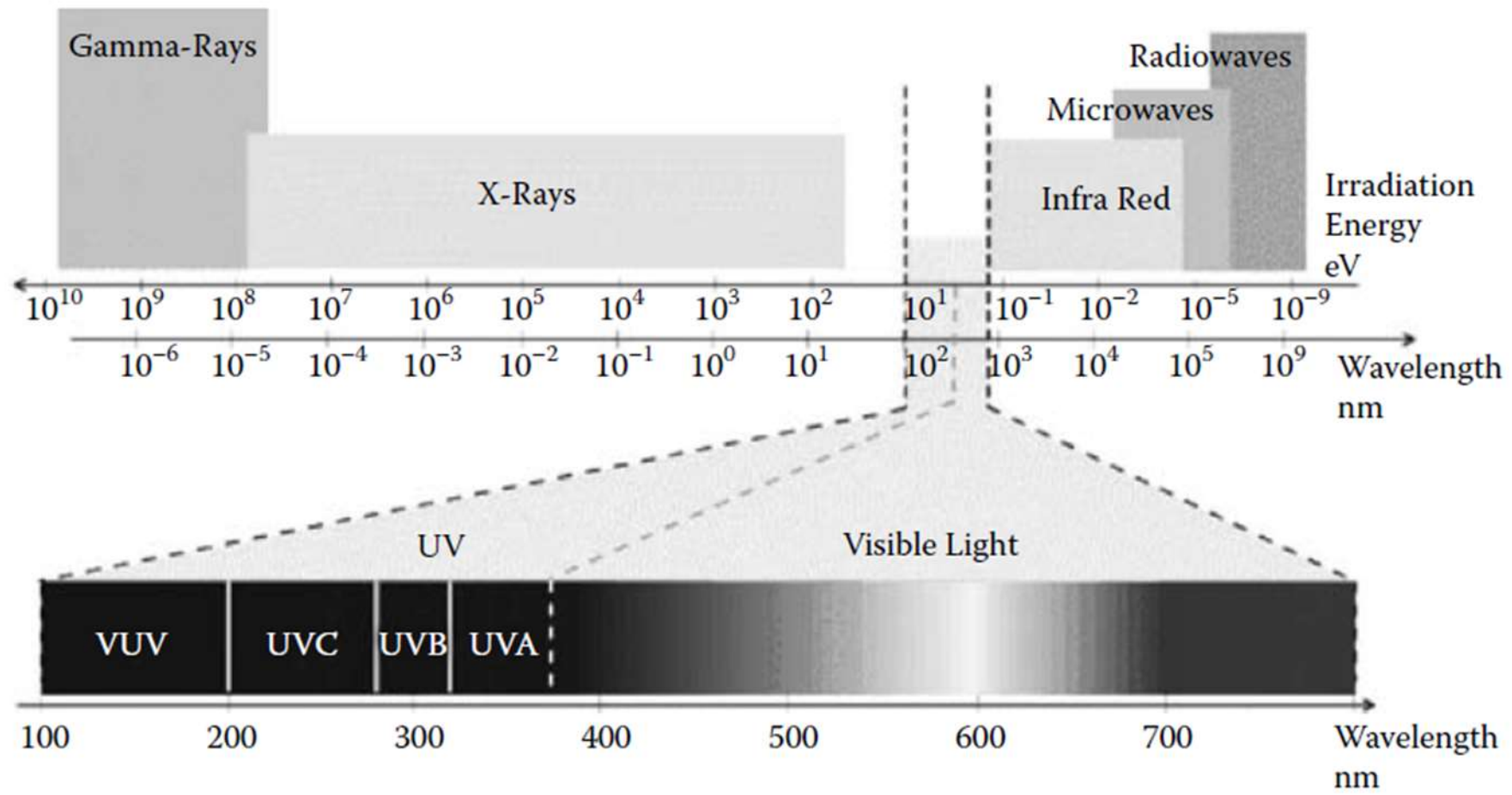


.3 Schematic drawing of a production unit for high pressure treatment at pressures between 400–800 MPa.
(From Olsson (1995).)

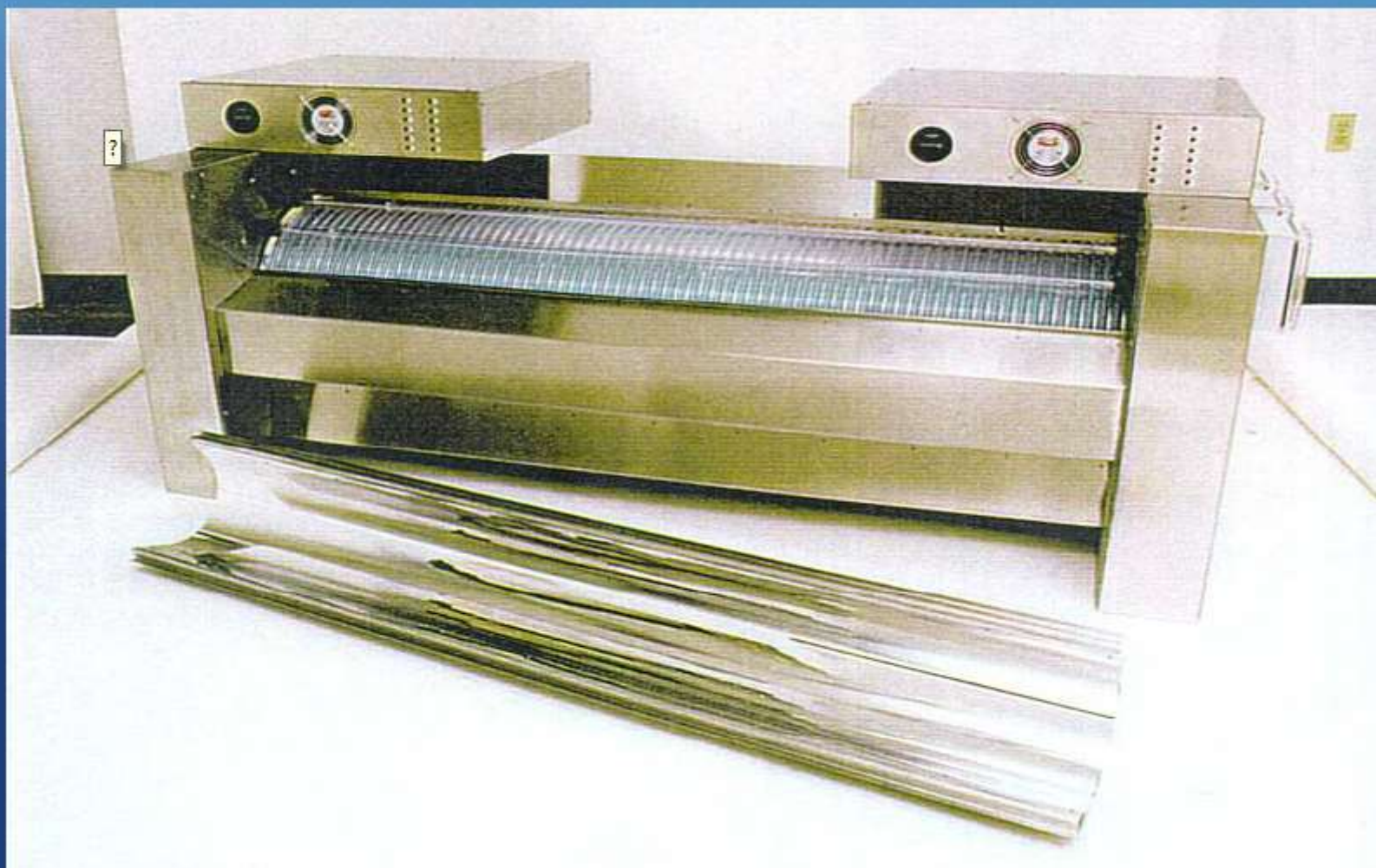
الأشعة فوق البنفسجية UV

تعد الأشعة فوق البنفسجية إحدى التقنيات اللاحarrارية الوااعدة ، فقد وصفت من قبل اللجنة الاستشارية الوطنية على المعايير الميكروبولوجية للأغذية بأنها تقنية قادرة على أن تلبي متطلبات البسترة لكثير من المواد الغذائية والسوائل مثل الماء والحليب وعصائر الفواكه ونجاحها عن طريق الحد من النمو البكتيري (Wright *et al.*, 2000). تتم ميكانيكية التثبيط الميكروبي بأشعة الـ UV عن طريق امتصاص الطاقة من قبل أواصر الكarbon المزدوجة في البروتين والأحماض النووية التي تسبب اختلال في الأيض الخلوي فضلاً عن تكوين الجذور hydroperoxide في الأحماض الدهنية غير المشبعة والتي تتسرب في تغير نفاذية غشاء الخلية (Bintsis *et al.*, 2000)

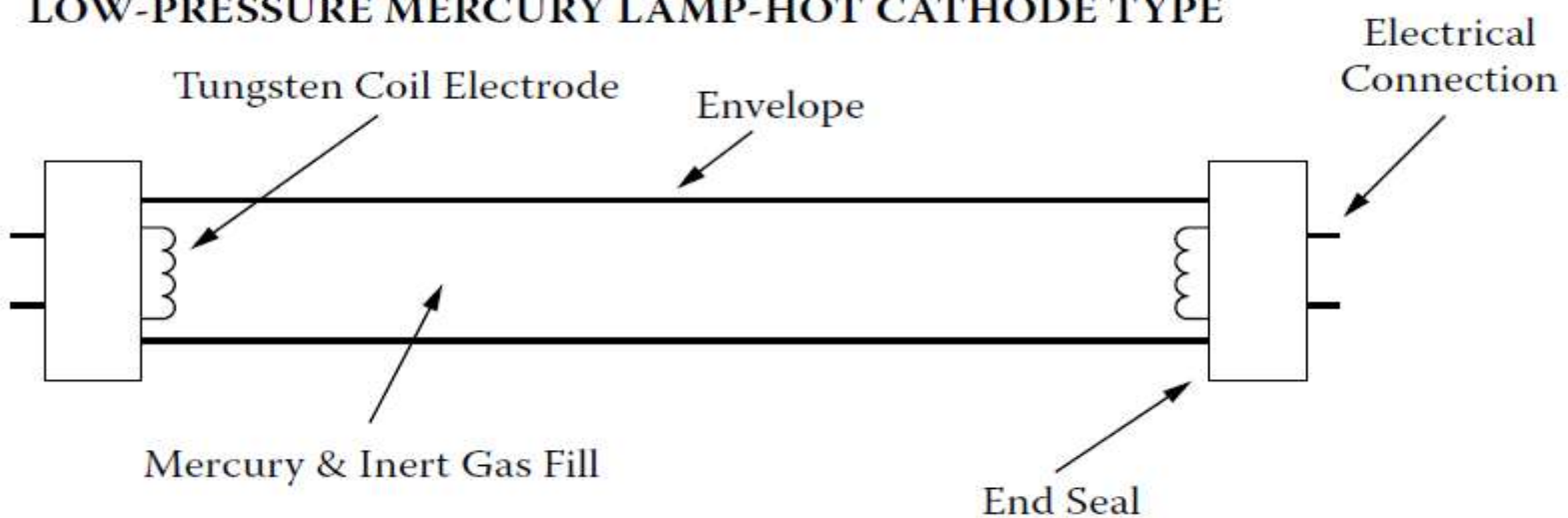
وقد أعطت إدارة الأغذية والعقاقير (FDA) Food and Drug (FDA) موافقة السوق على استخدام الأشعة فوق البنفسجية على علاج الماء والغذاء وتحت ظروف معينة (CFR, 2005). وأشار (Koutchma, 2009) إلى أن الأشعة فوق البنفسجية هي من أهم الوسائل اللاحارية التي يمكن استخدامها في بسترة المواد الغذائية وتعرف على أنها ذلك المجال من الطيف الكهرومغناطيسي بين الأشعة السينية x-ray والمجال المرئي، حيث إن للأشعة فوق البنفسجية ثلاثة مناطق من الطيف الكهرومغناطيسي وهي UV-C (200–280 nm)، UV-B (280–315 nm)، UV-A (315–400 nm) وتعتبر منطقة UV-C هي المنطقة المستخدمة في التثبيط الميكروبي.



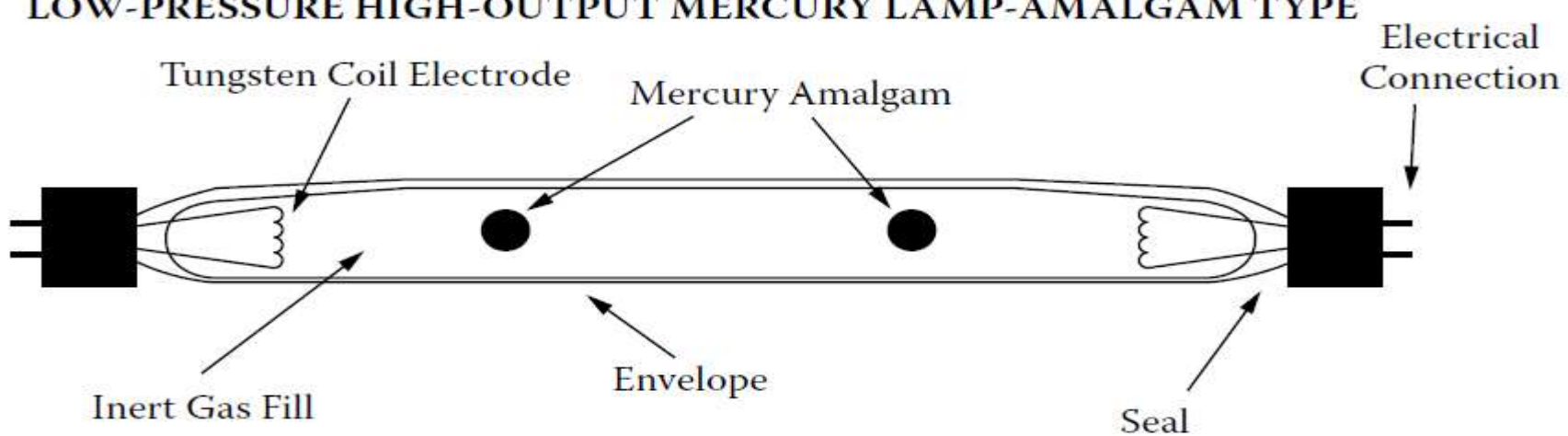
- Continuous Ultraviolet System at Food Science Australia

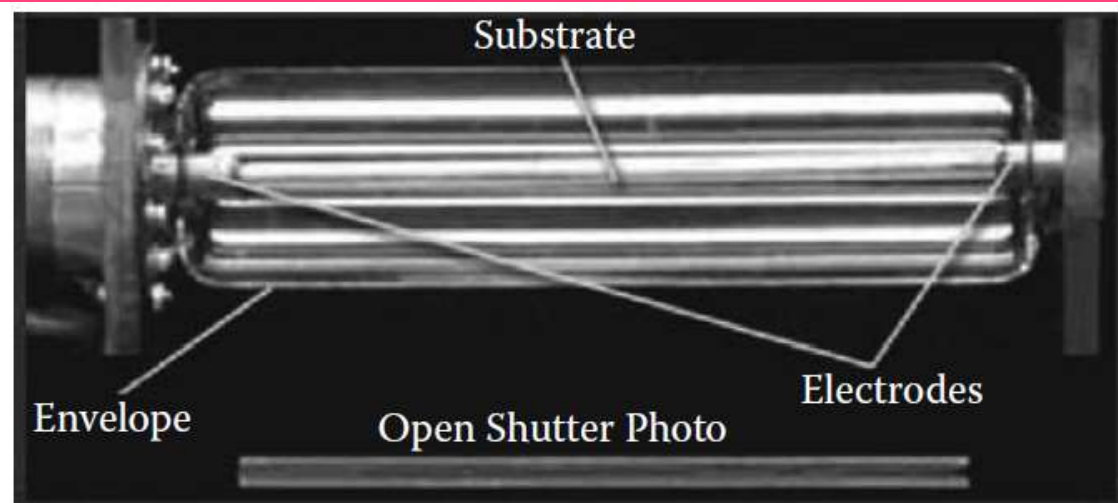


LOW-PRESSURE MERCURY LAMP-HOT CATHODE TYPE

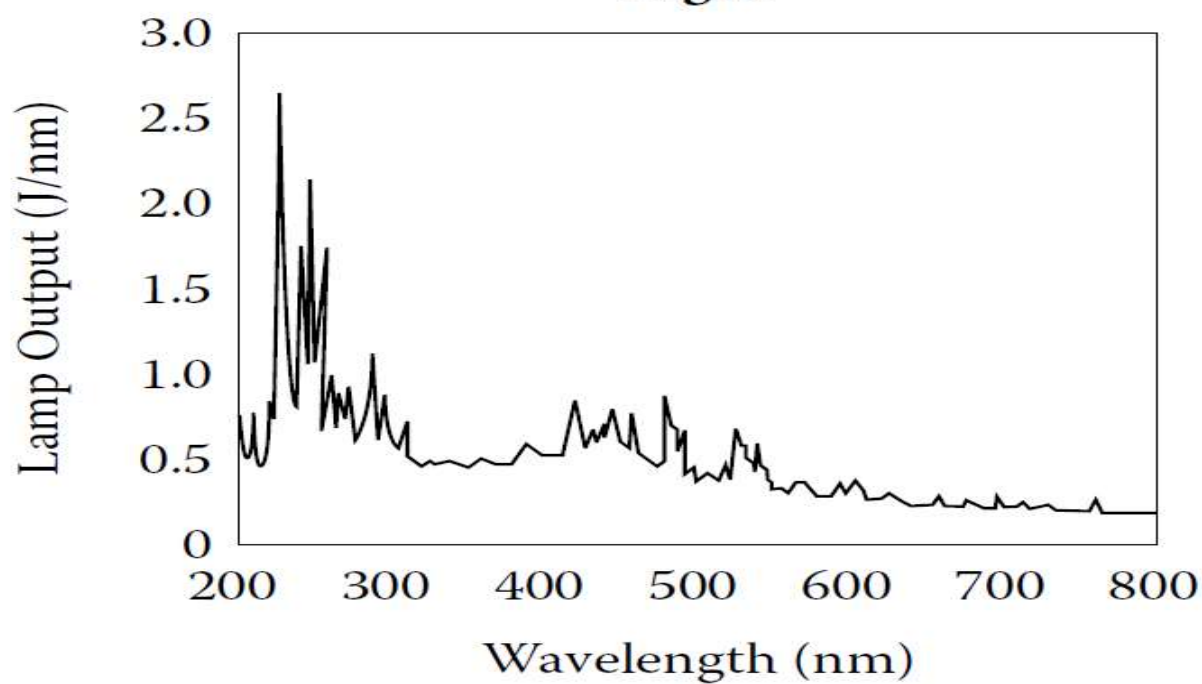


LOW-PRESSURE HIGH-OUTPUT MERCURY LAMP-AMALGAM TYPE

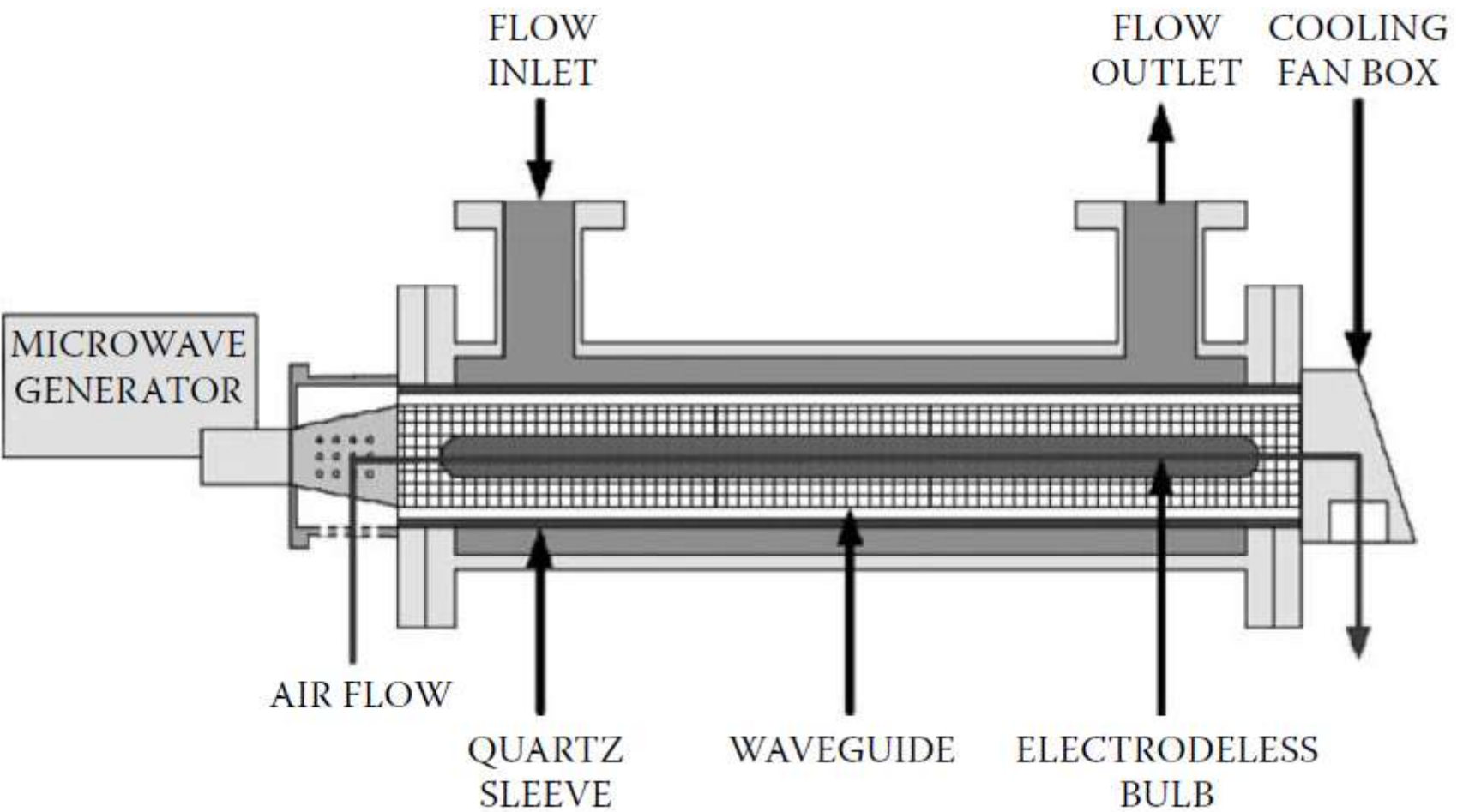




Pulsed electric discharge generates “light
Light



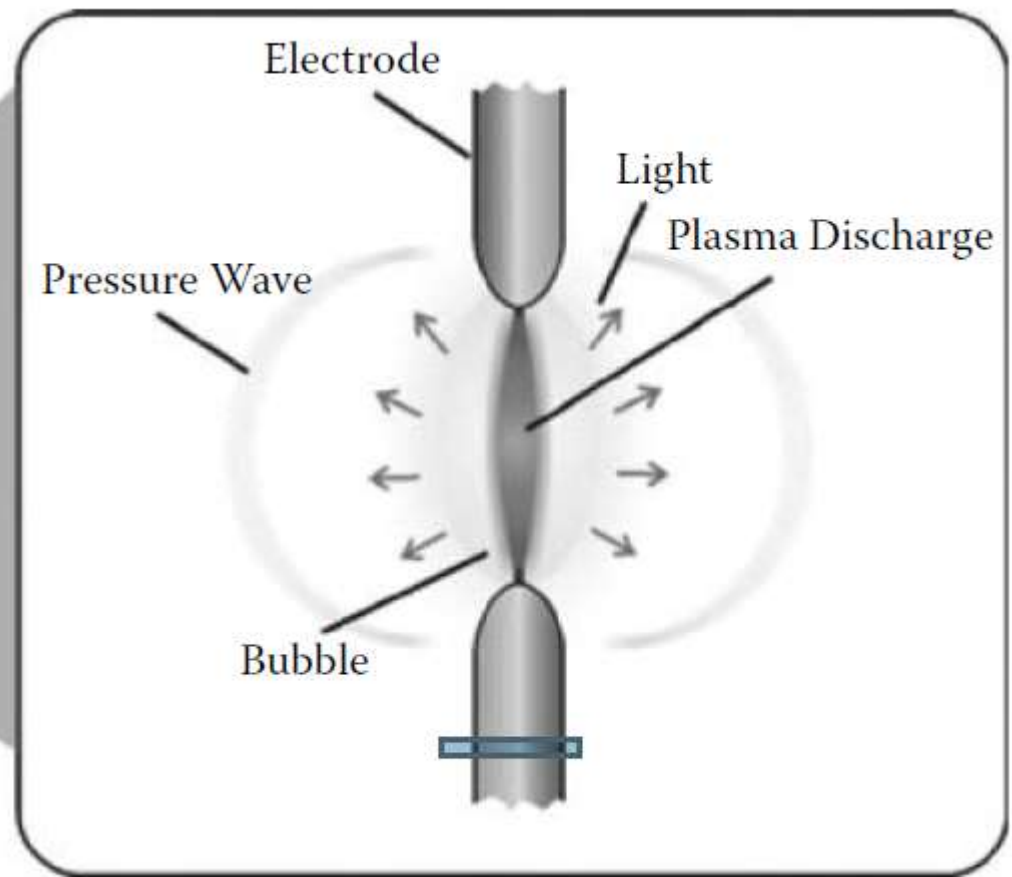
MICROWAVE UV LAMPS

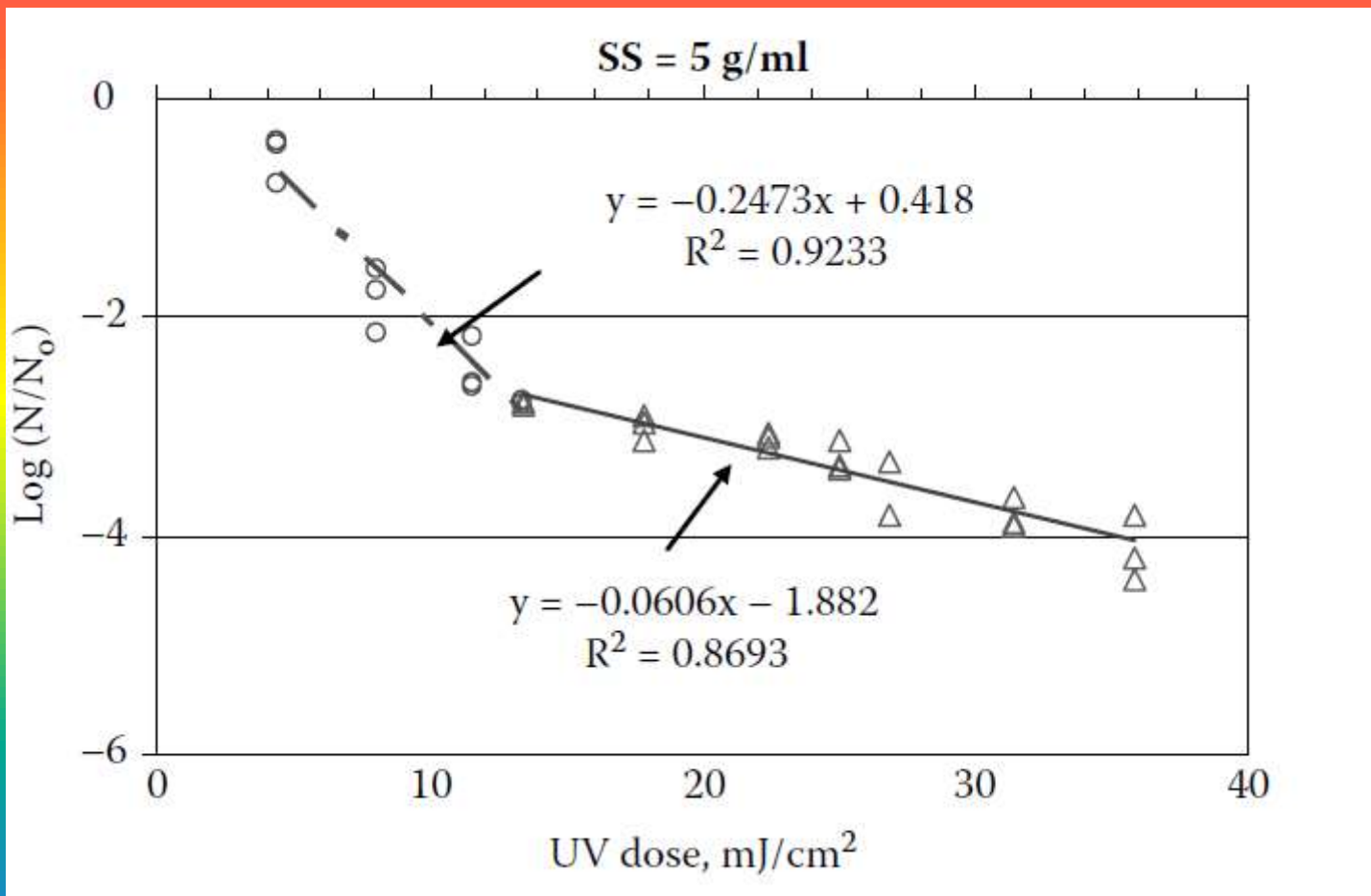


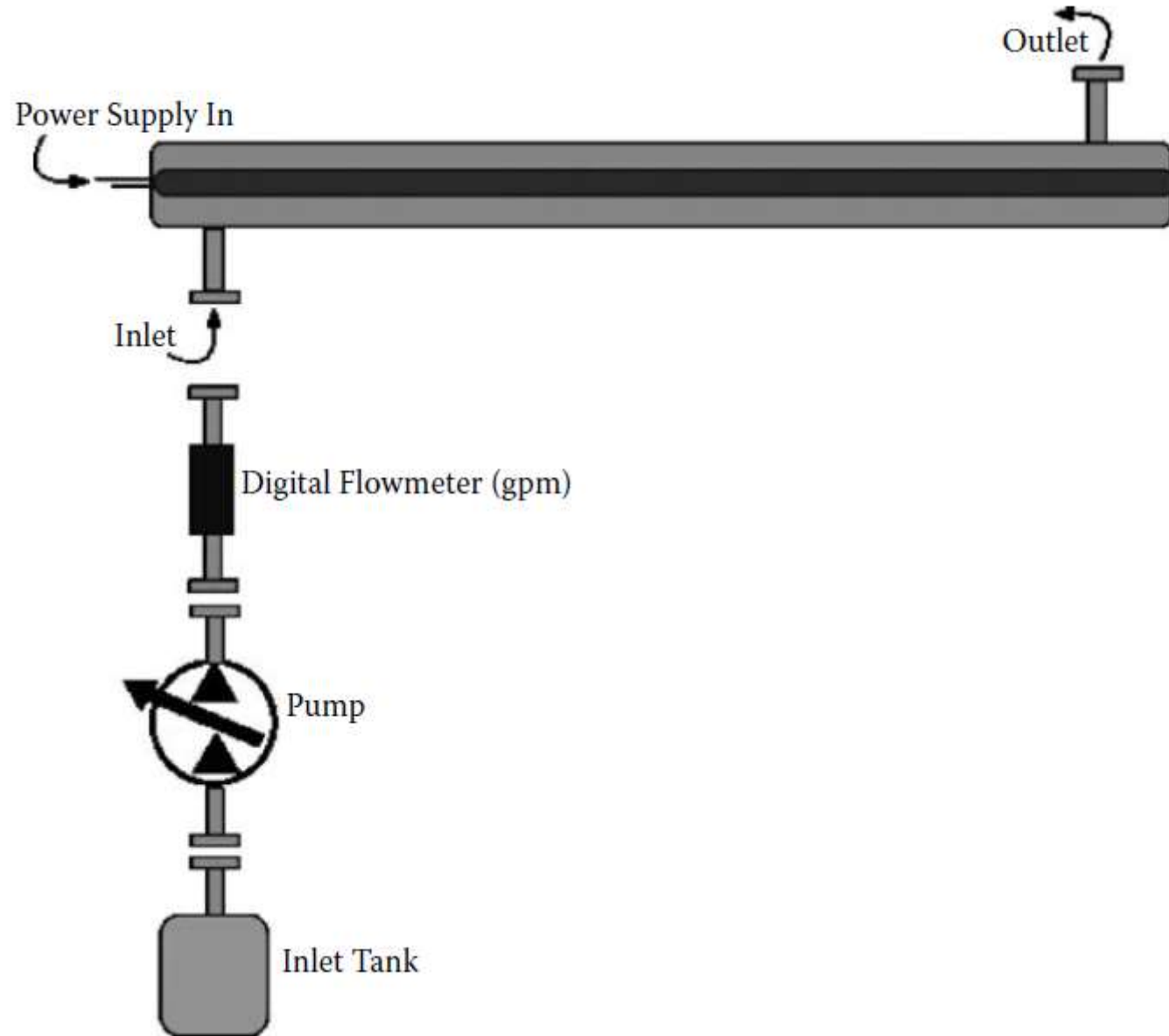
Efficiency Comparison for Mercury Lamps, Flash Lamp, Surface Discharge, and Sparker

Lamp	UV Efficiency (%)	UV Intensity (W/cm ²)	Dose for Virus Inactivation (mJ/cm ²)	Pressure Pulse (psi)
LPM	38	0.01	150	None
MPM	12	12	48	None
Flash lamp	9	600	n.d.	None
Surface discharge ^a	17	30,000	22	None
Sparker ^a	7	100,000	n.d.	100

Conceptual design of the sparker.





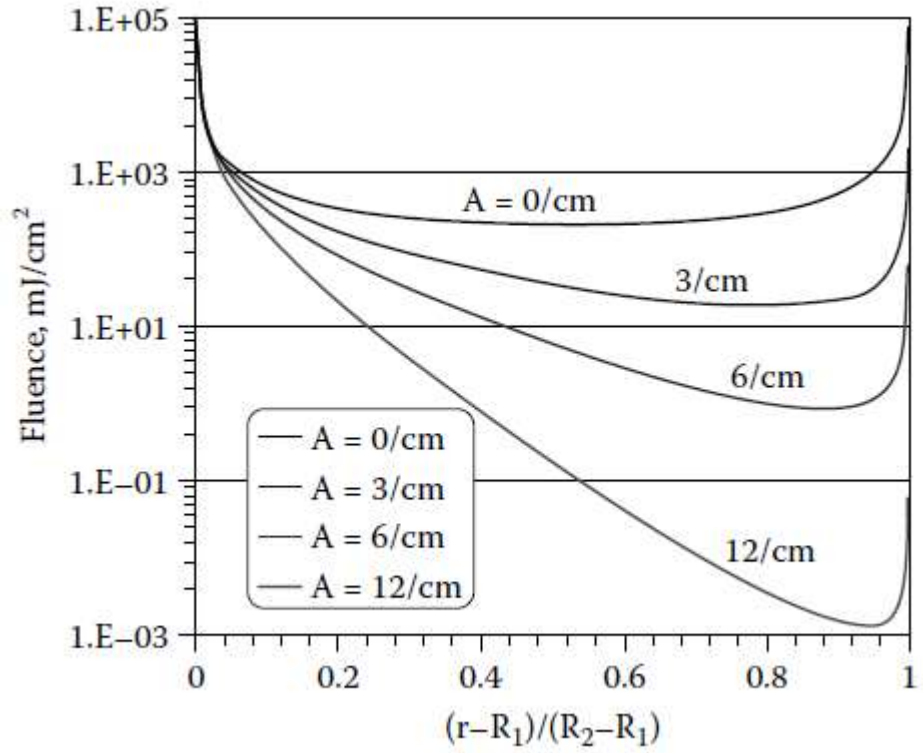
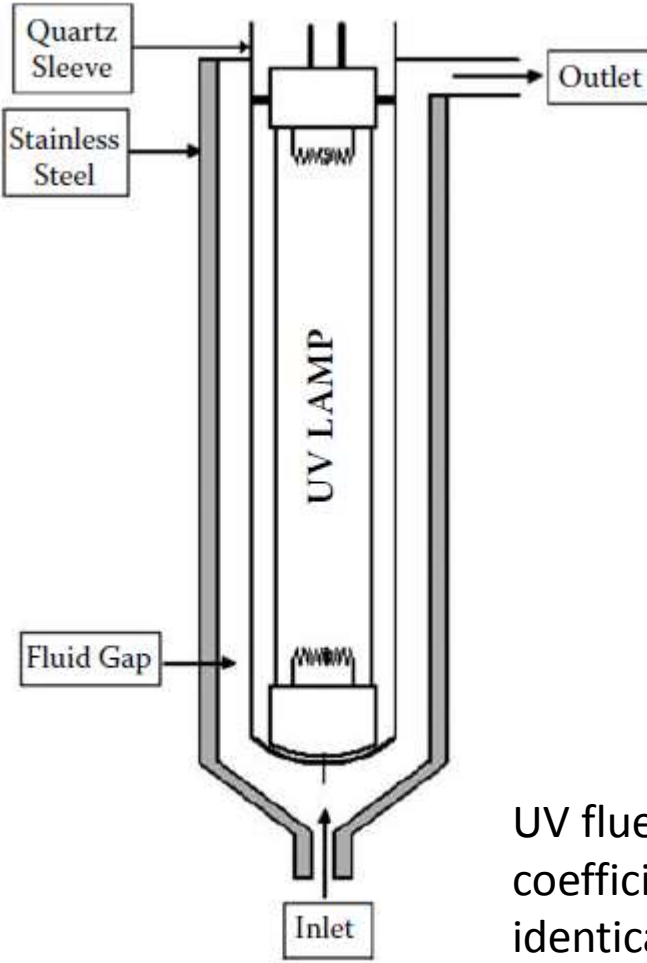


تأثير اشعة UV على نوعية الحليب

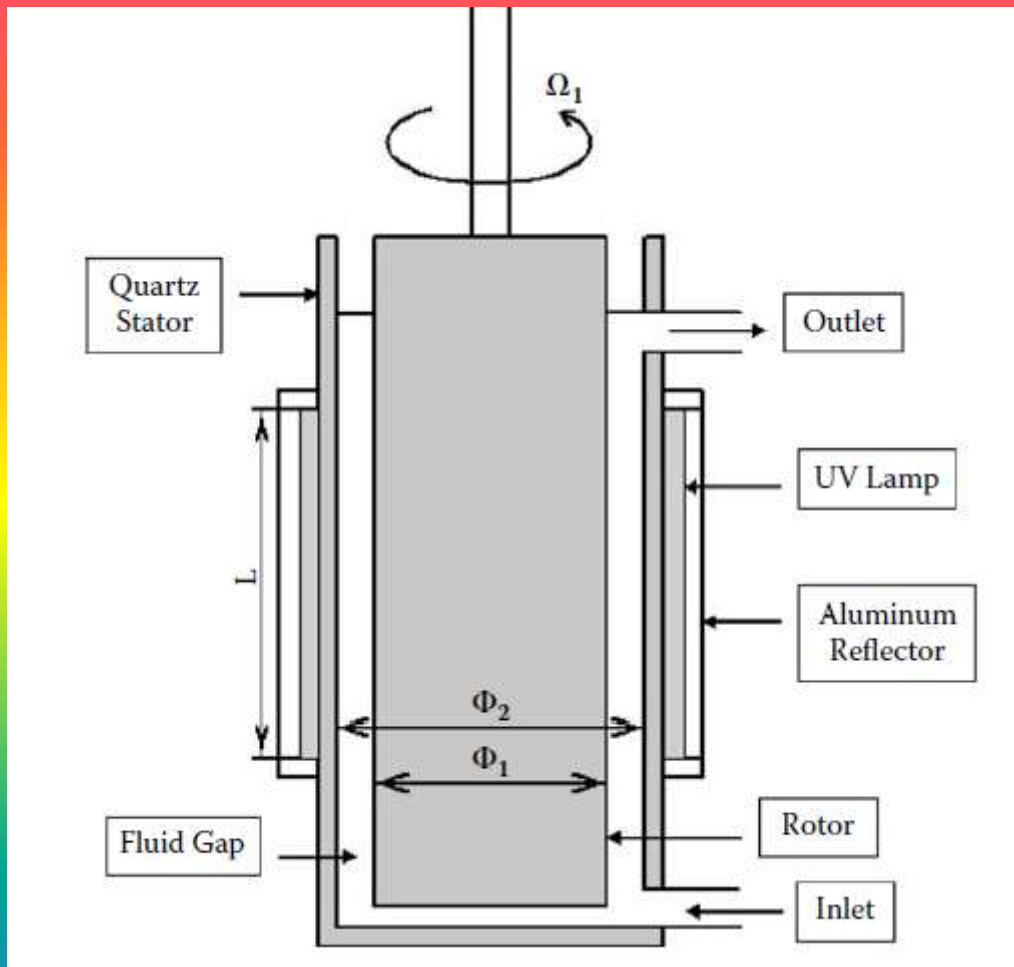
الحليب ومنتجاته حساسة بشدة الى الضوء ويفقد نوعيته اذا وضع في عبوات شفافة ويفقد نكهته ويحصل ما يسمى بالبروتين المحروق "burnt protein," والملفوف (Spikes cabbage" 1981.).

وكذلك تحصا اكسدة للاحماض الدهنية غير المشبعة ولهذا فان استخدام اطوال موجية قصيرة من اشعة UV لانتاج فيتامين D وان الاخير لا يعمل على تقليل تركيز الكاروتينات في الحليب وفيتامين A والثيامين والرايبوفلافين.

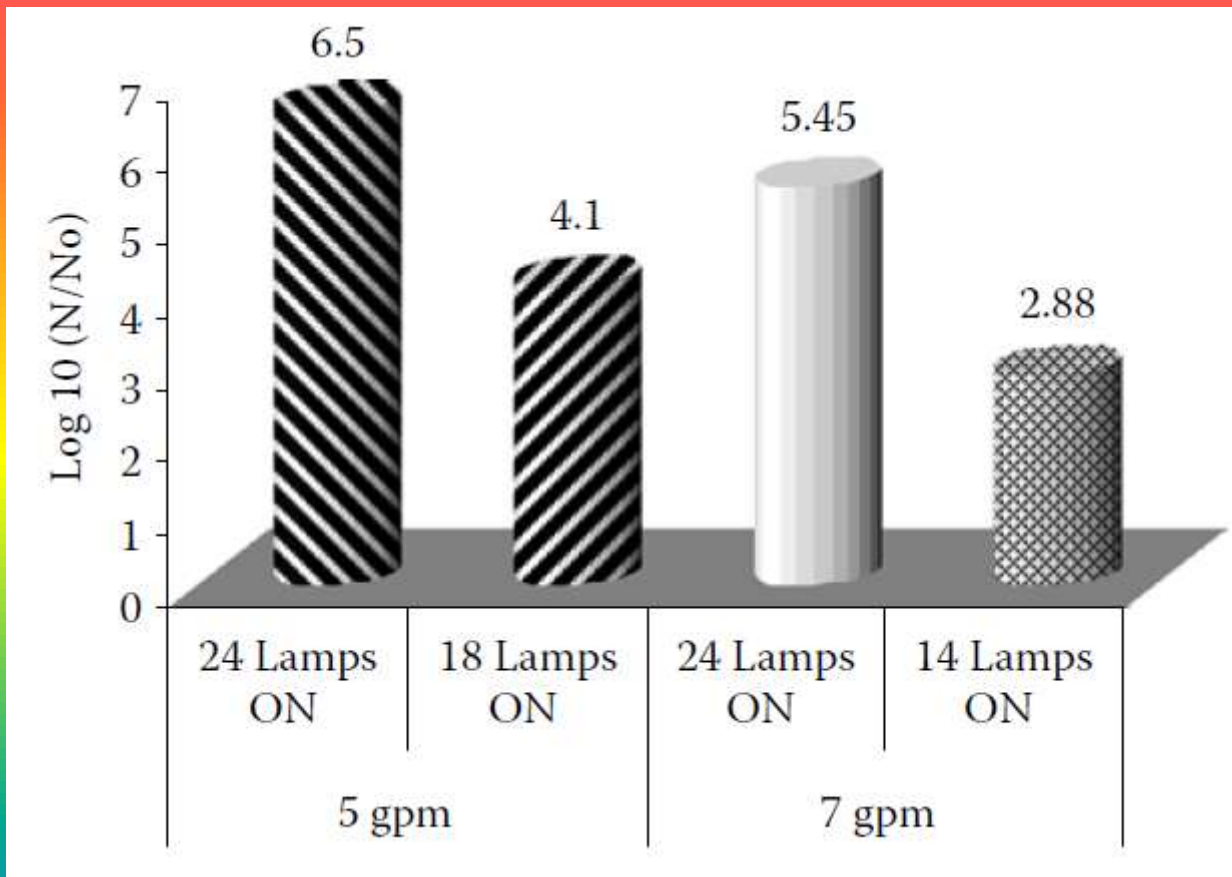
وجد باحثون انه عند معاملة حليب الماعز علبة 254 nm انتج تغيرات في الخواص الحسية والكيميائية للحليب.



UV fluence profile in laminar flow with different absorption coefficients and $Q = 12 \text{ mL/s}$. Vertical order in caption is identical to line position on graph. (From Ye 2007. With permission.)



Schematic of a Taylor–Couette UV reactor.
(From Ye 2007. With permission.)



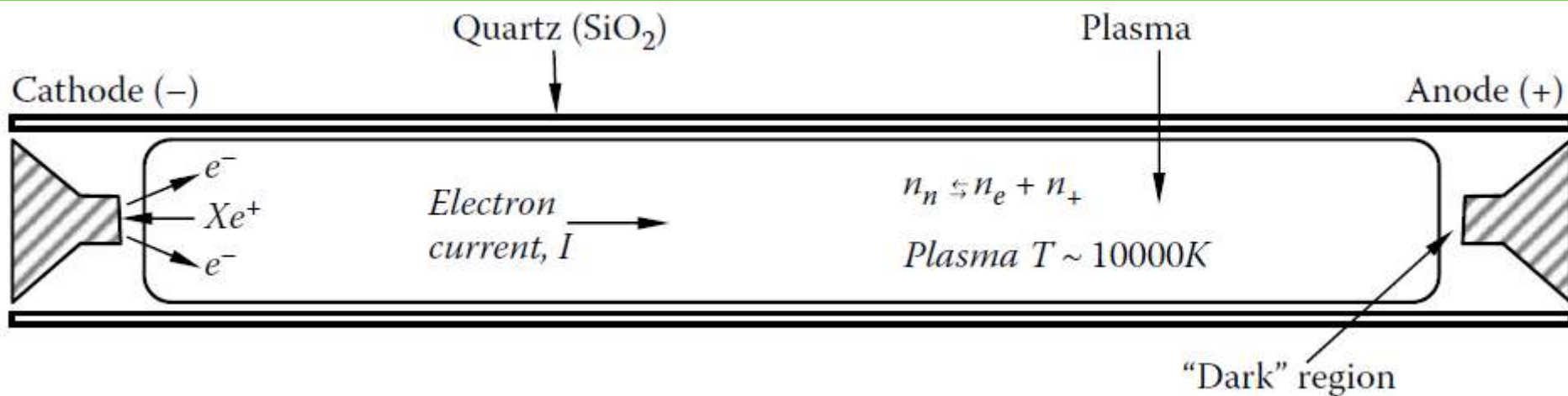
Effect of output power (24, 18, and 14 UV lamps “on”) and flow rate on inactivation of *E. coli* K12 in 0.2% model caramel solution

المعاملة بالضوء الومضي

Pulsed-Light Treatment

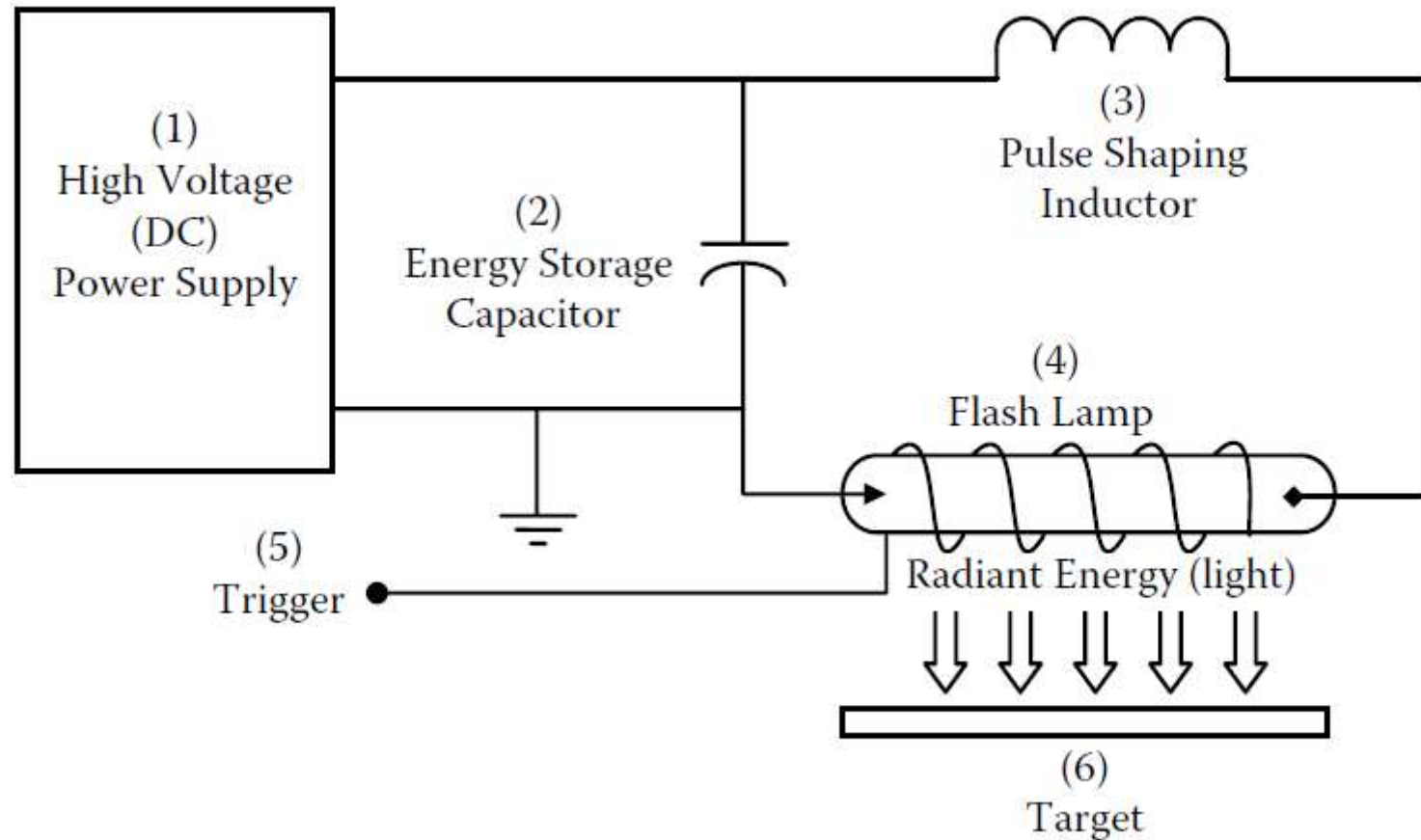
وهي من التقنيات الحديثة للقضاء على الاحياء المجهرية المرضية والمسببة للتلف في الاغذية وهو يقضي على الاحياء المجهرية المتواجدة على سطح الاغذية. وتم العملية بتوجيه ومضات قصيرة ذات قدرة عالية على الغذاء للقضاء على البكتيريا والخمائر والفايروسات.

فترة الومضة تتراوح بين $1 \mu\text{s}$ to 0.1 s ($160\text{--}380 \text{ nm}$)



منظومة الضوء الومضي عالي الشدة

high-intensity pulsed-light system



Published Data for the Inactivation of Microorganisms in Liquid Substrates by Pulsed Light

Treated Substrate	Microorganism	Dose (fluence) (J/cm ²)	Fluence/ pulse (J/cm ²)	No. Pulses	Distance to Lamp (mm)	Inoculum (log CFU/ mL)	Reduction (log CFU/ mL)	Source
Apple cider	<i>Escherichia coli</i>	11.7	n.d.	n.d.	50.8	n.d.	5.5	Sauer and Moraru (2007)
Apple juice	<i>Escherichia coli</i>	8.8	n.d.	n.d.	50.8	n.d.	>7	Sauer and Moraru (2007)
Butterfield phosphate buffer	<i>Listeria innocua</i>	13.3	n.d.	12	50.8	7.45	6.04	Uesugi et al. (2007)
Milk	<i>Serratia marcescens</i>	25.1	n.d.	n.d.	n.d.	4.4	>2.0	Smith et al. (2002)
Phosphate buffer	<i>Staphylococcus aureus</i>	84	5.6	15	80	7–8	7.5	Krishnamurthy et al. (2004)
Potassium phosphate buffer	<i>Saccharomyces cerevisiae</i>	n.d.	0.7	5	n.d.	6.8	5.8	Takeshita et al. (2003)
Water	Bacteriophage MS-2	n.d.	0.25	2	n.d.	4.3	>4.3	Huffman et al. (2000)
Water	Bacteriophage PRD-1	n.d.	0.25	2	n.d.	5.8	4.8	Huffman et al. (2000)
Water	<i>Cryptosporidium parvum</i>	n.d.	0.25	2	n.d.	5.6	4.2	Huffman et al. (2000)
Water	<i>Klebsiella terrigena</i>	n.d.	0.25	2	n.d.	5.5	>7.4	Huffman et al. (2000)
Water	Poliovirus type 1	n.d.	0.25	2	n.d.	4.6	4.1	Huffman et al. (2000)
Water	Rotavirus SA11	n.d.	0.25	2	n.d.	5.1	4.1	Huffman et al. (2000)

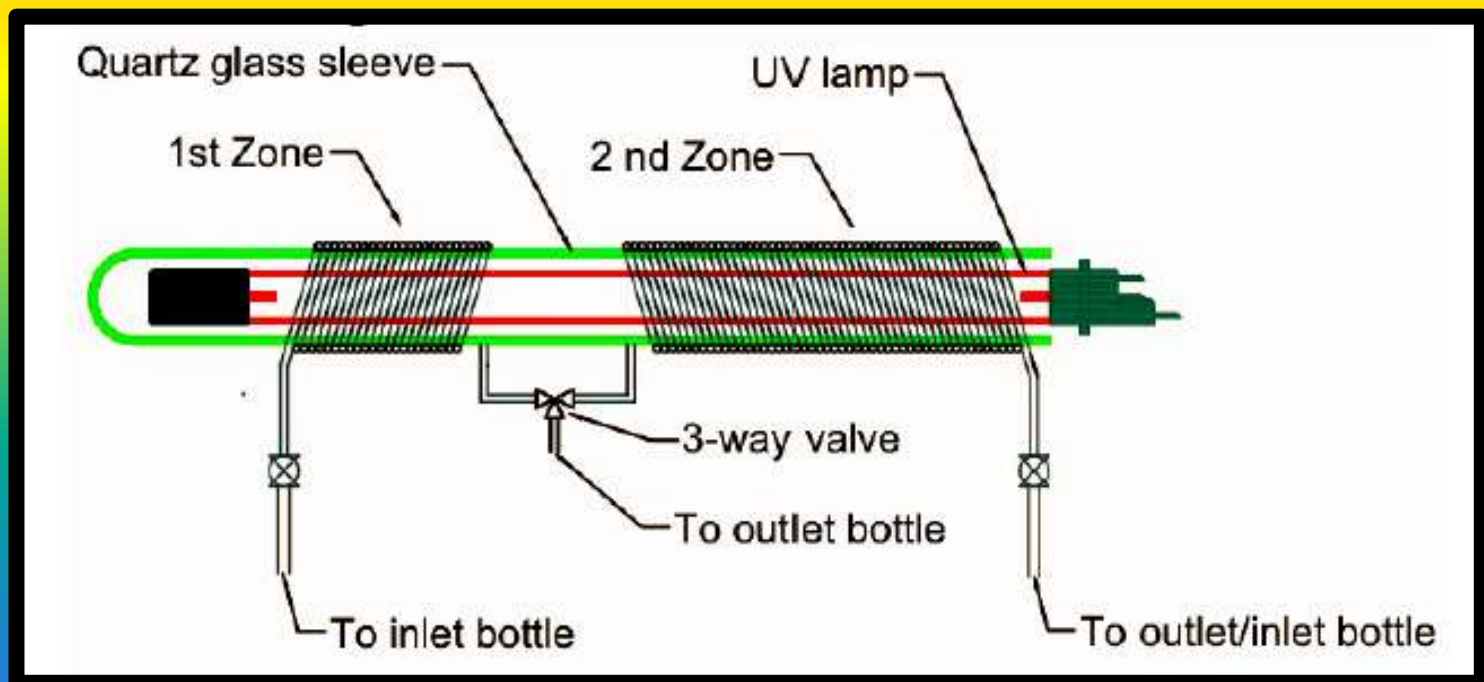
Note: n.d. = no data available.

النشاط الانزيمي لا يتأثر باشعة UV

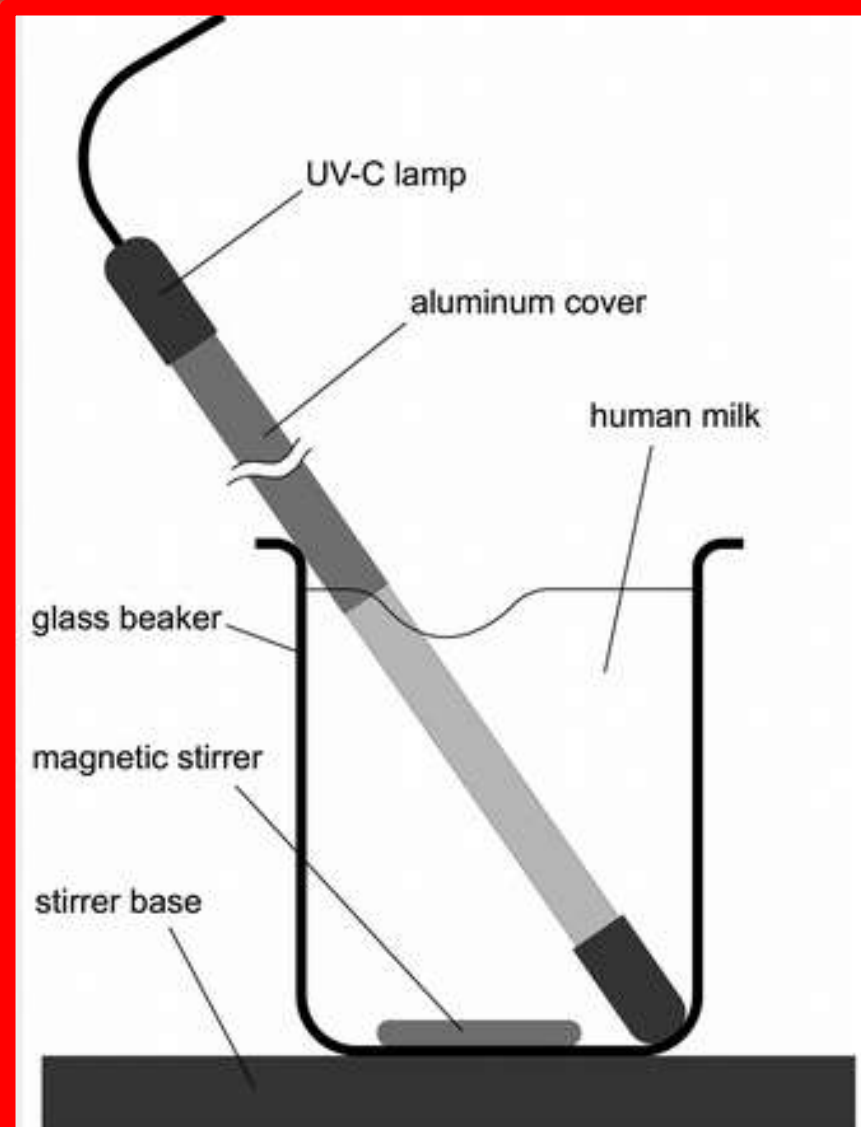
محددات اشعة UV

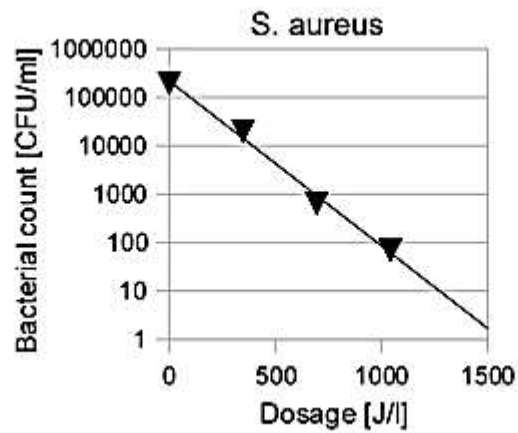
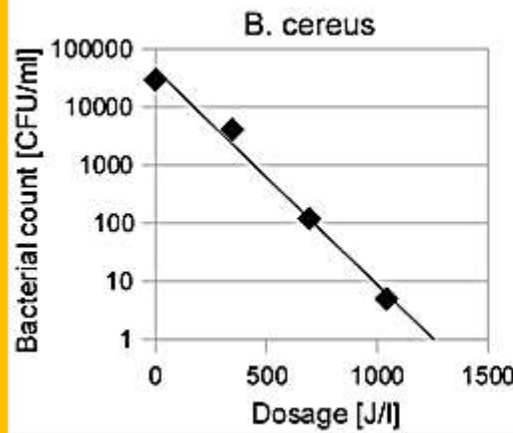
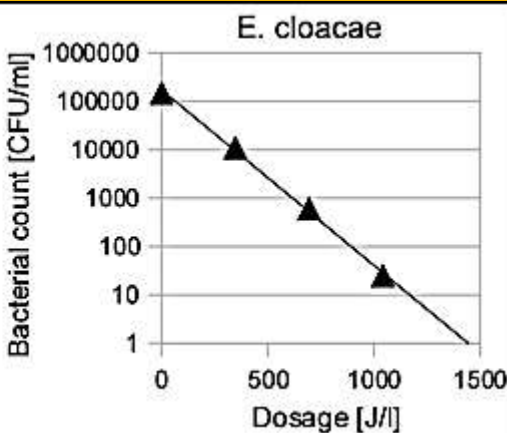
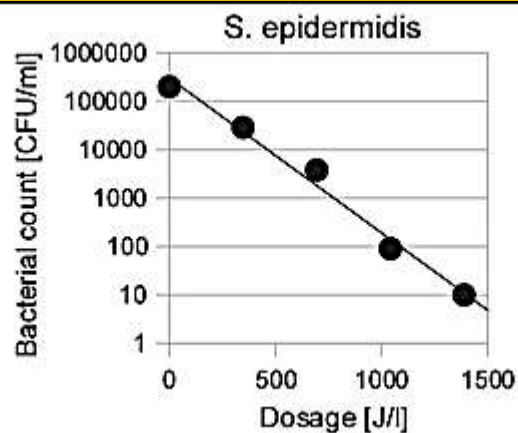
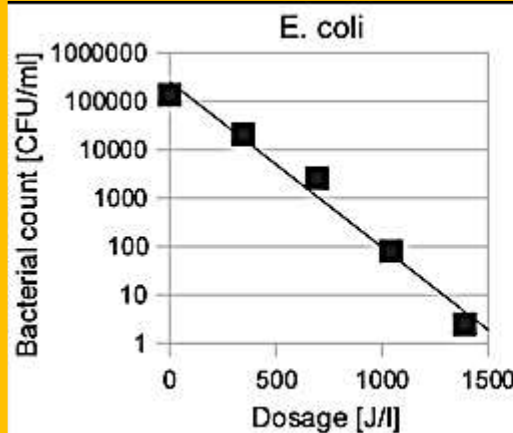
الخمائر والاعفان تتأثر بصورة قليلة بUV
يكون الغذاء غير مرغوب به نتيجة التفاعلات
الكيميائية الجانبية وهذه تعتمد على جزيئات
المنتج والطول الموجي وتوفر الاوكسجين
شدة الشمعة تنخفض مع الزمن
التصاق المادة السائلة بجدران الجهاز مما يضعف
الطاقة المارة الى المادة.

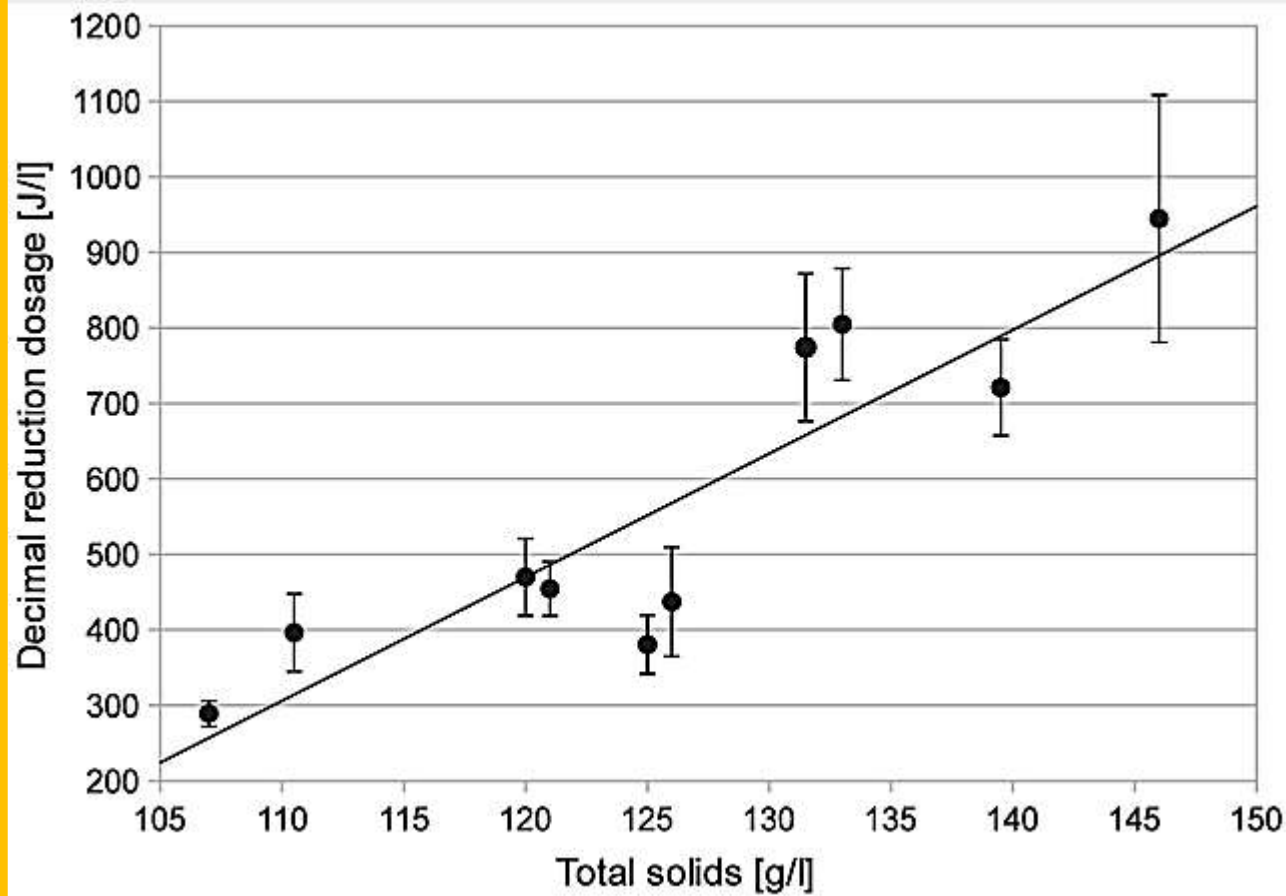
بسترة الحليب باشعة UV حيث يمر الحليب
بواسطة أنبوب شفاف ملفوف حول شمعة لتوليد
أشعة UV فيدور الحليب حول الاشعة ويعرض لها
ويتم القضاء على الاحياء المجهرية.



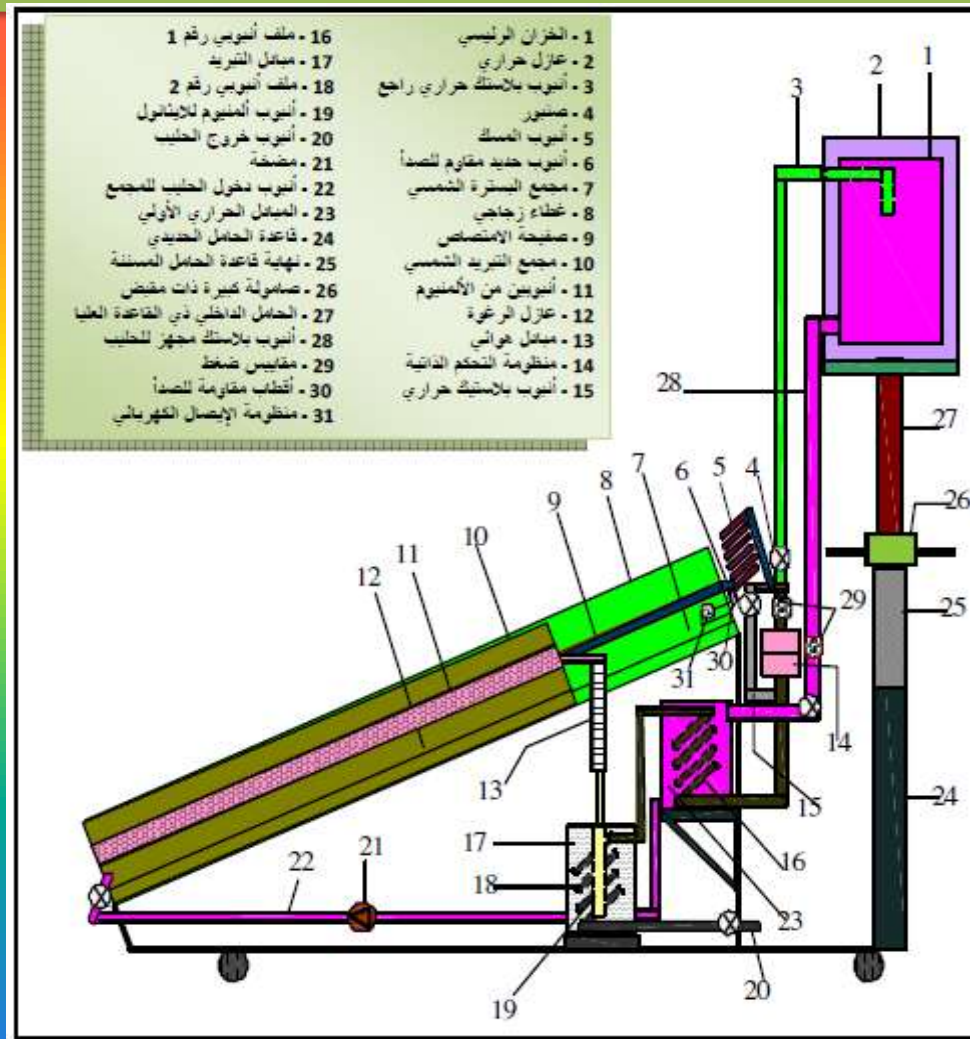
البُسْرَةُ عَلَى دُفَعَاتٍ بِأشْعَةِ uv





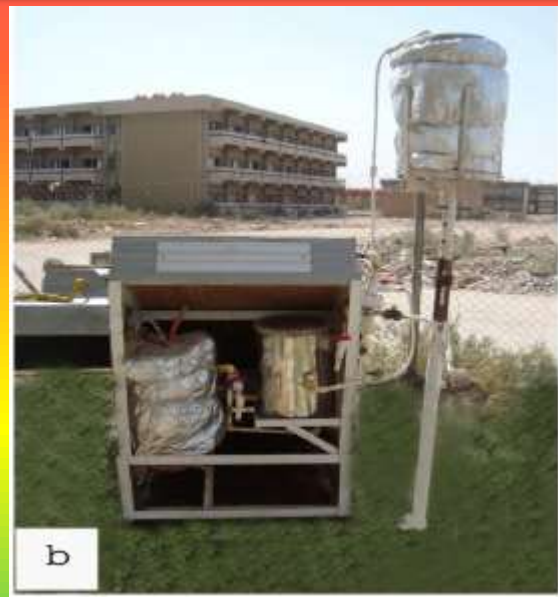


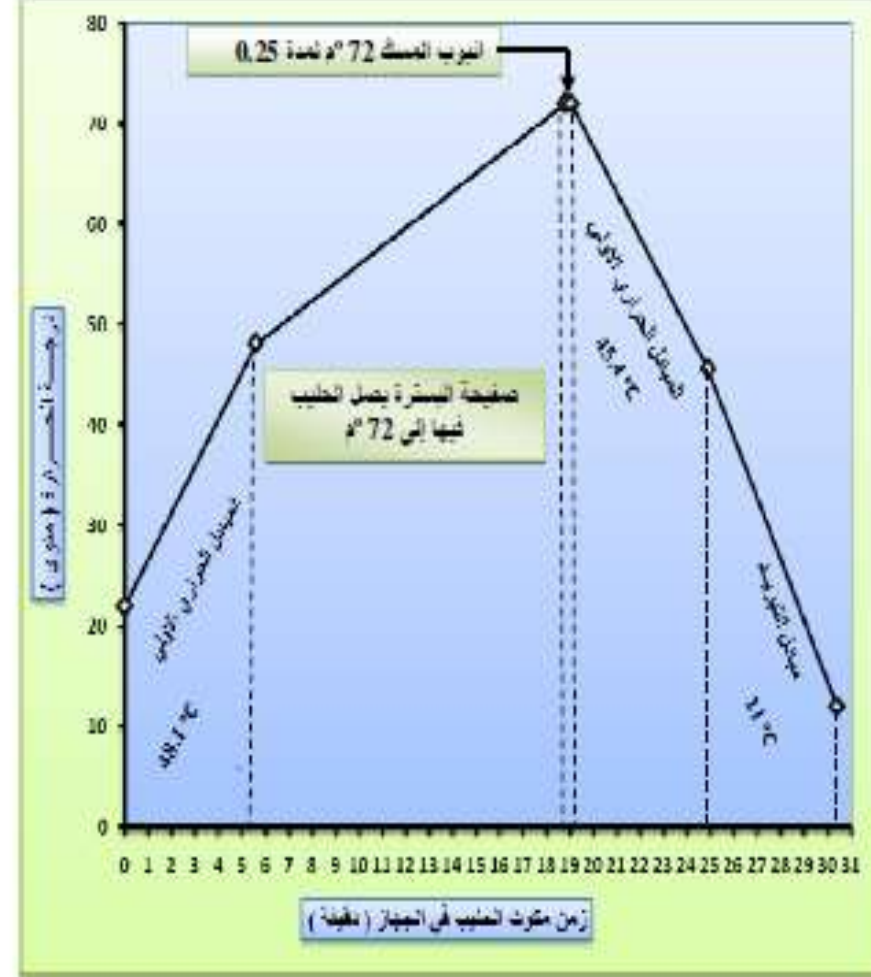
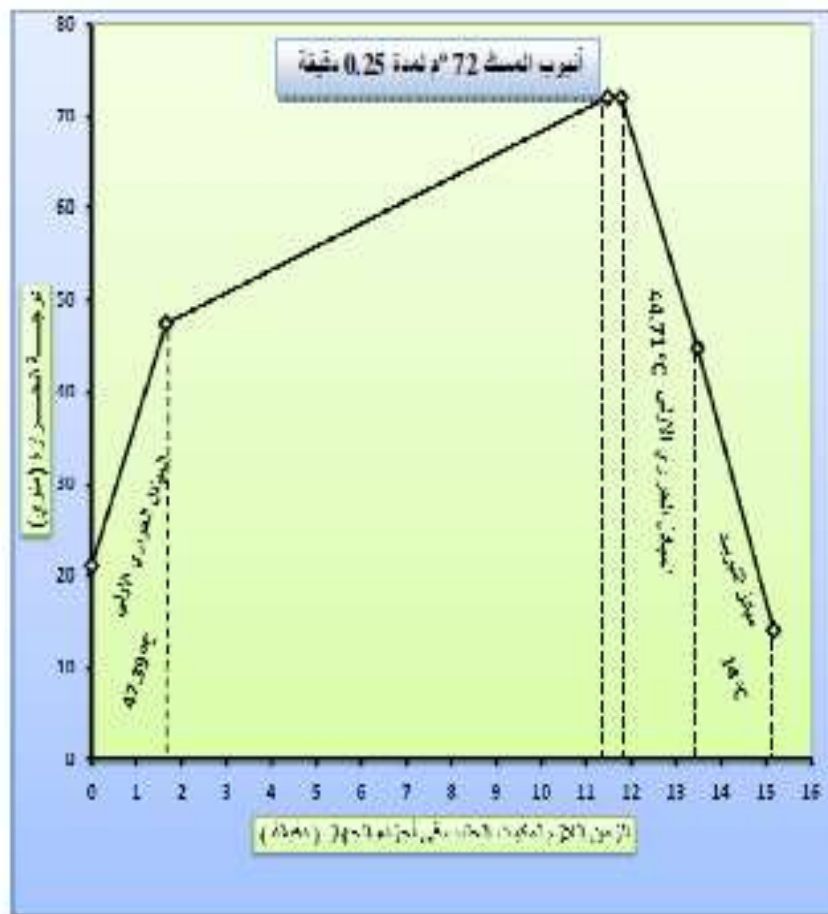
بسترة الحليب بالطاقة الشمسية



شكل (٤ - ٤) : رسم تخطيطي لجهاز بسترة الحليب بالطاقة الشمسية .

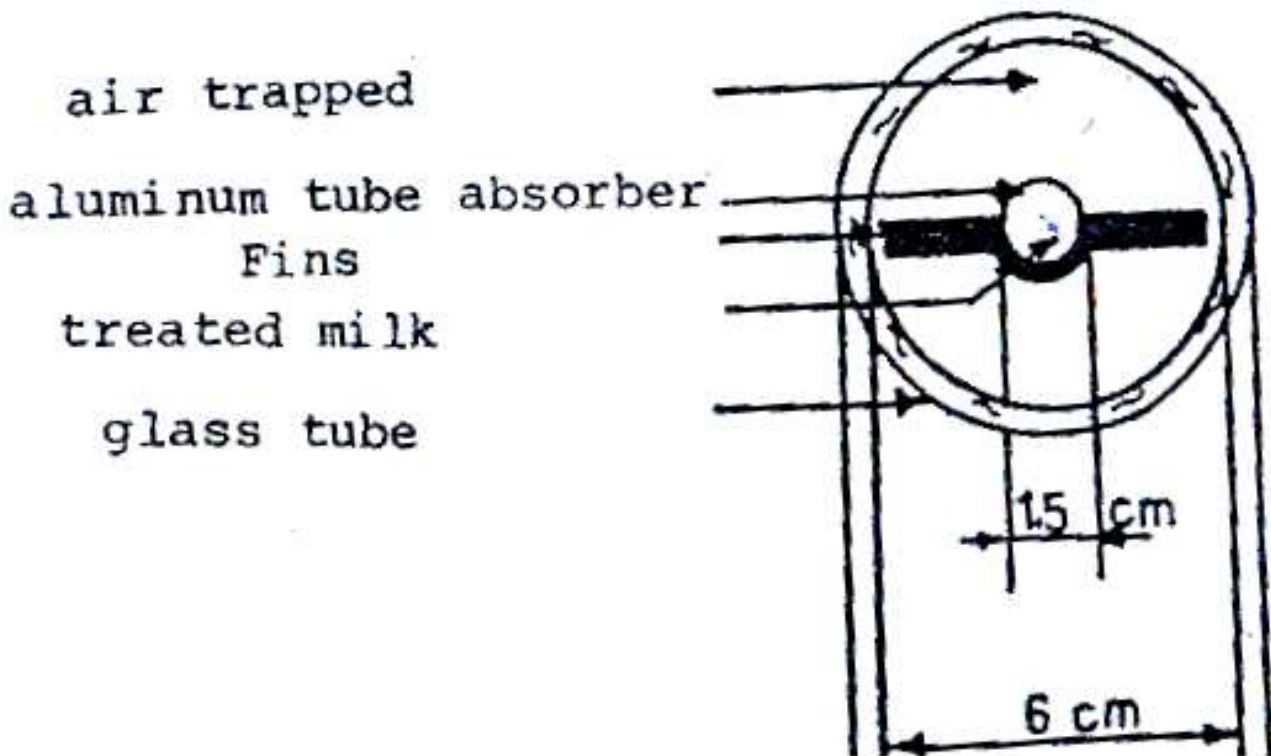
صور المبستر الشمسي



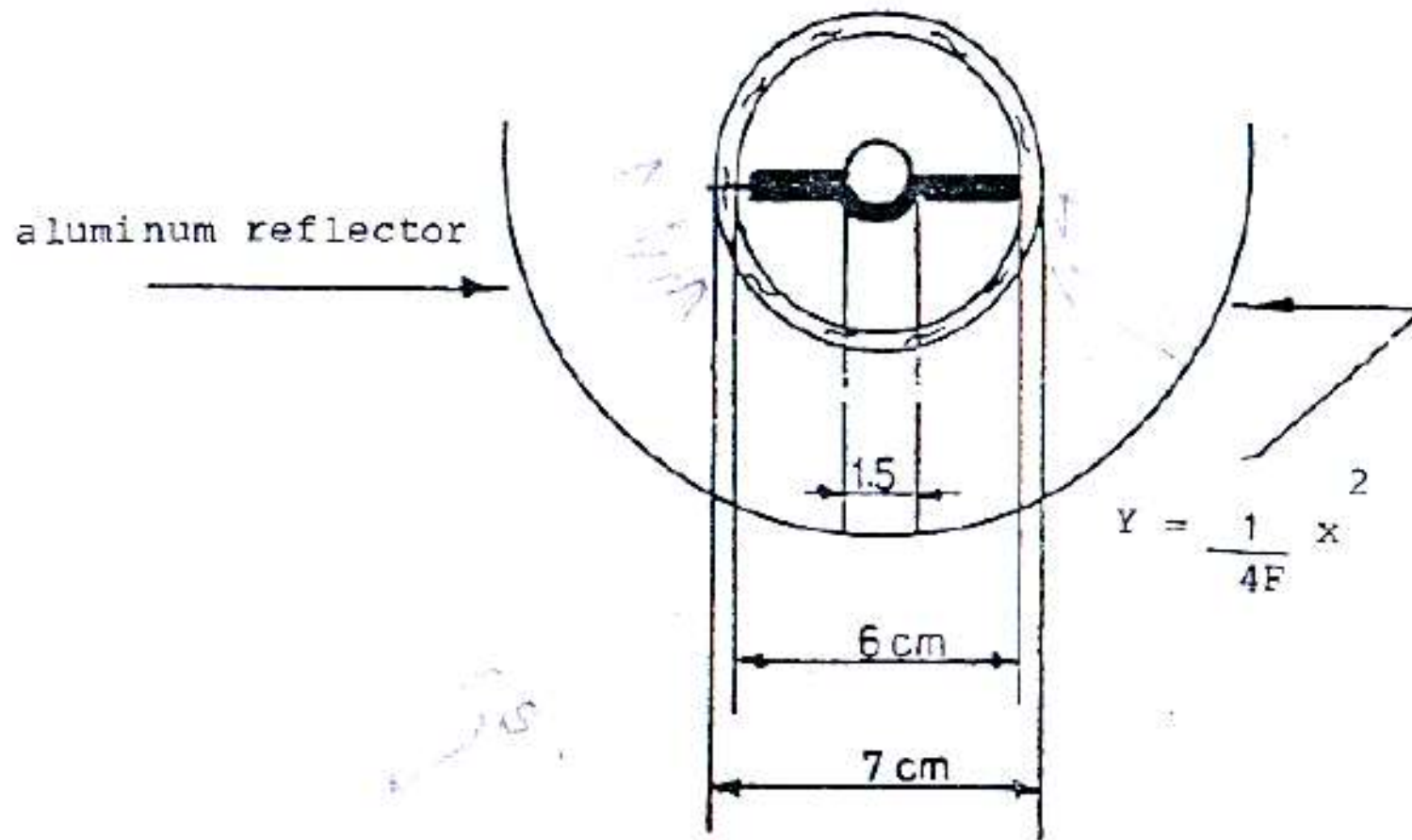


شكل (14 - 5) : العلاقة بين زمن مكوث الحليب ودرجة الحرارة في الجهاز خلال ساعات النهار لأيام مختلفة من فصل الصيف(الربيع ، 2010)

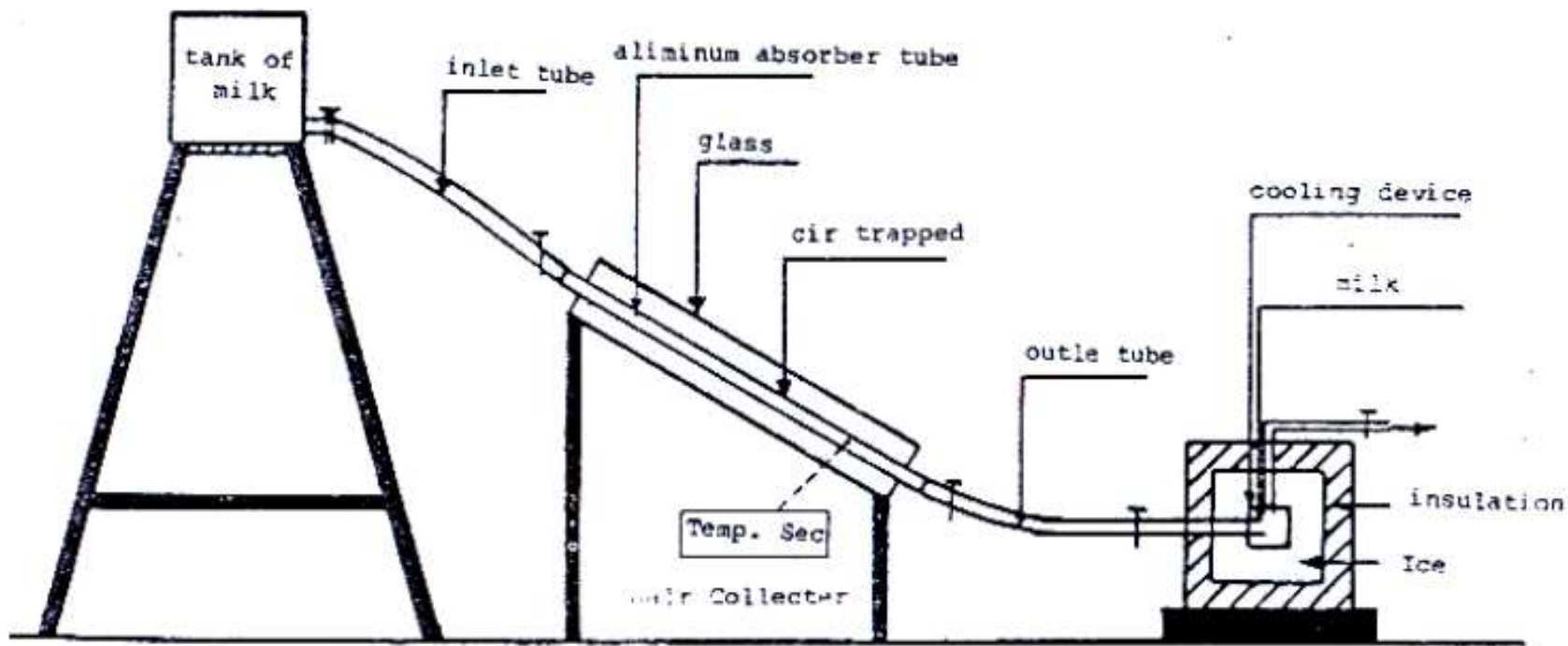
شكل (15 - 5) : العلاقة بين زمن مكوث الحليب ودرجة الحرارة في الجهاز خلال ساعات النهار لأيام مختلفة من فصل الشتاء(الربيع ، 2010)



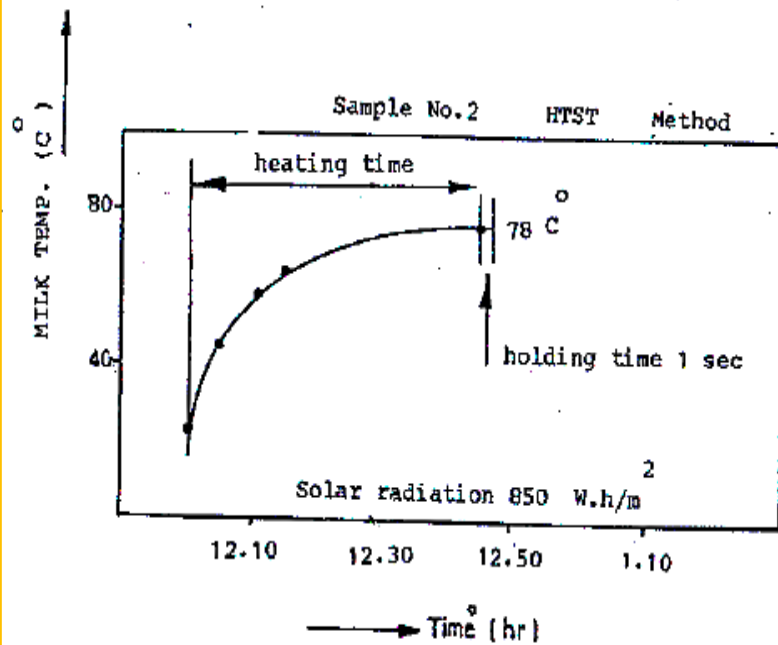
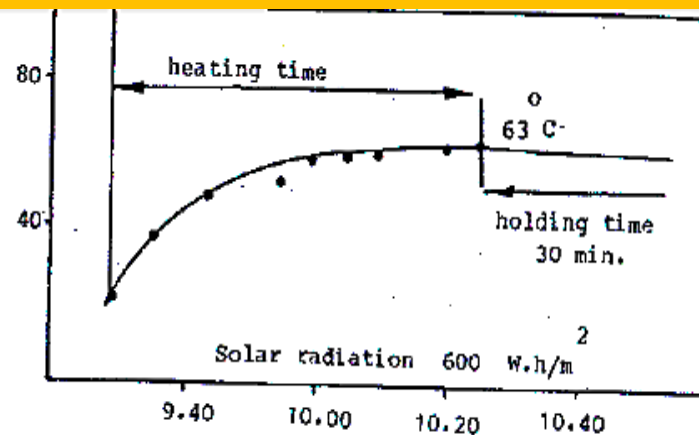
شكل (5-1) : مقطع للمجمع الشمسي الانبوبي المفرغ
لبسترة الحليب. (Razzak *et al.*, 1985).



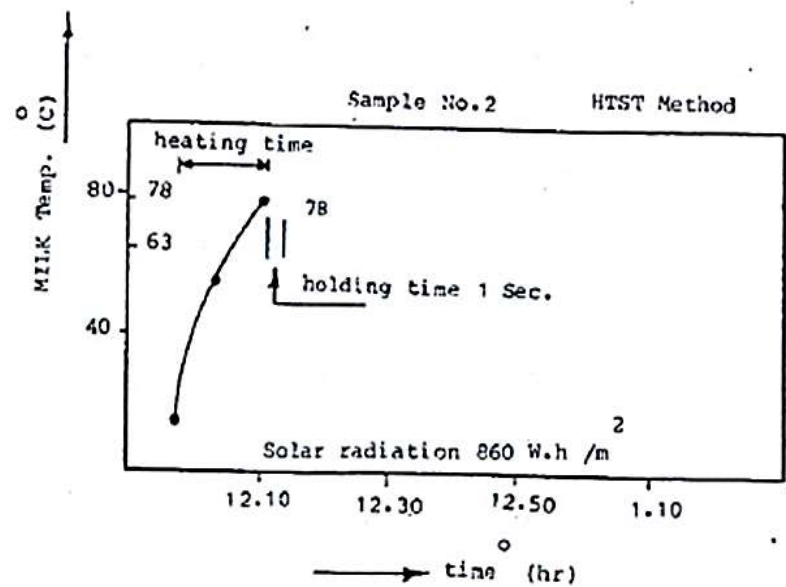
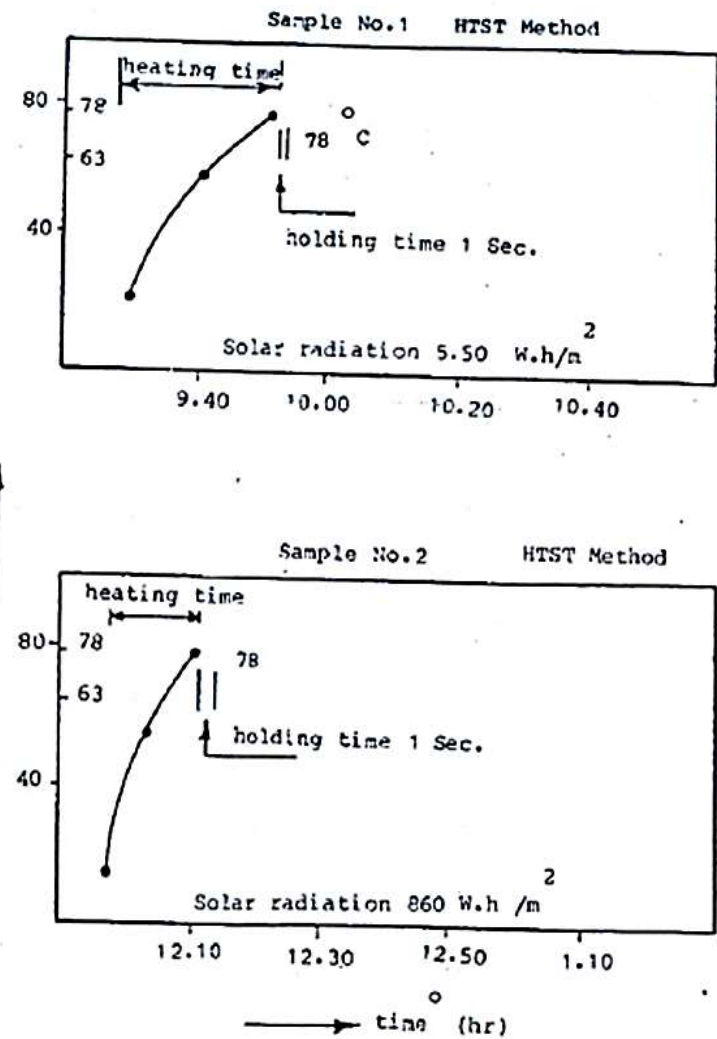
شكل (5-2) : مقطع للمجمع الشمسي الانبوبي المفرغ لبسترة الحليب ذو مركز شمسي.



شكل (5-3) : جهاز بسترة الحليب بالطاقة الشمسية.
 (Razzak *et al.*, 1985)



شكل (5-4) : منحنى بسترة الحليب بالطاقة الشمسية
بدون مركز شمسي.
(Razzak et al., 1985).



شكل (5-5) : منحنى بسترة الحليب بالطاقة الشمسية
باستخدام مركز شمسي.

جدول (1-5): الصفات البكتريولوجية والكميّانية للحليب المبستر بالطاقة الشمسيّة.
 (Razzak et al., 1985)

				اختبار صبغة الميثيلين						العدد الكلي للبكتيريا لكل مل ل عند 37 ° م بعد ساعه		طريقة
				الأنوب الموجب بعد ساعتين	الأنوب الموجب بعد ساعه	الحليب طازج	الحليب مبستر	النفخ	النفخ	النفخ	النفخ	
		-ve	+ve	+	+	حليب طازج	حليب مبستر	الطبيعي	الطبيعي	الطبيعي	الطبيعي	
		-ve	+ve	+	+	حليب طازج	حليب مبستر	10^{-1}	10^{-1}	$10^4 * 4.2$	$10^4 * 3.1$	حليب طازج
		+ve	-ve	+	+	حليب طازج	حليب مبستر	10^{-2}	10^{-2}	$10^2 * 50.2$	$10^6 * 3.08$	حليب مبستر
		-ve	+ve	+	+	حليب طازج	حليب مبستر	الطبيعي	الطبيعي	$10^4 * 4$	$10^6 * 5.01$	حليب طازج
		+ve	-ve	+	+	حليب طازج	حليب مبستر	10^{-1}	10^{-1}	$10^4 * 4$	$10^6 * 3.08$	بدون مركبات
												باستخدام مركبات



شكل (5-6): جهاز بسترة حليب الماعز بالطاقة الشمسية باستخدام المبستر
الشمسي المركز. (Franco *et al.*, 2004)

a

شكل (5-7) : تصنيع الهيكل.

b

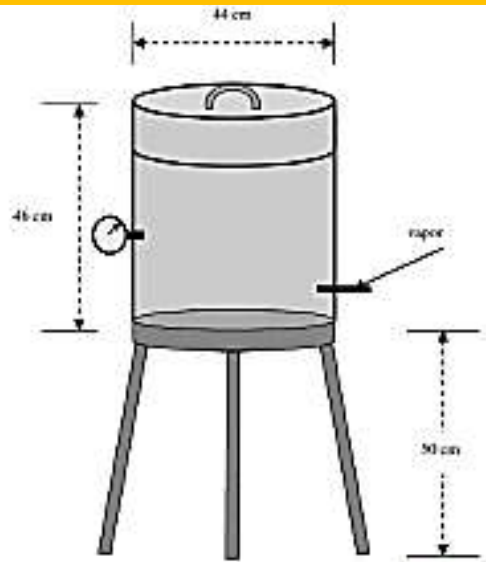
شكل (5-8) : ربط العاكستات على الهيكل. (Franco et al., 2004)

a

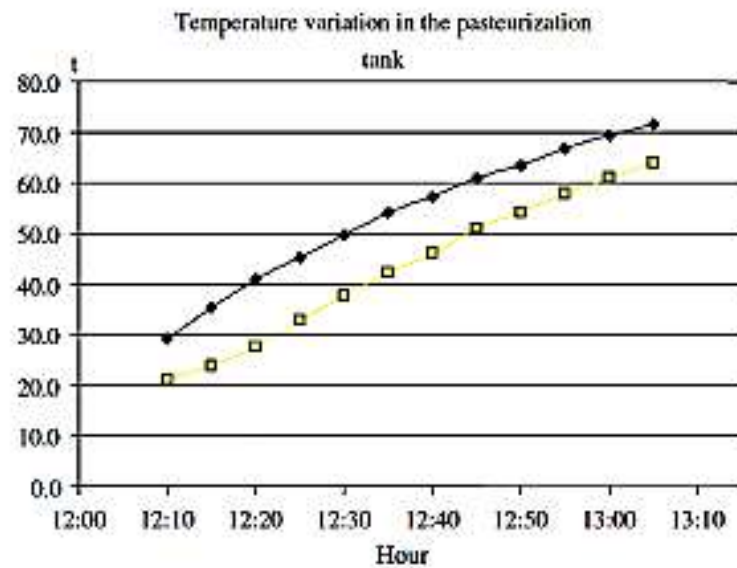
شكل (5-9) : المركز الشمسي بعد التصنيع.



شكل (5-10) : المركز الشمسي التقليدي. (Franco et al., 2004)



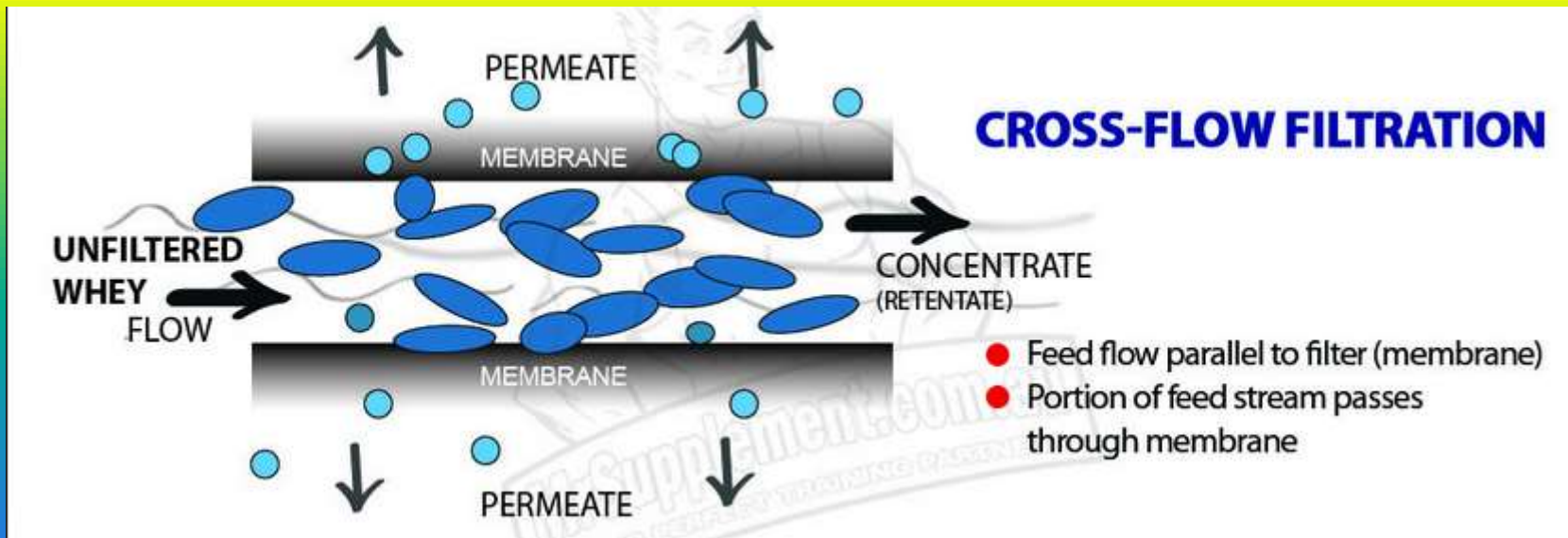
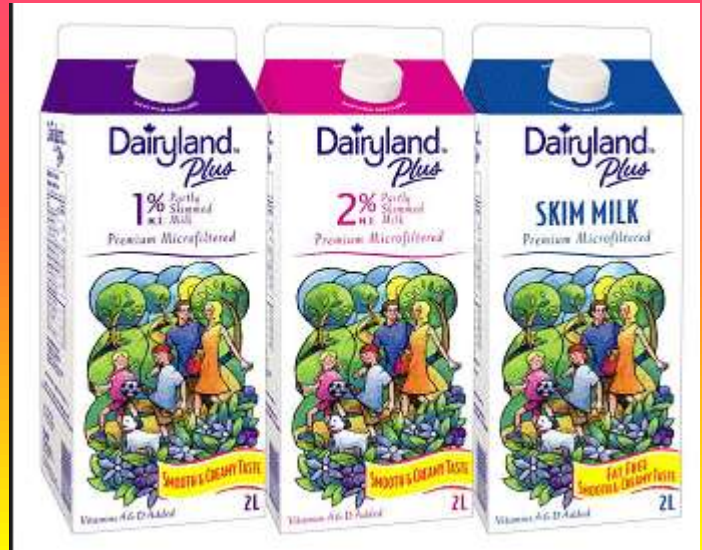
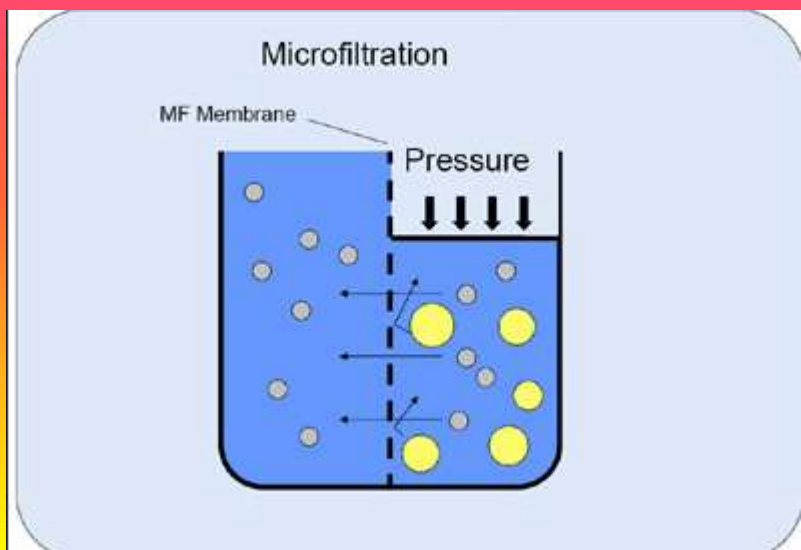
شكل (5-11) حوض بسترة الحليب .
(Franco et al., 2004)



شكل (5-12): درجات الحرارة للماء والحليب خلال ساعات النهار .

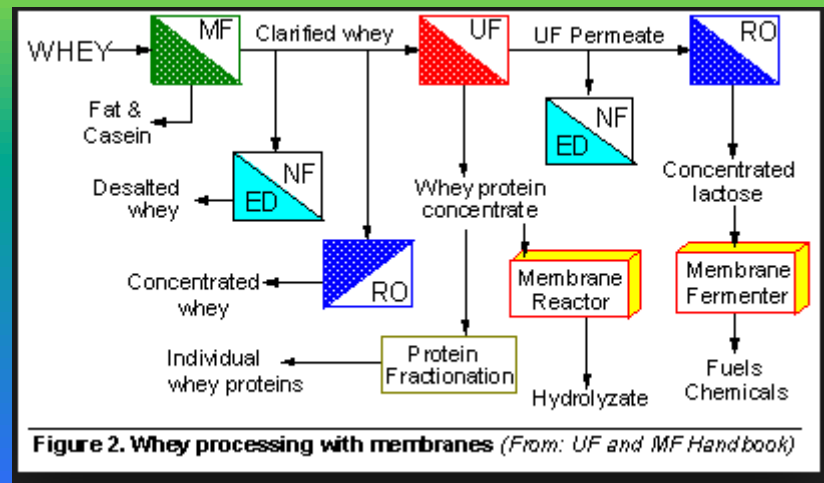
الترشيح الدقيق (MF)

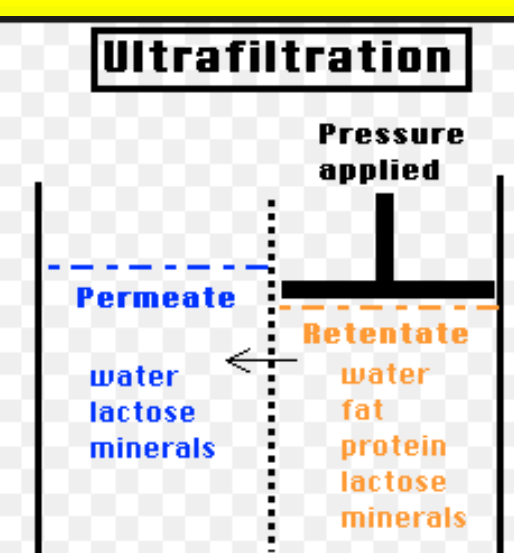
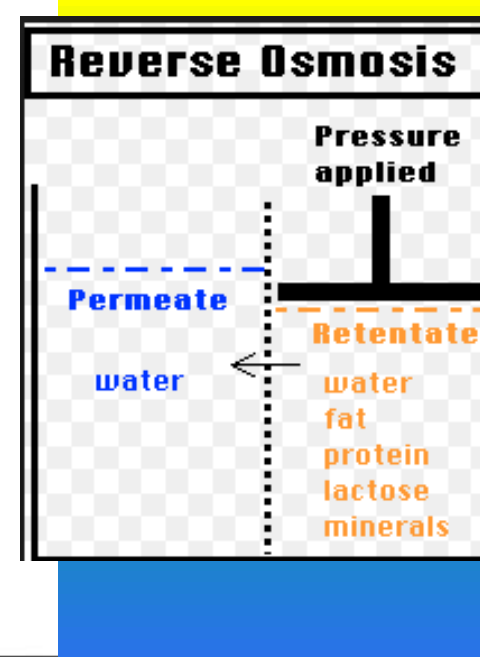
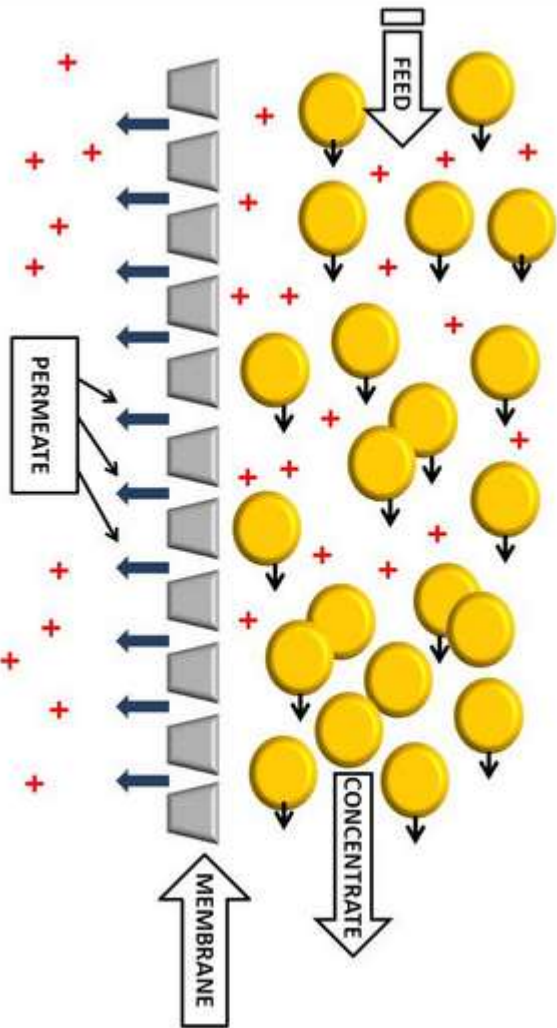
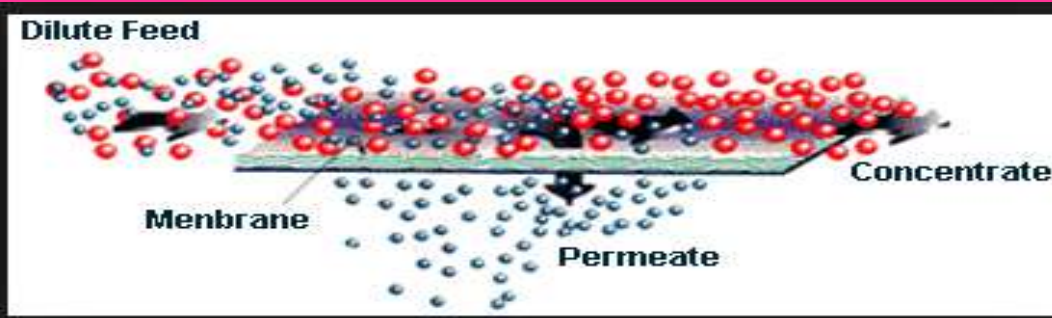
يعد الترشيح الدقيق أحد التقنيات اللاحارية المستخدمة في معالجة الأغذية وخاصة الألبان لما لها من تأثير فعال في إزالة الجراثيم والبكتيريا مقارنة مع البسترة التقليدية ، فالترشيح الدقيق عبارة عن عملية غشائية قادرة على إزالة الجسيمات العالقة في الأغذية السائلة من خلال أغشية ذات مسام بحدود $(0.05 - 2.0) \mu\text{m}$ ونظراً لكفاءتها في استخدام الطاقة ومحافظتها على الصفات الحسية الريولوجية والتغذوية لعصائر الفاكهة ازدادت تطبيقاتها في الآونة الأخيرة ، ويمكن استخدام تقنية الترشيح الدقيق جنباً إلى جنب مع الأشعة فوق البنفسجية التي تعتبر أحد الطرق البديلة في ولاية نيويورك في علاج العصائر وبالتالي زيادة كفاءة المعالجة من خلال تقليل الحمل الميكروبي والقضاء على بعض الميكروبات المقاومة للأشعة فوق البنفسجية، حيث تمتاز هذه تقنية بقابليتها على إنتاج حليب بنفس الخصائص الحسية للحليب الطازج فضلاً عن تحسين مدة صلاحية الحليب ومنتجاته والتي يمكن استخدامها في علاج الحليب المنزوع الدهن المستخدم في صناعة الجبن



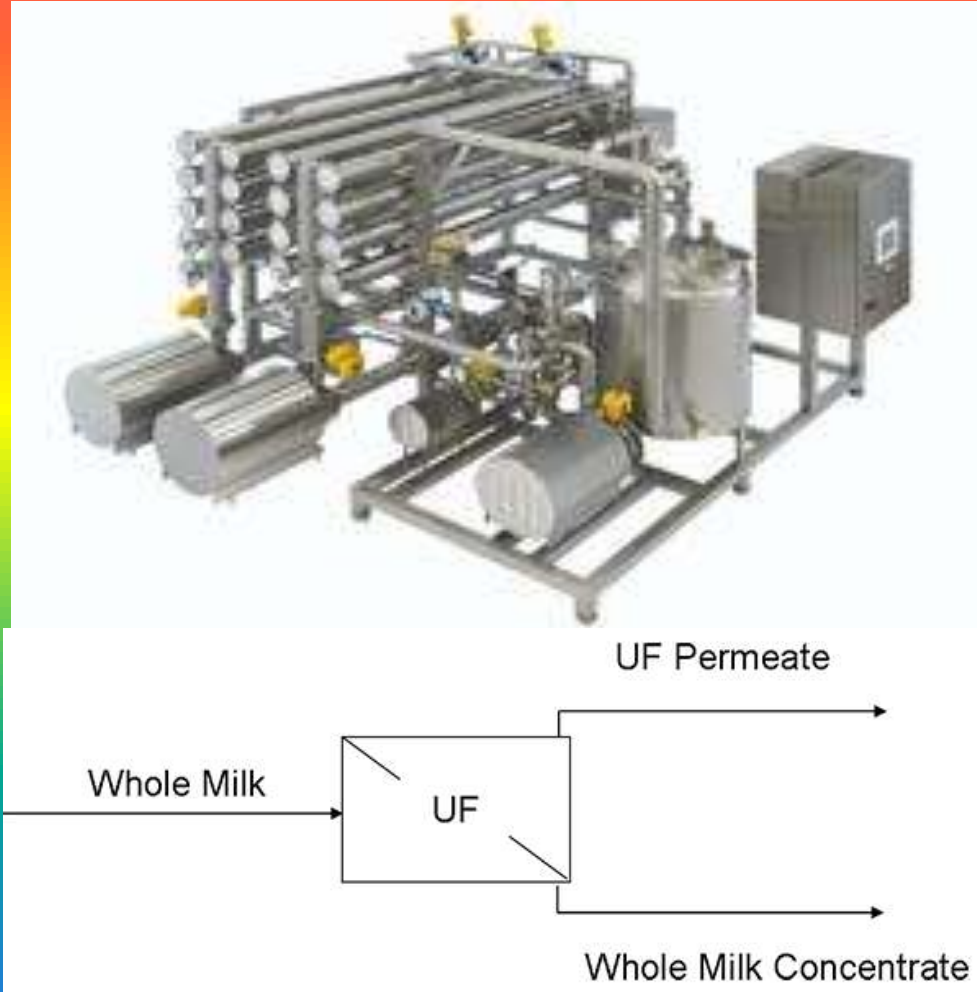
تعمل تقنية الترشيح الدقيق على إزالة الخلايا الجسدية Somatic cells حيث لوحظ أن وجود مثل هذه الخلايا له تأثير سلبي على فترة صلاحية الحليب وعلى فترة تخثر الحليب المعد لصناعة الجبن، كما قد يتم الاحتفاظ بالكريات الدهنية جزئياً بسبب حجمها المماثل للبكتيريا مقارنة بالبروتينات التي يصعب حجزها بسبب حجمها الصغير

الترشيح النانوي





الترشيح الفائق



إزالة Beanie taste من حليب الصويا

المجال المغناطيسي

الطاقة المغناطيسية هي احدى انواع الطاقة الموجودة في الكون ، والارض محاطة بمجال مغناطيسي يؤثر على كل شيء بدرجات متفاوتة وهو يتناقص في القدرة حيث اثبت العلماء انه في خلال ١٠٠٠ سنة الاخيرة فقدت الارض ٥٥٪ من مغناطيسيتها وهذه الطاقة مهمة جدا للحياة على الارض بالنسبة للكائنات الحية فهي تمنع وصول الاشعة الكونية المدمرة الى الارض . كما تلعب دورا في الوظائف الحيوية للكائنات الحية كافة.

TABLE 3 Magnetic Field Inactivation of Food Spoilage Microorganisms

Type of food	Temperature (°C)	Field intensity (Tesla)	No. of pulses	Frequency of pulses (kHz)	Initial bacterial count/mL	Final bacterial count/mL
Milk	23.0	12.0	1	6.0	25,000	970
Yogurt	4.0	40.0	10	416.0	3,500	25
Orange juice	20.0	40.0	1	416.0	25,000	6
Brown'N Serve rolls dough		7.5	1	8.5	3,000	1

توليد المجال المغناطيسي عالي الشدة

TABLE 1 Units of Magnetism

Term	CGS unit	SI unit	Relationship
Flux a	Line	Weber (Wb)	$1 \text{ Wb} = 10^8 \text{ lines}$
Flux density ^b (Wb/m ²)	Gauss (G)	Tesla (T)	$1 \text{ T} = 1 \text{ Wb/m}^2 = 10^4 \text{ G}$
Field intensity ^c	Oersted (Oe)	Ampere/meter (A/m)	$1 \text{ Oe} = 79.58 \text{ A/m}$

تتولد المجالات المغناطيسية عن طريق توليد تيار كهربائي يمر في ملف. ان تثبيط الاحياء المجهرية يتطلب مجال مغناطيسي من ٥ الى ٥٠ تسلا.

المجال المغناطيسي المتذبذب يمكن تكوينه من لفات ذات توصيل عالي وملفات تنتج مجالات من التيار المستمر او باستخدام المتسعات لخزن وتفریغ التيار.

يمكن توليد المجالات المغناطيسية التي شدتتها فوق ٣ تسلا وذلك بوضع قلب حديدي في الملف والاخير غير مفيد بسبب تشتت المجال. ويمكن استخدام الفجوة الهوائية للحصول على مجال عالي الشدة. وهذا يحتاج الى تيار عالي لكن يسبب ارتفاع درجة الحرارة بصورة كبيرة للملف. ولهذا فان المغناطيس فائق التوصيل لا تحدث فيه هذه المشكلة. وهذا النوع يمكنه تجهيز مجال مغناطيسي لحد ٢٠ تسلا

الحقول المغناطيسية مع كثافة تدفق أكبر من ١٥ إلى ٣٠ ت يمكن الحصول عليها باستخدام المغناطيس الهجين، الذي هو مزيج من لفائف المغناطيسي فائق التوصيل مع لفائف مغناطيسية إتمن فيها المياه المبردة. تقع لفائف فائقة التوصيل في الهليوم لتوفير التبريد اللازم للفائف. التيار المطلوب لنظام هجين من المغناطيس هو ~ ٤٠ كيلو أمبير. يمكن أن تتولد مجالات مغناطيسية تفوق ٣٠ ت في شكل نابض لمدة قصيرة. يتم الحصول على التيار المار في الملفات من المتسبة. عندما يتم تحضين مزرعة في وجود مجال مغناطيسي غير متجانس مع شدة ١٥،٠٠٠ أورستد لمدة ١٠ ساعة عند ٢٧ درجة مئوية، وكان معدل نمو مماثل لمعدل نمو مزرعة السيطرة لمدة تصل إلى ٦ ساعة. بعد ٧ ساعات، والمزرعة المحتضنة في المجال المغناطيسي الوارد يبلغ كثافتها أقل من خلية كثافة السيطرة. كان الفرق في عدد كثافة الخلية أكبر بعد ٨ ساعات وانخفضت إلى ١٠ ساعة. بعد ١٠ ساعة، وكان عدد الخلايا في المزرعة المحتضنة في المجال المغناطيسي أي ما يعادل كثافة السيطرة. لم تتأثر الحضانة من المكورات العنقودية الذهبية عند ٣٧ درجة مئوية في المجال المغناطيسي وانه لا يؤثر على معدل النمو. ومع ذلك، وزيادة التدرج من عدم التجانس في المجال المغناطيسي من ٢٣٠٠ Oe/cm إلى معدل

5200 Oe/cm

TABLE 2 Magnetic Field Effects in the Presence and Absence of Salts

Time of incubation (h)	Cells (millions)/ mL					
	Control (no magnet)		0% NaCl (+ magnet)		1.5% NaCl (+ magnet)	
	$\frac{28^{\circ}\text{C}}$	$\frac{38^{\circ}\text{C}}$	$\frac{28^{\circ}\text{C}}$	$\frac{38^{\circ}\text{C}}$	$\frac{28^{\circ}\text{C}}$	$\frac{38^{\circ}\text{C}}$
24	14.4	5.5	15.7	0.7	8.8	3.8
48	39	12.4	37.0	3.5	31.0	16.0
72	40.5	12.5	33.0	7.9	31.4	17.0

Source: From Ref. 18.

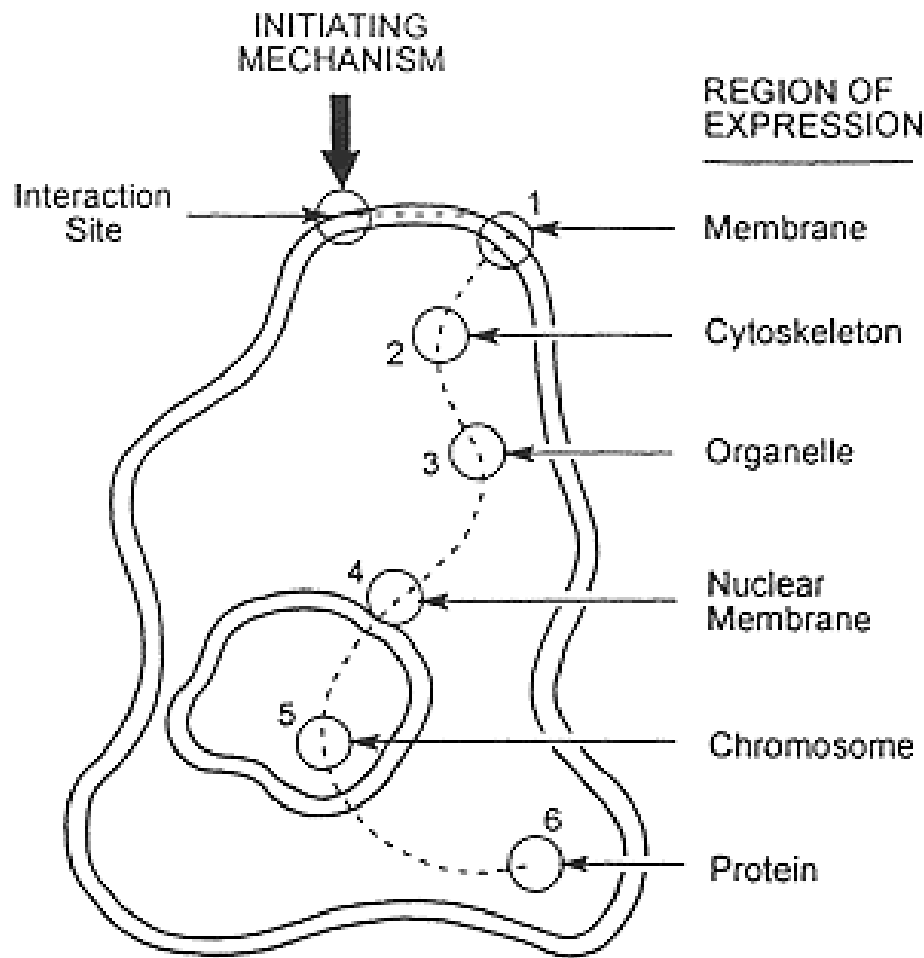


FIGURE 8
Cascade of responses in a biological cell exposed
to magnetic field. (From Ref. 33.)

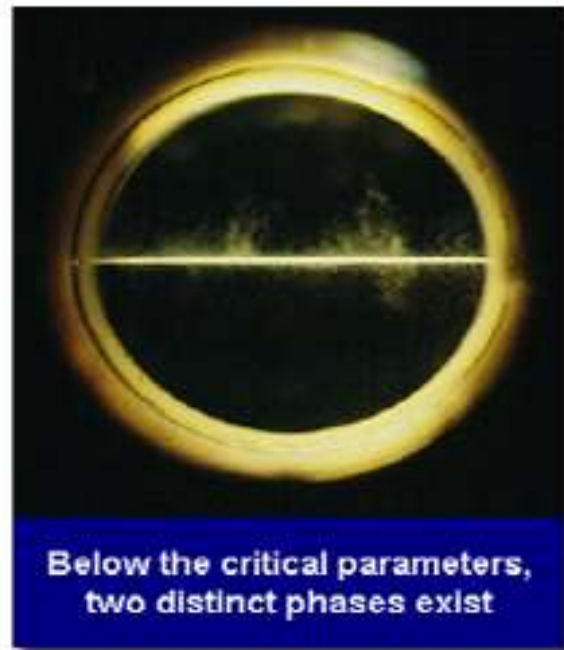
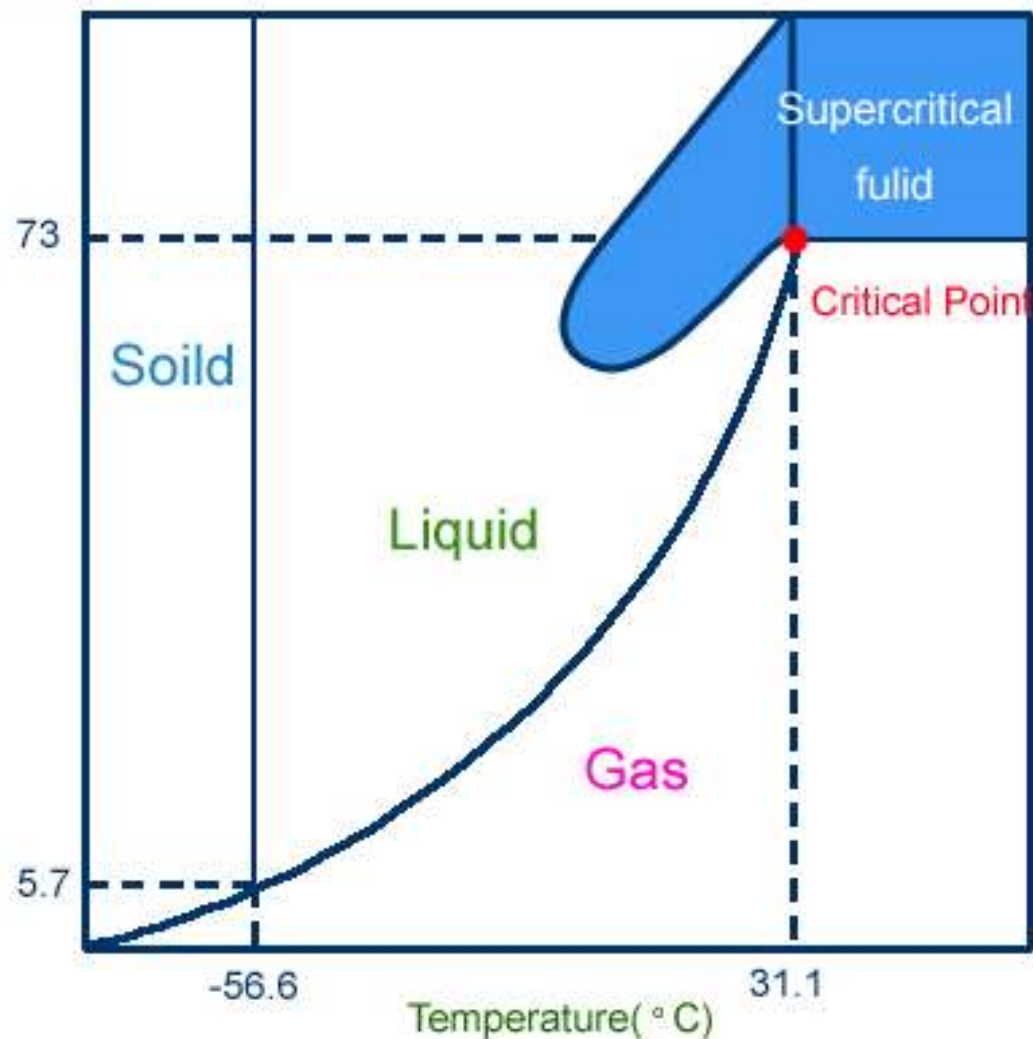
غاز ثانٍ اوكسيد الكاربون فوق الحرج لازالة الكوليسترول من دهن الحليب

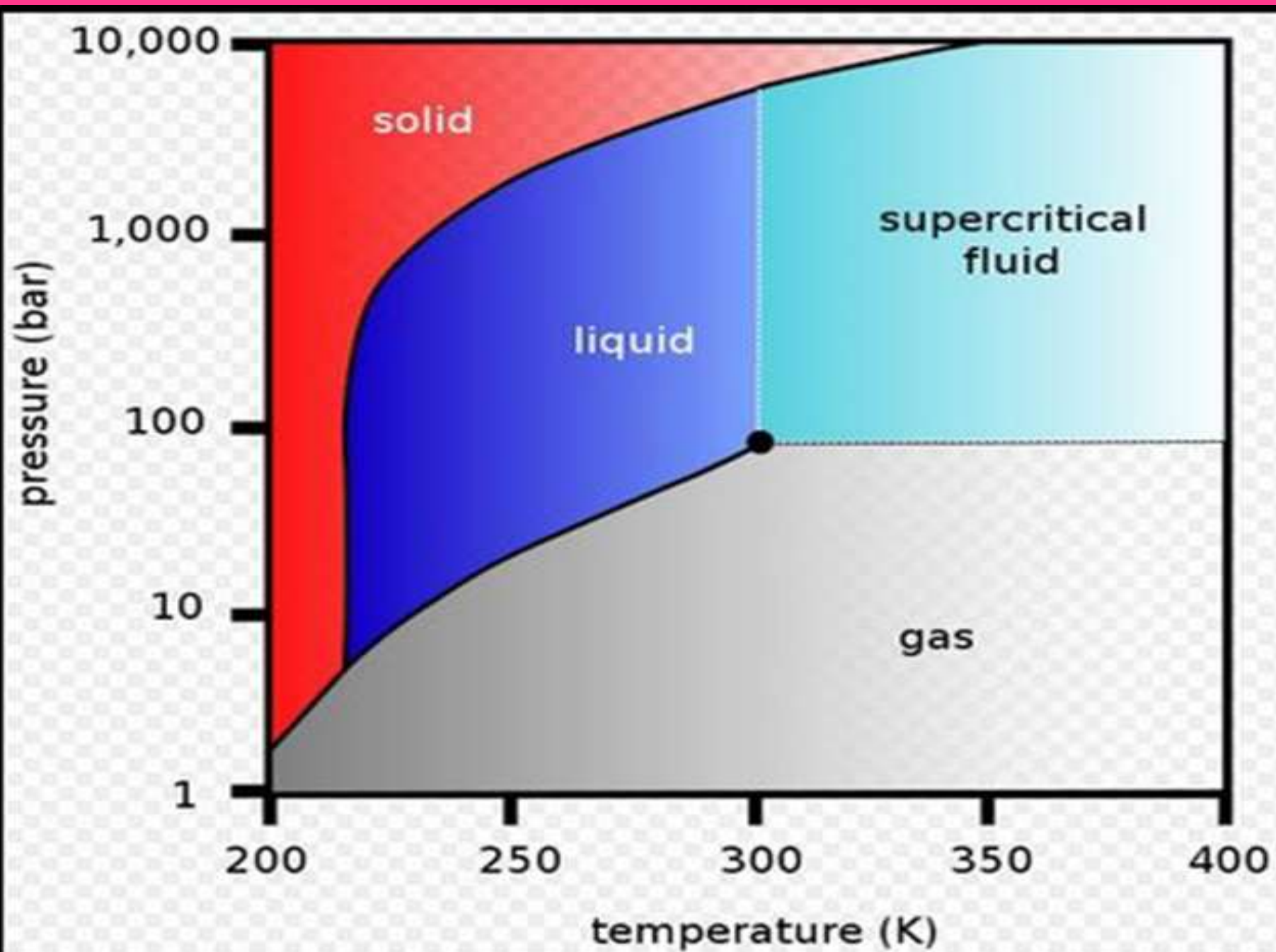
ظروف غاز CO₂ عندما يضغط فوق الحرج :

١. يكون الشد السطحي له صفر
٢. يمتلك خصائص الغازات من حيث الانتشار
٣. يمتلك خصائص السوائل من التوصيل
٤. هو ليس بغاز ولا سائل عندما يكون فوق الضغط الحرج
٥. يكون CO₂ عند الضغط الحرج عندما يكون الضغط ٧٣ بار فما فوق ودرجة الحرارة ٣٢ مئوي فما فوق.
٦. يقوم بدورين في ان واحد يزيل الكوليسترول ويقضي على الاحياء المجهرية

Phaes Diragram Of CO₂

Pressure(atm)





البيئة عمل CO₂ فوق الحرج

